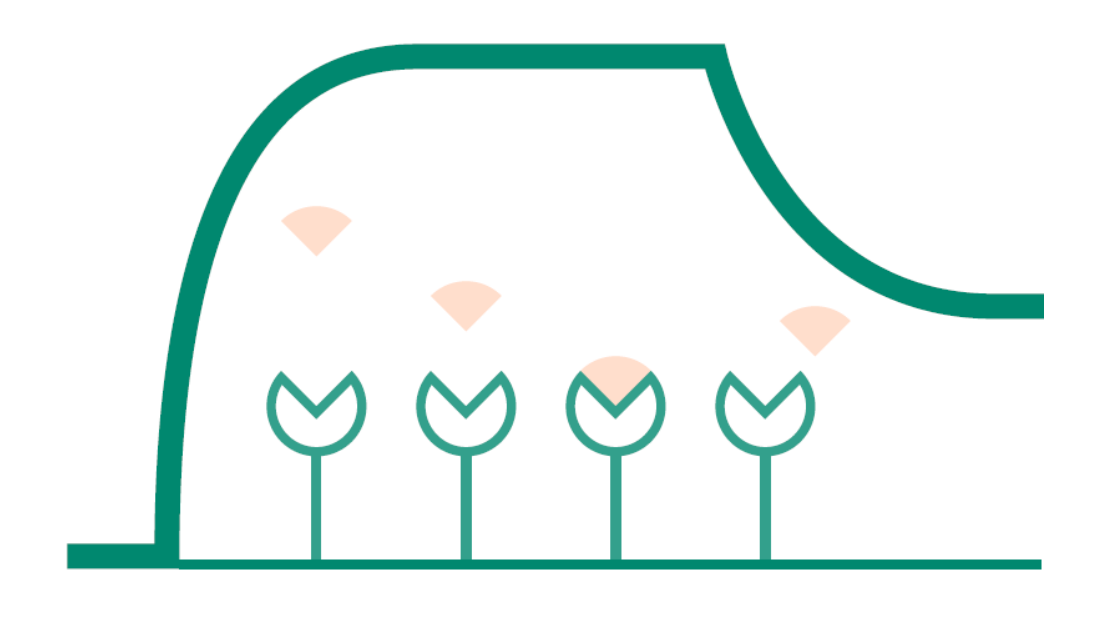


Biacore™ 8K 分子互作分析系统培训





Biacore™原理:表面等离子共振(SPR)技术

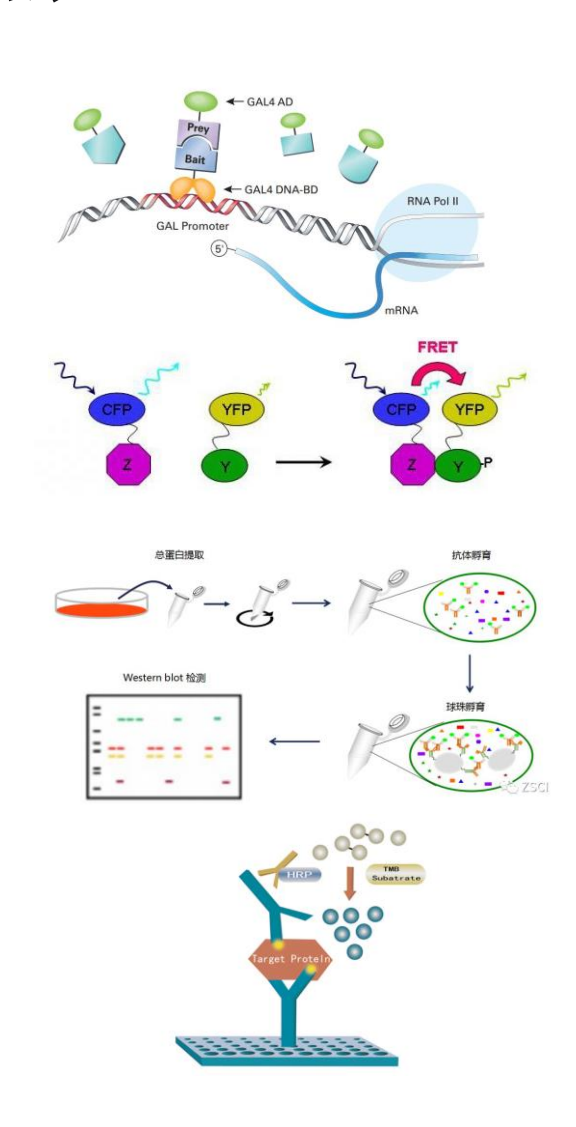
传统的互作技术及其特点

蛋白-蛋白质相互作用的研究

- 酵母双杂交 (Y2H)
- 荧光共振能量转移 (FRET)
- 免疫共沉淀(Co-IP)
- pull-down
- 酶联免疫吸附分析 (ELISA)
- 质谱鉴定

蛋白-核酸相互作用的研究

- EMSA (凝胶迁移实验)
- ChIP (染色体免疫沉淀法)



传统互作技术的特点:

- 终点技术
- 互作信息少
- 需要标记
- 只能检测强亲和力的互作
- 耗时耗力
- 难以全自动&高通量

Biacore

(Bio-molecule interaction analysis core-technology)

• 基于表面等离子共振原理 (SPR)

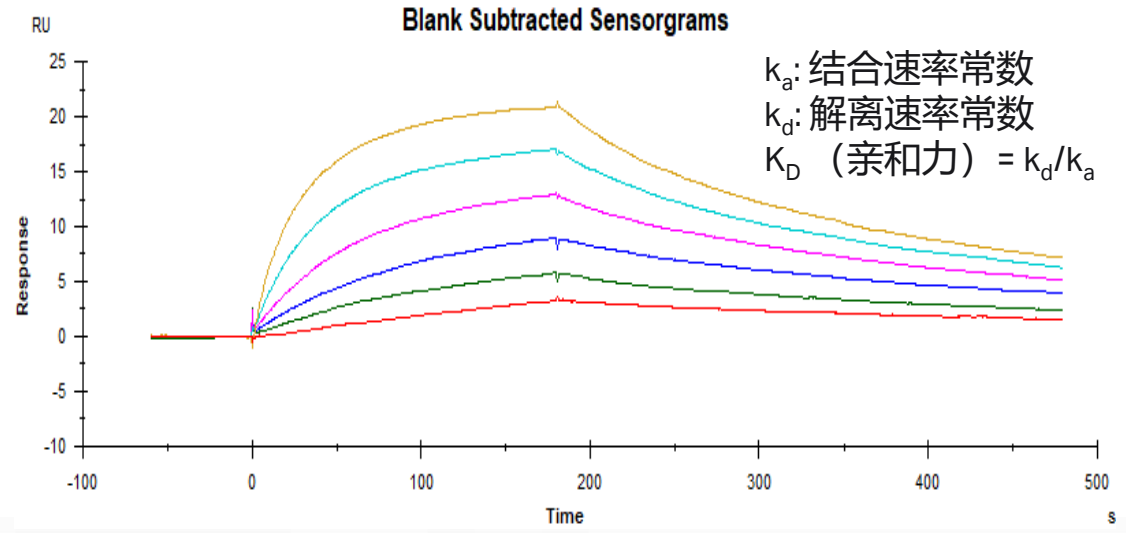
• 高分辨率、高灵敏度、高质量数据

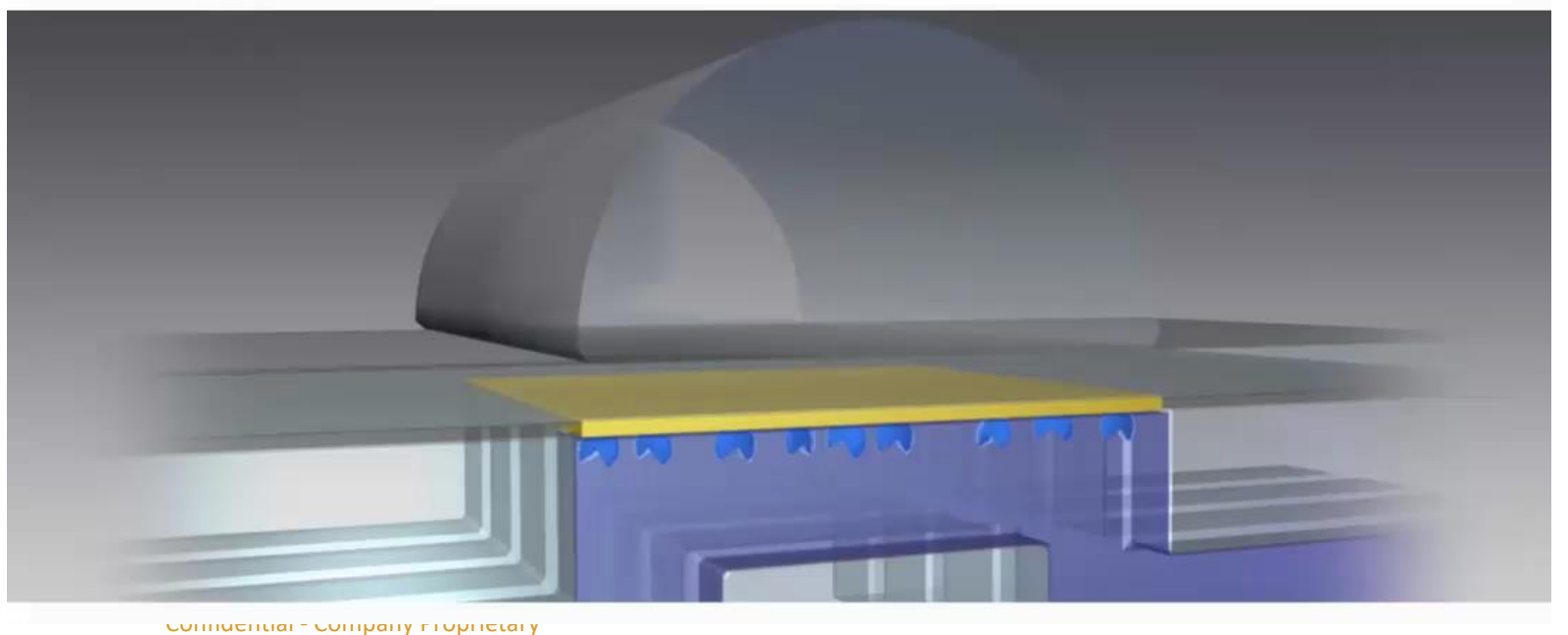
• 无需添加任何标签

• 实时检测 (Real-time)

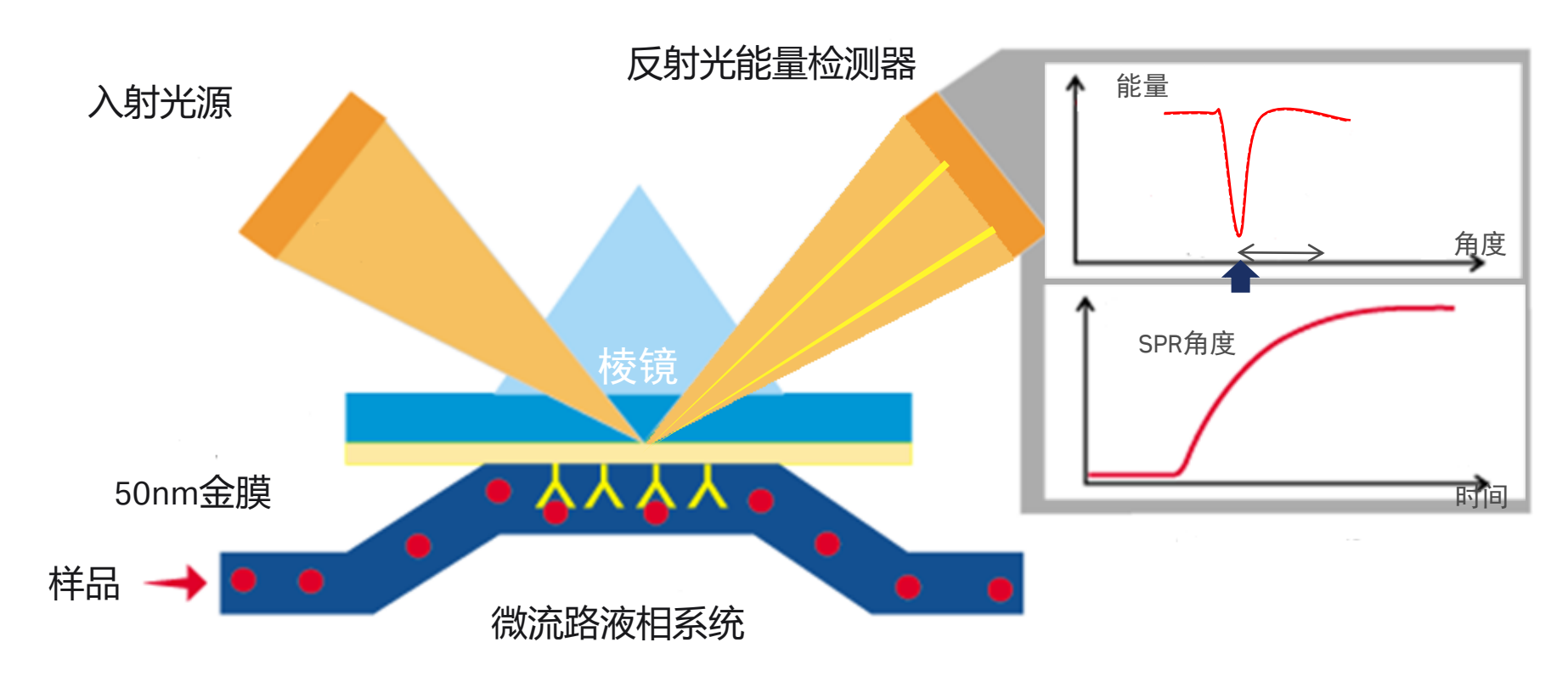
• 全面的互作信息:

。特异性、亲和力、动力学......





表面等离子共振原理 (SPR)



- · 全内反射的条件下,入射光造成薄金层等离子体发生共振,导致反射光在某一特定角度(SPR角)能量低至几乎为零;
- SPR角对金膜溶液测100-200 nm范围内的折光率变化非常灵敏;
- 分子间可逆的结合/解离造成金膜附近折光率的实时变化,这一现象被Biacore实时记录。
- Biacore类似一个高精度的光学天平,通过SPR原理放大信号,能检测芯片表面1 pg/mm² 的物质变化。

Biacore功能介绍

样本兼容性高:

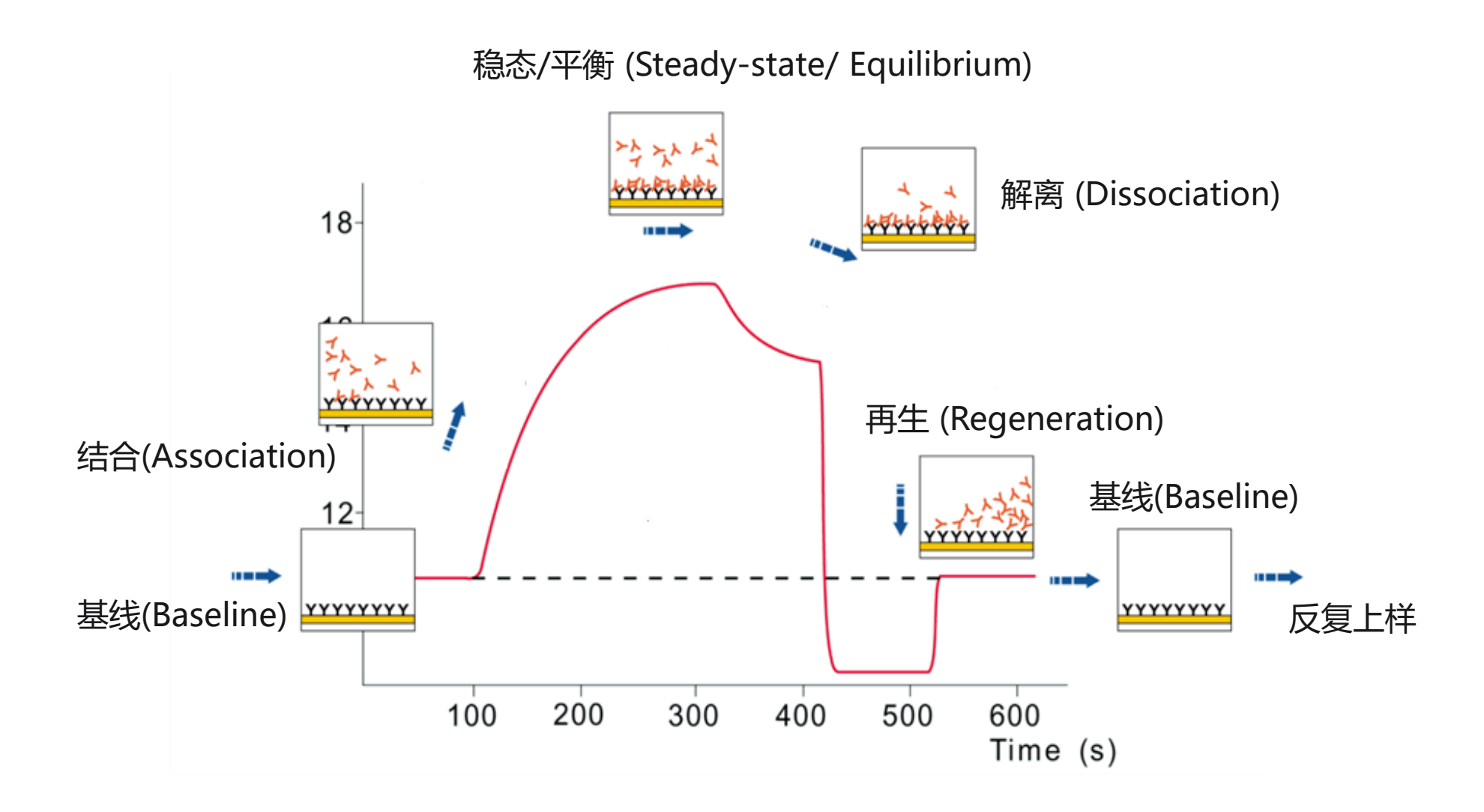
- 蛋白、多肽
- 抗原、抗体
- 核酸
- 小分子化合药
- 脂类分子、GPCRs
- 多糖
- 中草药、名族药
- 纳米、高分子材料
- 病毒、细胞裂解液
- 腹水、血清

应用领域广:

- 疾病分子机制研究:
 - 入胞机制、药靶蛋白结合模式
- 结构生物学:
 - 复合体组装/筛选、结合domain/key aa
- · 药物发现:
 - 高通量筛选、分级与结构优化
- 抗体筛选
 - 鉴定、改造、表位作图
- 疫苗设计:

抗原结构优化、抗体滴度、表位肽筛选

传感图 (The Sensorgram)



亲和力 (Affinity, KD)

弱结合 中等强度 强结合 mM μM nM 10-3 10-6 10-9

• 亲和素-生物素结合: 10⁻¹⁴ M

• 强的抗原-抗体结合: 10⁻⁸ ~ 10⁻¹⁰ M

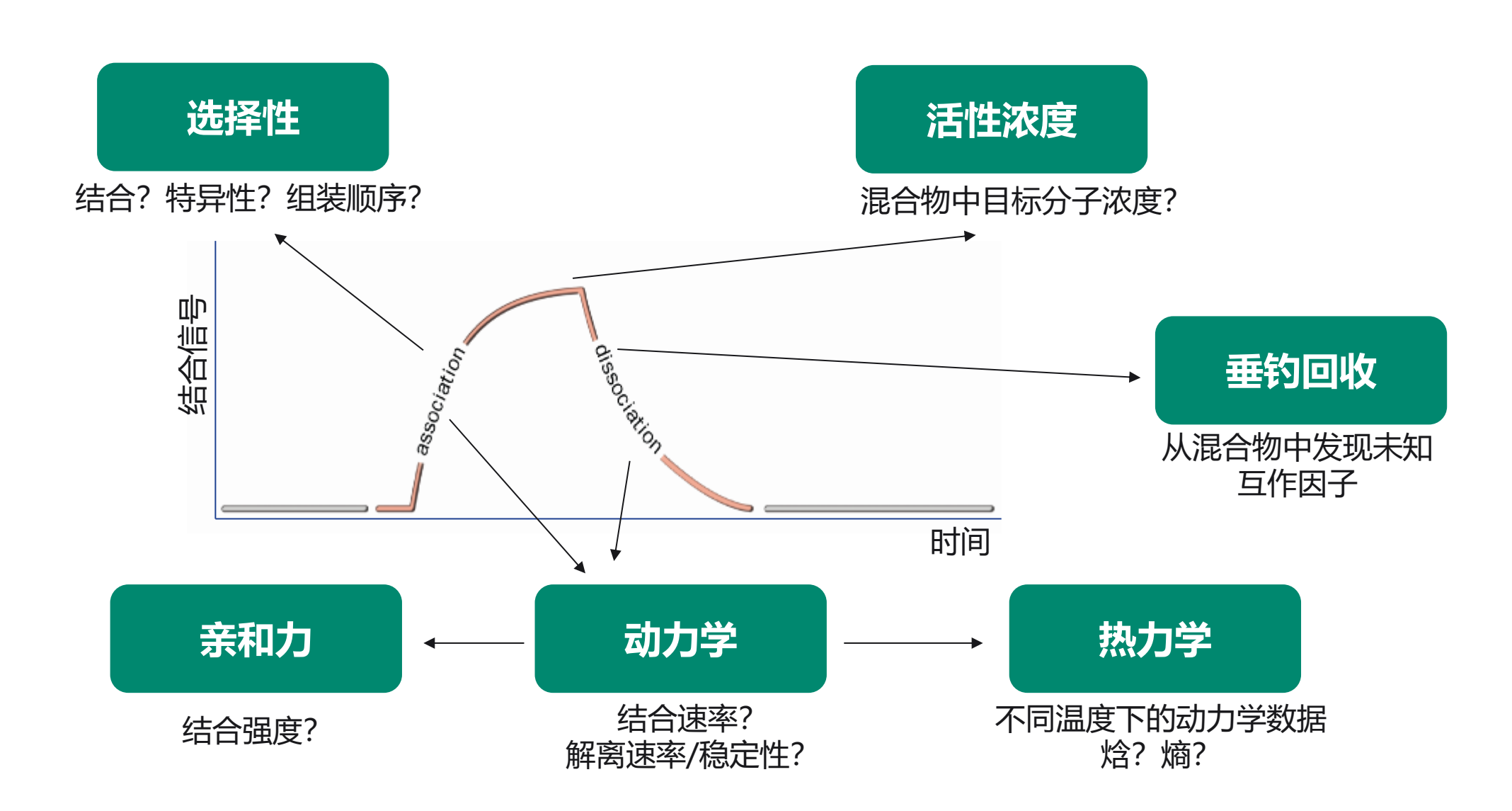
• DNA与蛋白的结合: 10⁻⁸ ~ 10⁻¹⁰ M

• 较弱的抗原-抗体结合: 10⁻⁶ ~ 10⁻⁷ M

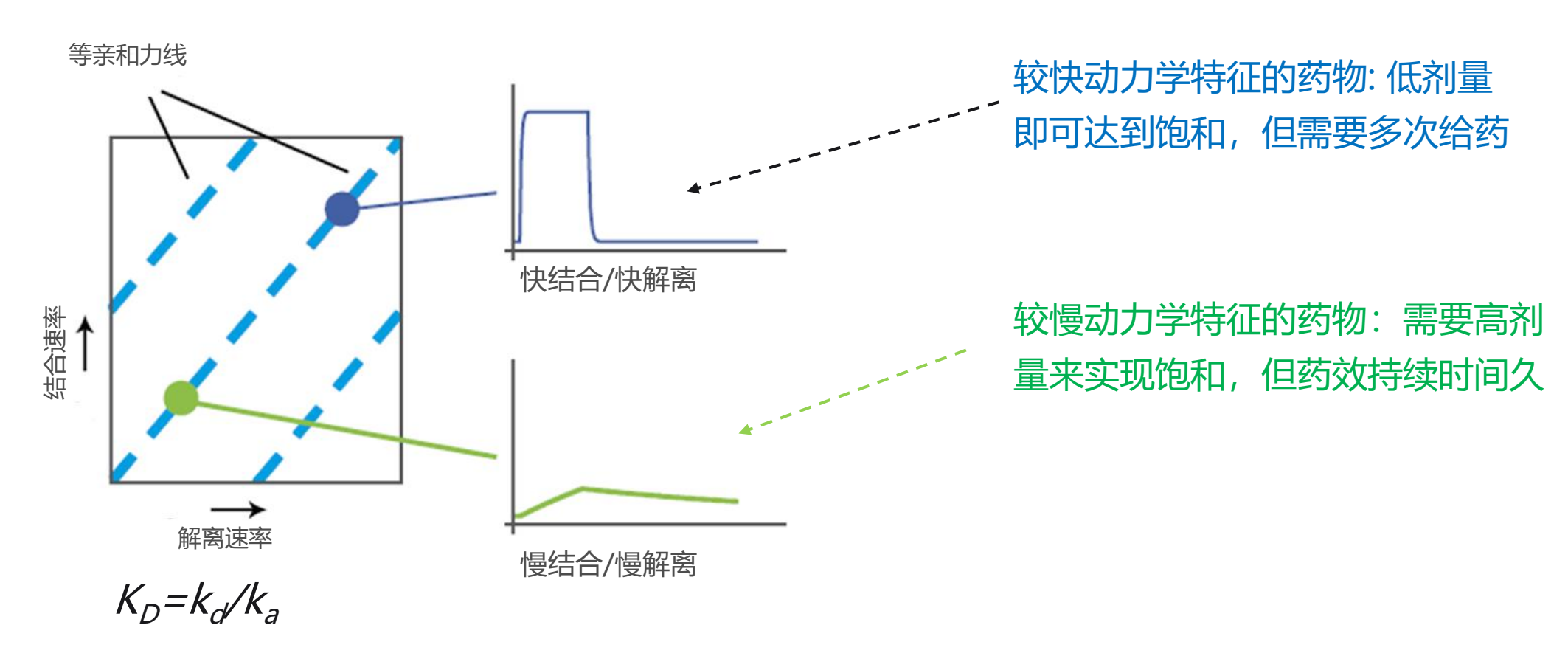
• 酶与底物结合: 10⁻⁴ ~ 10⁻¹⁰ M

• 蛋白与小分子结合: 10⁻³ ~ 10⁻⁶ M

Biacore提供全面的生物分子相互作用信息



相同的亲和力,不同的动力学,不同的功能



不同的结合与解离速率反映了不同的作用机制,也决定了分子不同的功能与结构特征。



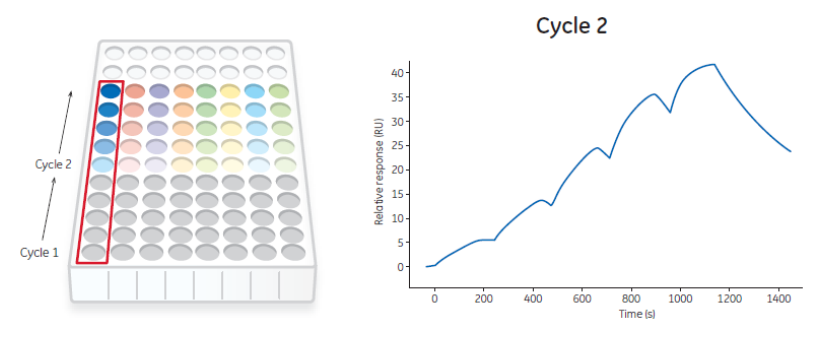
Biacore 1K核心组件

灵活的动力学分析方法

Multi-cycle kinetics 适合不同样品配对平行比较

Cycle 9 Cycle 8 Cycle 5 Cycle 6 Cycle 5 Cycle 2 Cycle 2 Cycle 2 Cycle 2 Cycle 2 Cycle 2 Cycle 3 Cycle 2 Cycle 4 Cycle 3 Cycle 3 Cycle 2 Cycle 4 Cycle 3 Cycle 4 Cycle 4 Cycle 4 Cycle 4 Cycle 4 Cycle 3 Cycle 5 Cycle 6 Cycle 5 Cycle 6 Cycle 6 Cycle 7 Cycle 8 Cycle 7 Cycle 8 Cycle 8 Cycle 9 Cycle 9 Cycle 9 Cycle 9 Cycle 9 Cycle 1 Cycle 3 Cycle 2 Cycle 1 Cycle 3 Cycle 2 Cycle 4 Cycle 3 Cycle 4 Cycle 4 Cycle 4 Cycle 5 Cycle 5 Cycle 6 Cycle 5 Cycle 6 Cycle 6 Cycle 6 Cycle 7 Cycle 8 Cycle 7 Cycle 8 Cycle 7 Cycle 9 Cycle

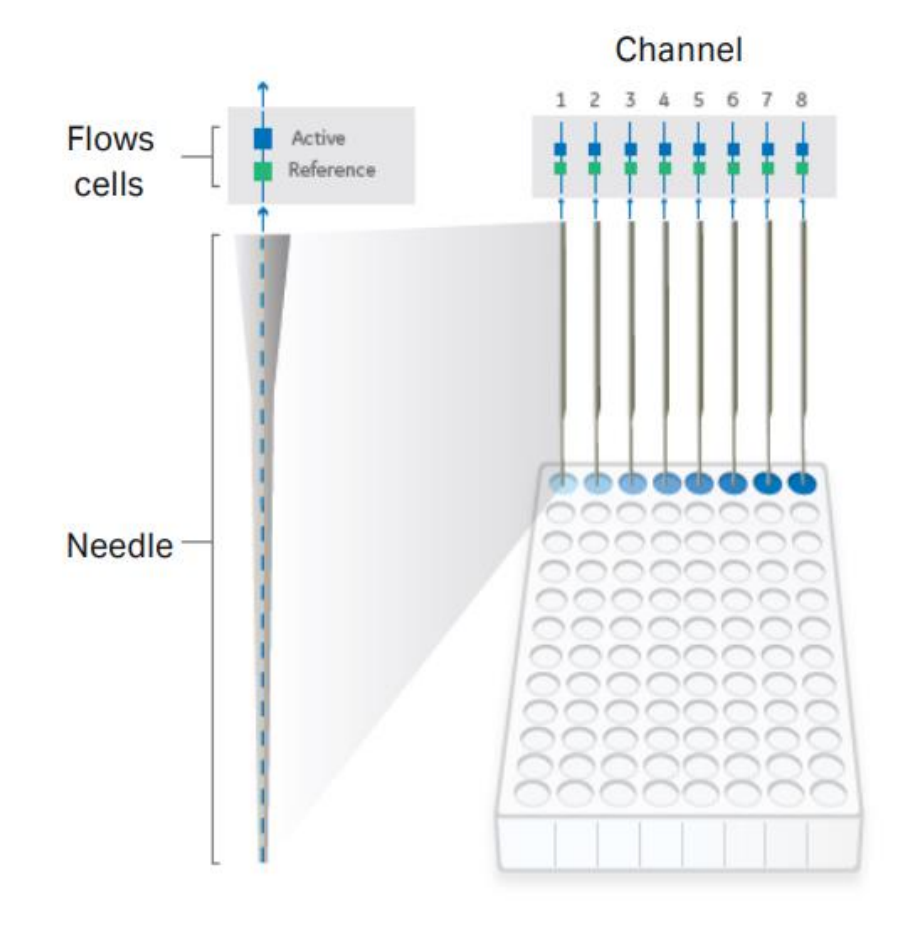
Single-cycle kinetics 快速动力学分析

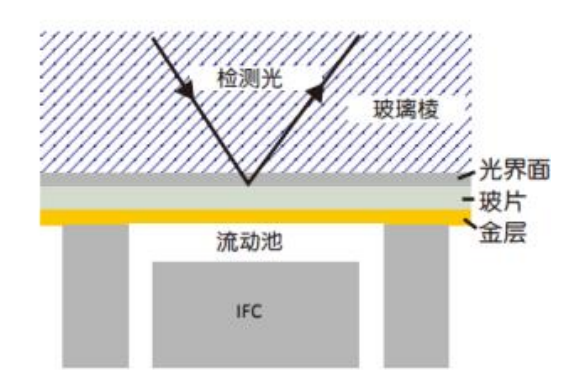


Biacore 8K系统

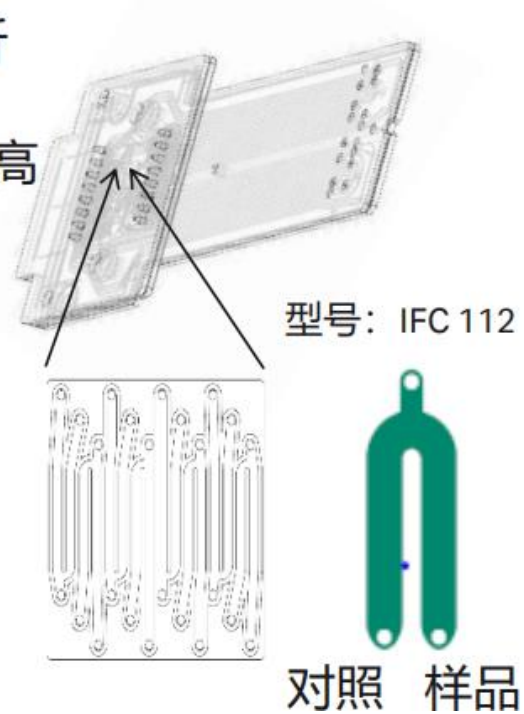


微流控系统(IFC)



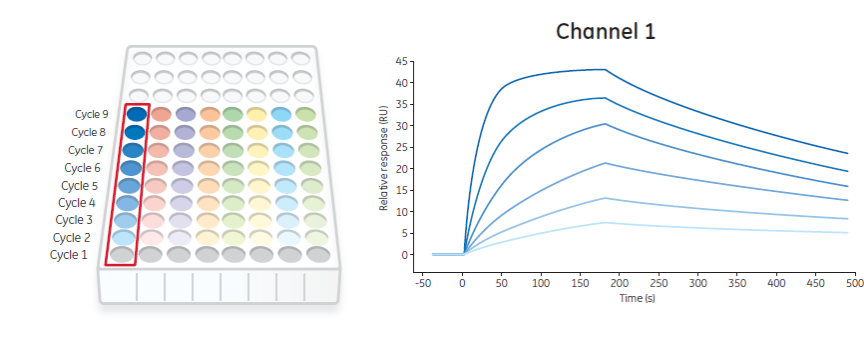


- 8根进样针平行运行
- 16检测通道, 样品-对照同时分析
- 全新的微流控技术,数据质量更高
- 血清、混合样品同样适用

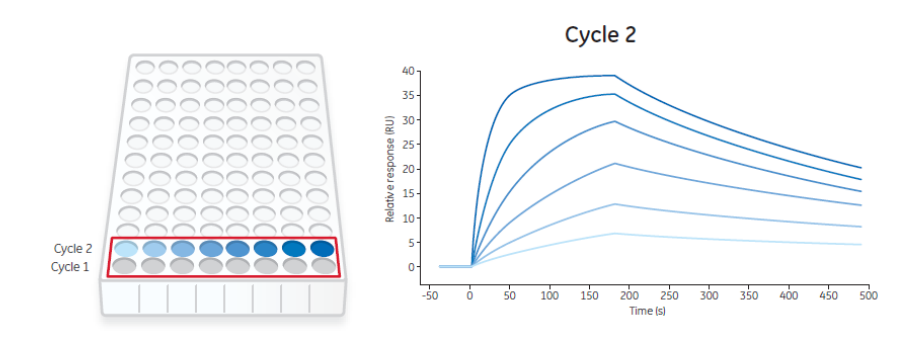


灵活的动力学分析方法

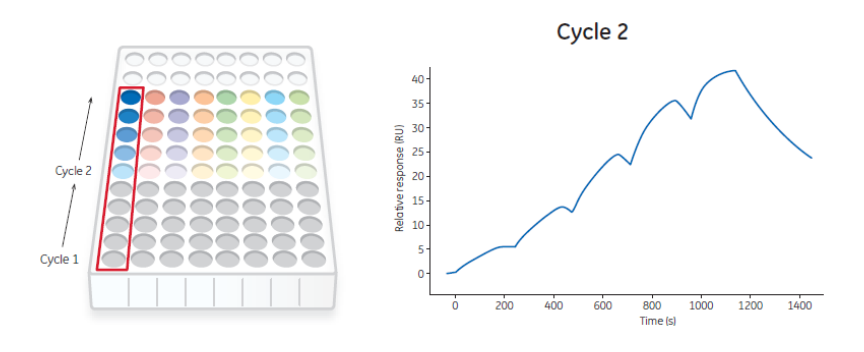
Multi-cycle kinetics 适合不同样品配对平行比较



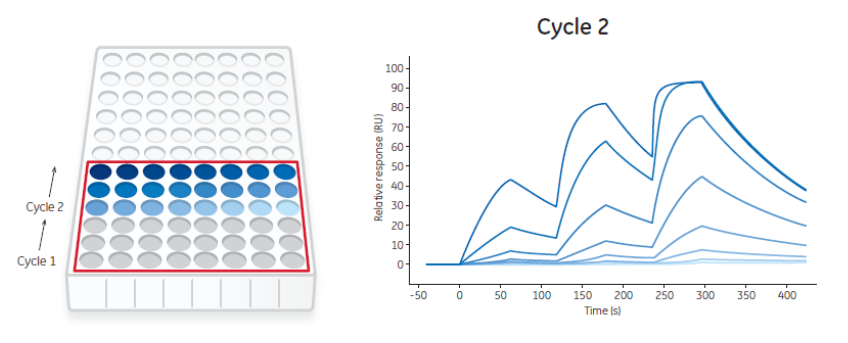
Parallel kinetics 适合高亲和力、长解离时间样品检测



Single-cycle kinetics 快速动力学分析



2D-kinetics 完成未知分子的动力学分析

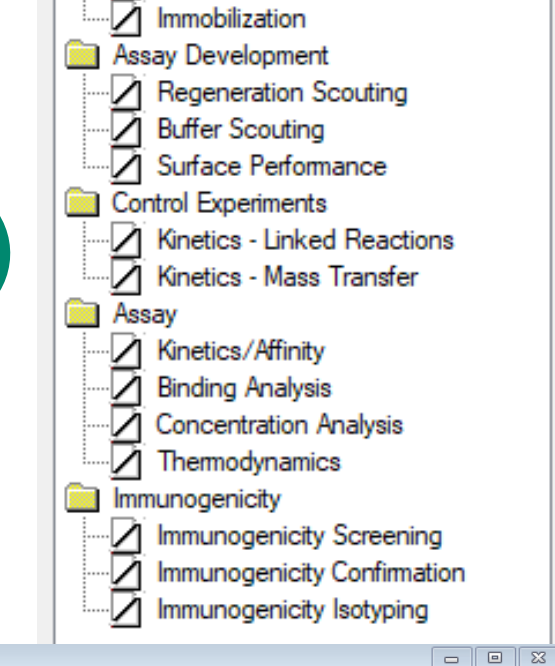


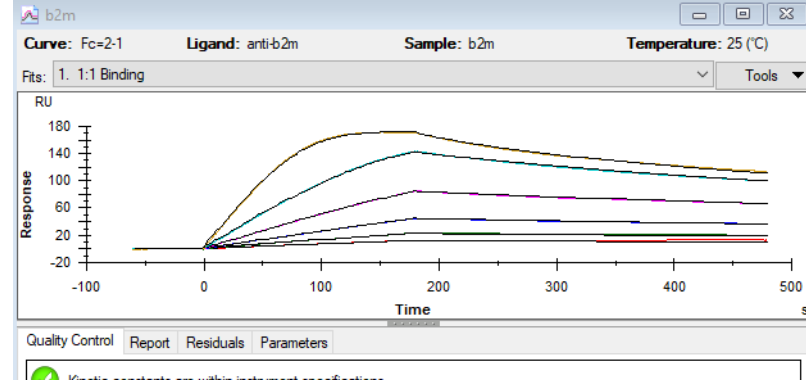
Immobilization pH Scouting

Surface Preparation





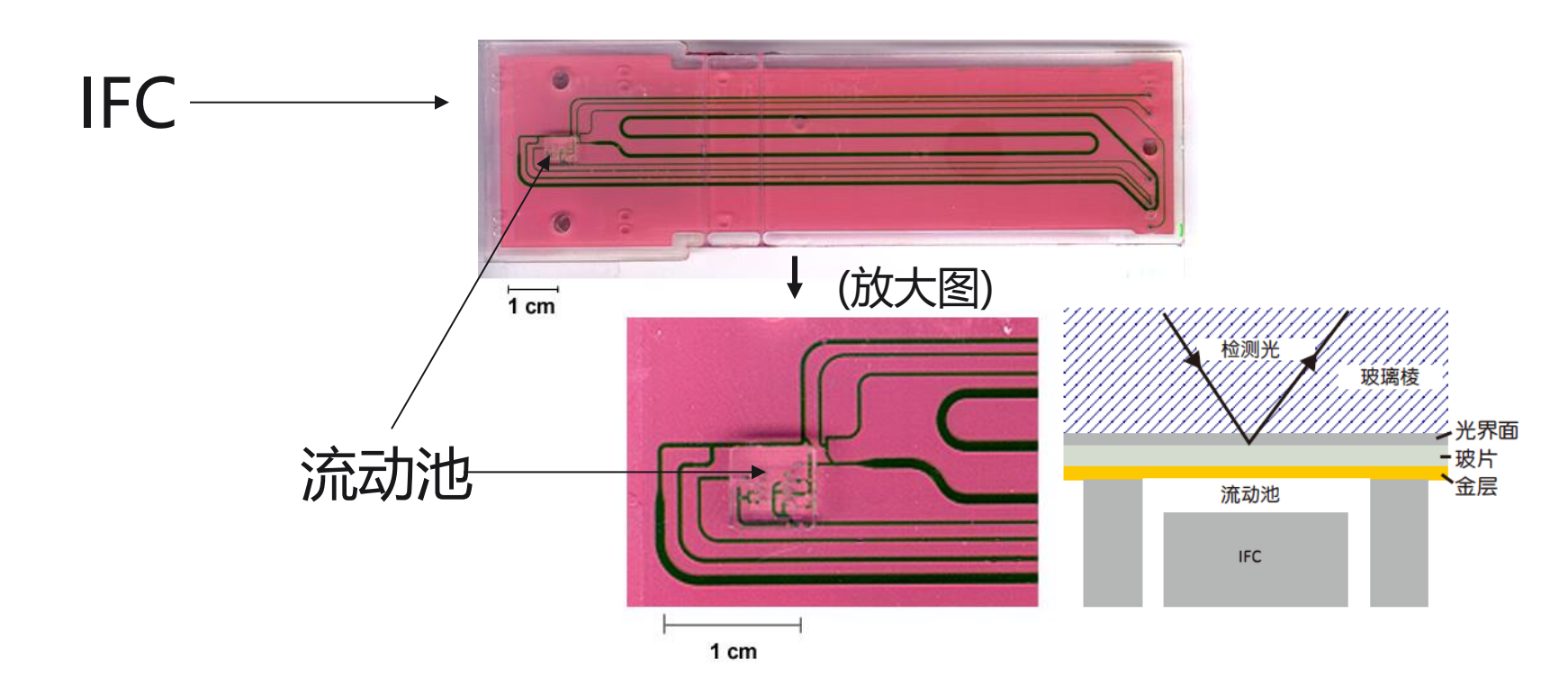




Examine the residual plot. Pay attention to systematic and non-random deviations.

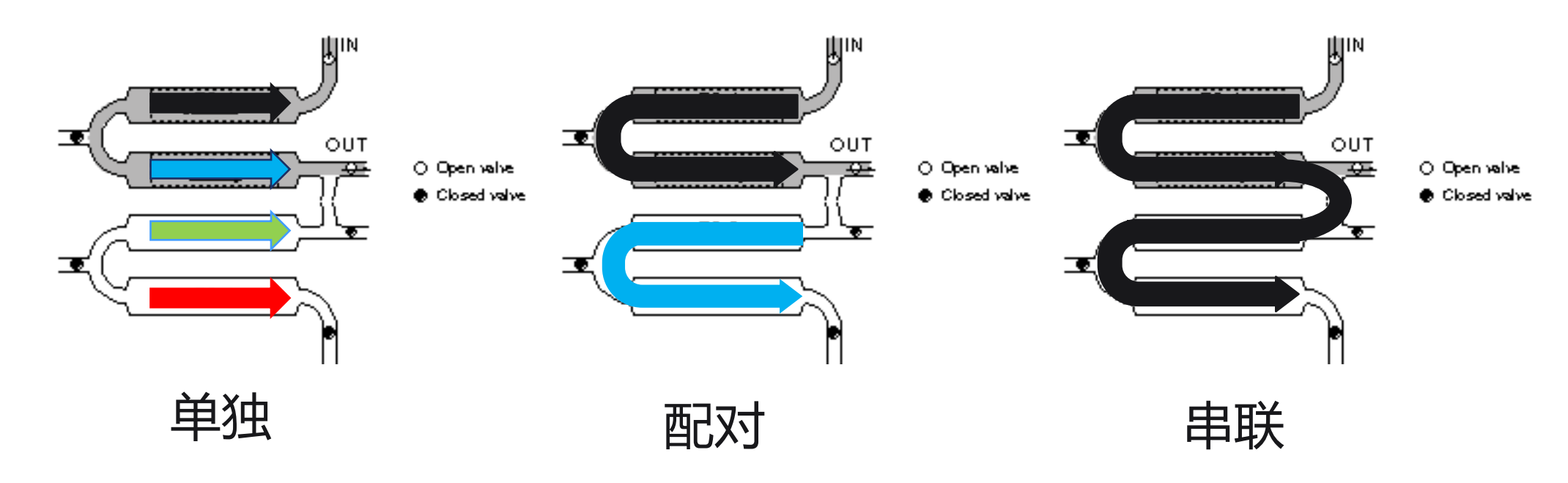
微流控系统(IFC)

- 集成化、自动化的微流路控制系统
- 样品消耗量低
- 为互作分析而设计优化

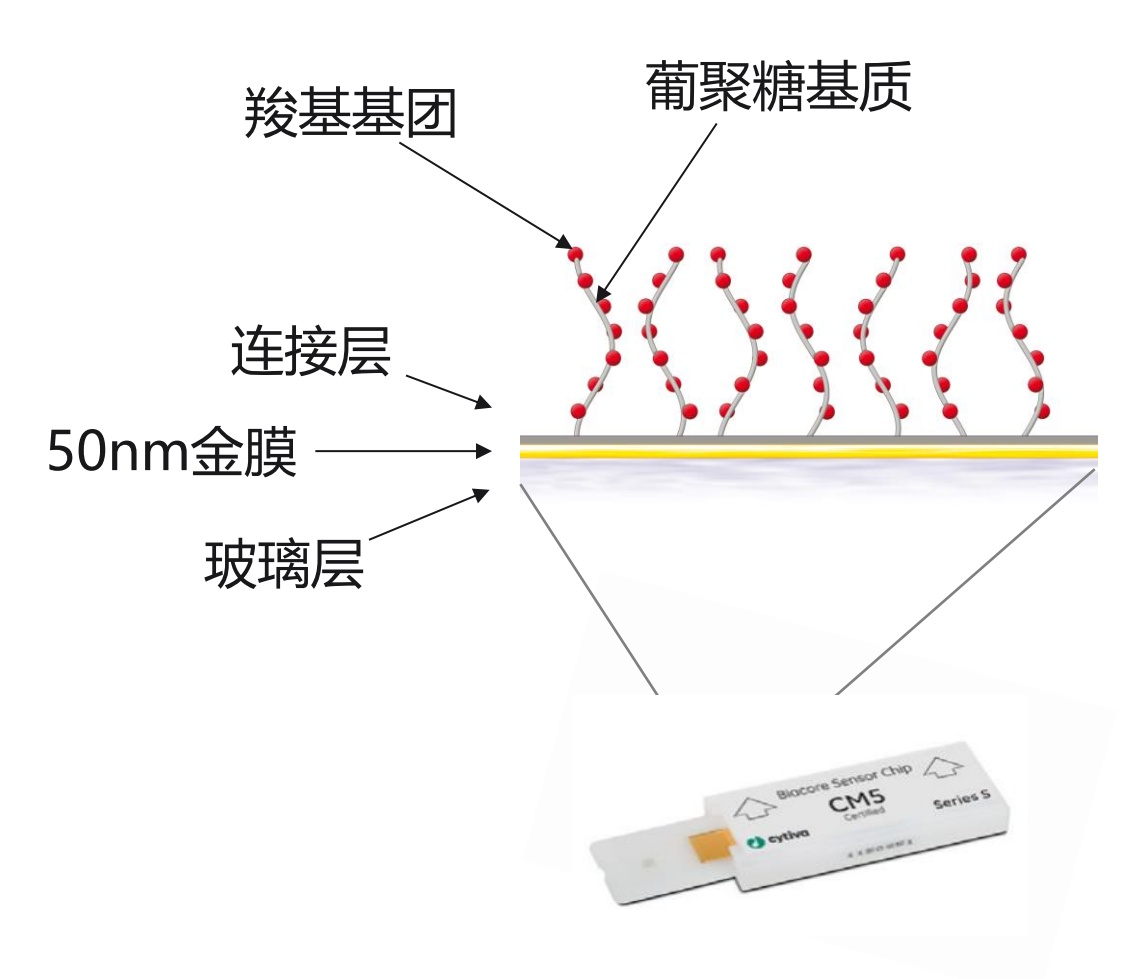


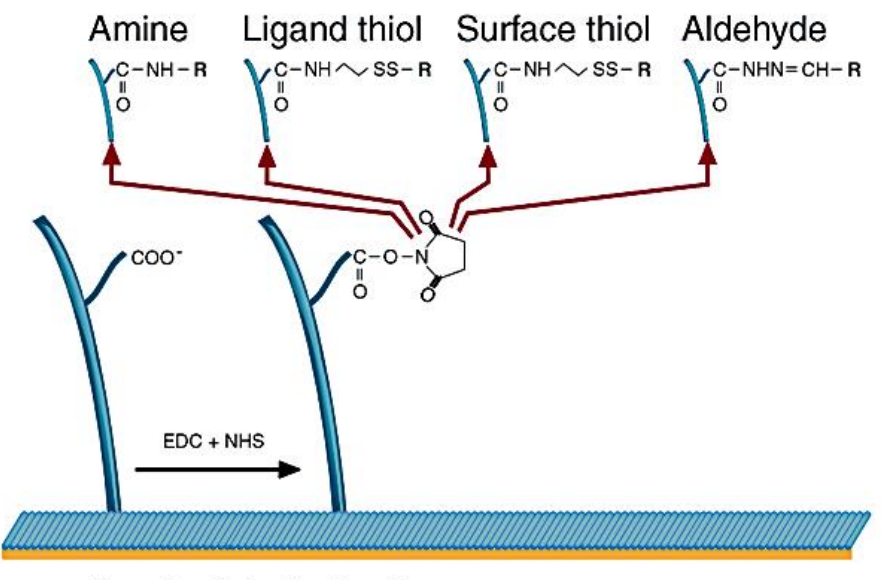
微流控系统(IFC)——流动池

- -4个流动池-位于IFC上(FC的个数由IFC种类决定)
- 可选择单独、配对、串联使用。
- 流动池为配对使用进行了优化(FC1-FC2, FC3-FC4)



传感芯片-CM5



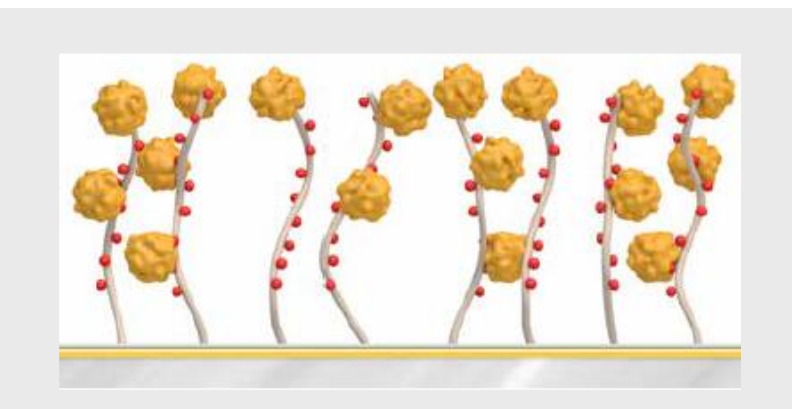


Covalent derivatization

- 羧基化的葡聚糖表面
- 最常用的传感芯片
- 出色的化学稳定性决定了可靠的实验重复性

传感芯片 Protein A

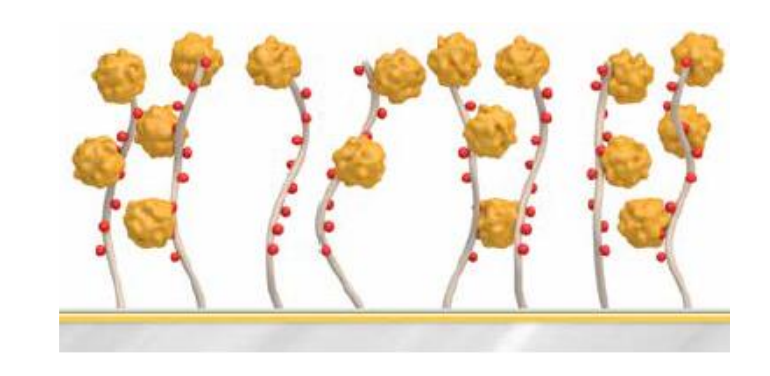
可捕获许多哺乳动物源的抗体,包括人源IgG1, IgG2, IgG4等



- 在羧基化的葡聚糖表面包被了一层 重组Protein A蛋白
- 只结合抗体Fc段的重链,保证了抗体结合的定向性
- 不结合抗体Fab段



传感芯片 Protein A/G/L



Protein A

- 羧基化的葡聚糖表面共价偶联 Protein A蛋白
- 只结合抗体Fc区重链,保证了抗体结合的定向性
- 不结合抗体Fab段
- 捕获许多哺乳动物源的抗体,包括 人源IgG1, IgG2, IgG4等

Protein G

- 羧基化的葡聚糖表面共价偶联 Protein G蛋白
- 只结合抗体Fc段的重链,保证了抗体结合的定向性
- 拥有更广泛的IgG结合能力,包括 人(含IgG3),兔,大鼠,小鼠, 山羊,绵羊等

Protein L

- 羧基化的葡聚糖表面共价偶联 Protein L蛋白
- 可结合抗体片段,如Fabs、scFv、dAbs,保证了抗体结合的定向性
- 抗体结合范围比Protein A/G更宽泛, 包括IgG, IgM, IgA, IgD, IgE
- 不结合牛免疫球蛋白,适用于以牛血 清为培养基表达产生的抗体或抗体片 段的定量测定

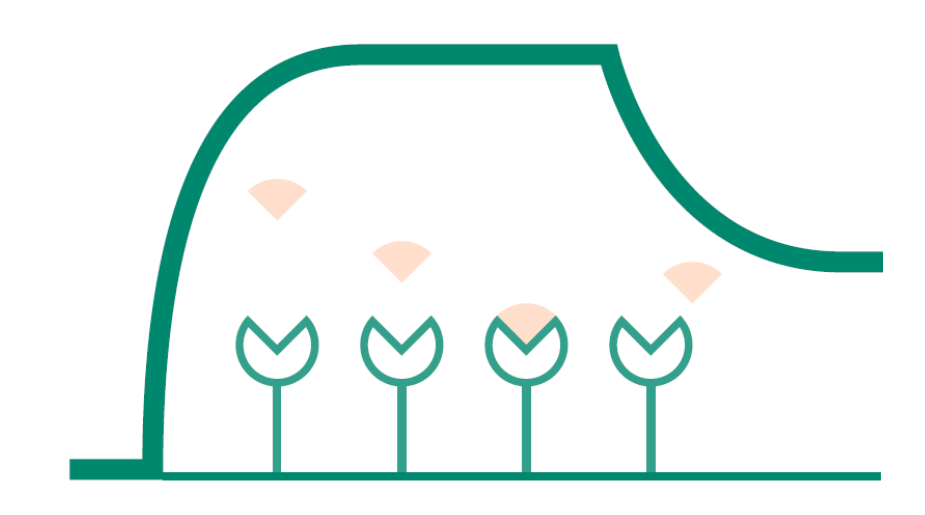
传感芯片的选择

18种不同的芯片类型

- CM5, CM4, CM3芯片:蛋白、肽段、小分子等
- CM7芯片: 小分子化合物研究
- SA, NA芯片: 生物素标记的分子, 如核酸、糖类等
- Biotin CAP芯片:可逆性生物素捕获芯片
- NTA芯片: His重组蛋白
- L1 芯片:模拟脂质双分子层环境
- HPA芯片: 实现膜系统相关的互作分析
- C1芯片:研究细胞、病毒等大颗粒分子
- Protein A, G, L, PrismA芯片
- 维护芯片, PEG芯片

30余种不同的试剂盒及缓冲液产品

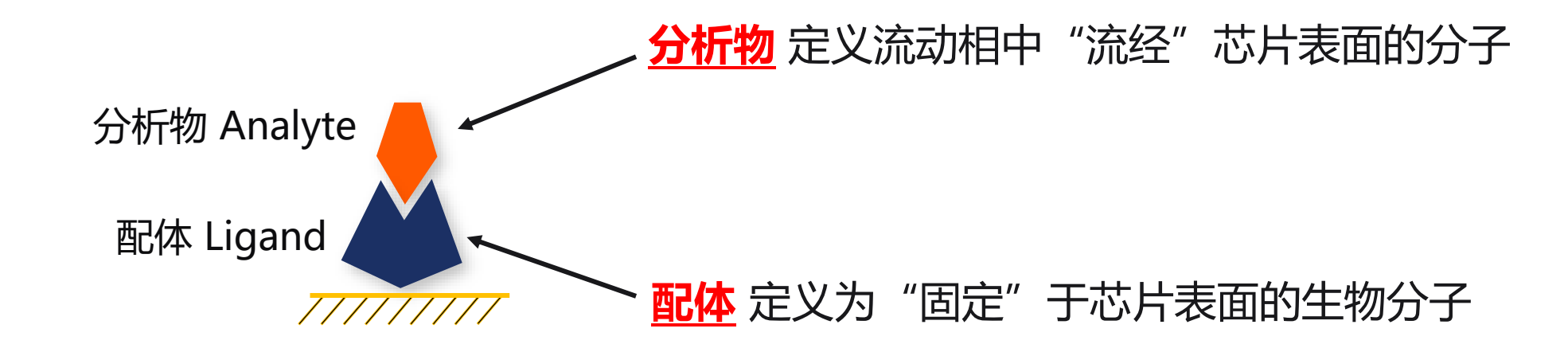
- 氨基偶联试剂盒、巯基偶联试剂盒;
- GST捕获试剂盒→GST重组蛋白分析;
- NTA捕获试剂盒 His 重组蛋白分析
- •





Biacore分析的基本流程

分析物和配体的定义



亲和力

亲和力 = 解离平衡常数 (K_D)

描述配体和分析物分子之间的结合强度。

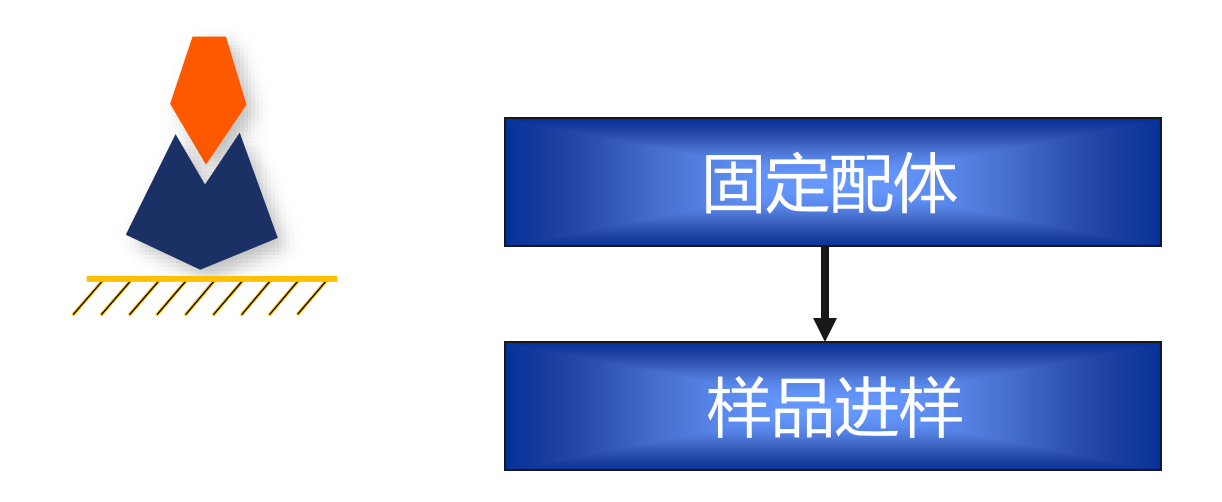
生物学意义: 1:1结合, 让50%A分子饱和时B分子的浓度。

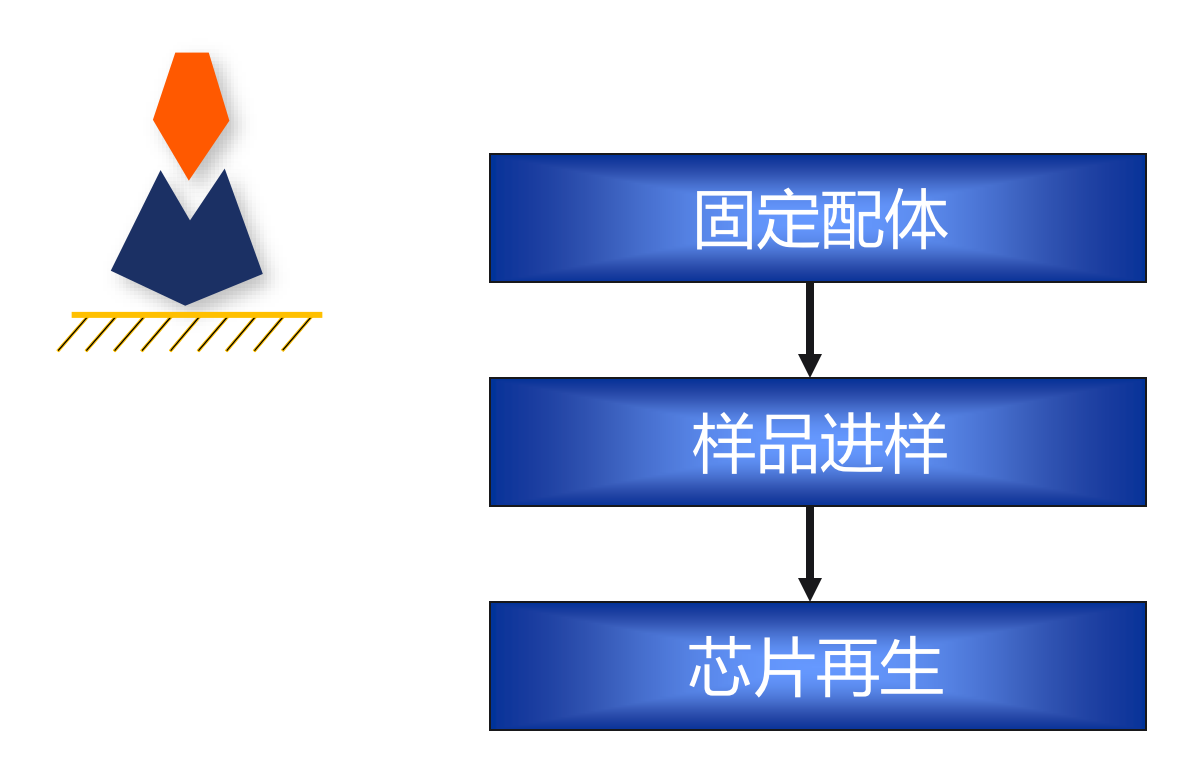
浓度单位M,数值越小结合越强。

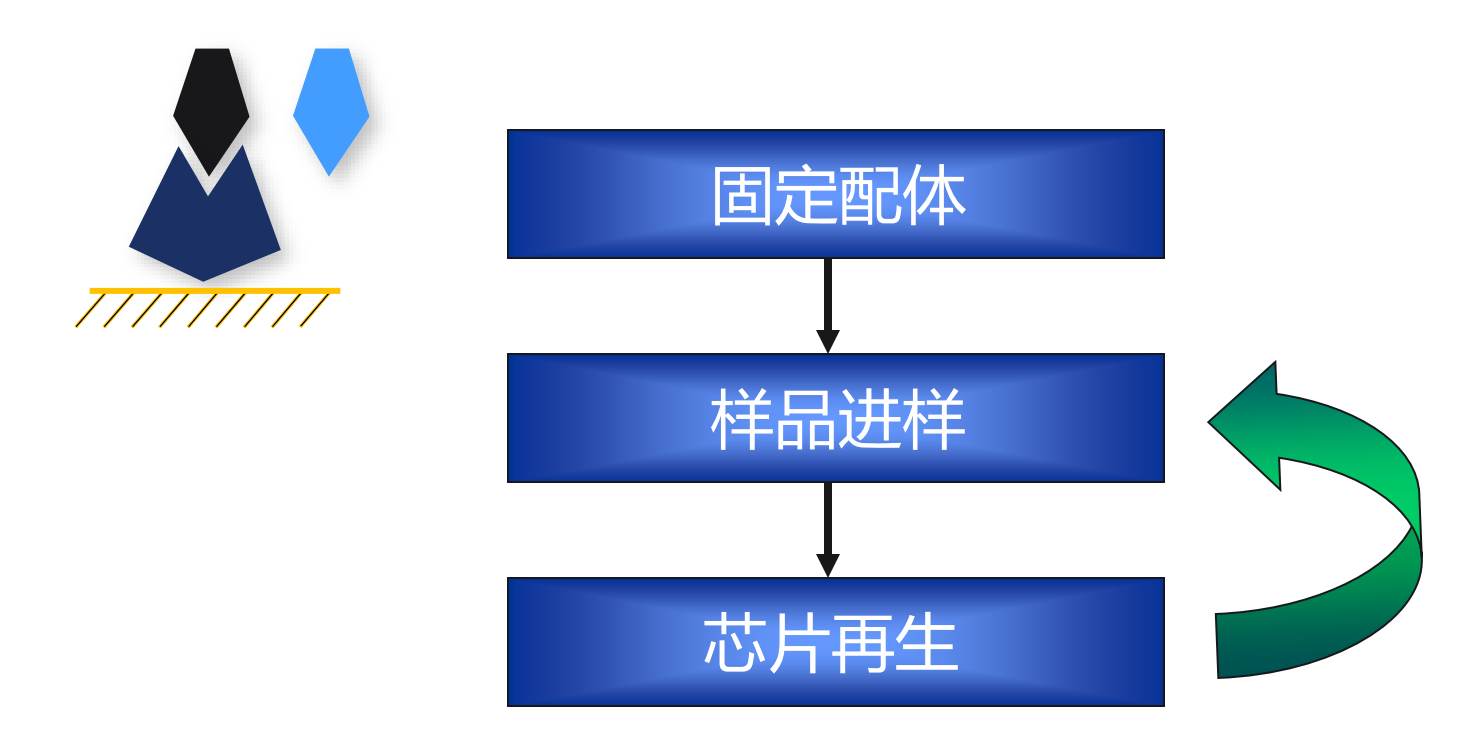
可以通过"稳态"或"动力学"两种方法获得。

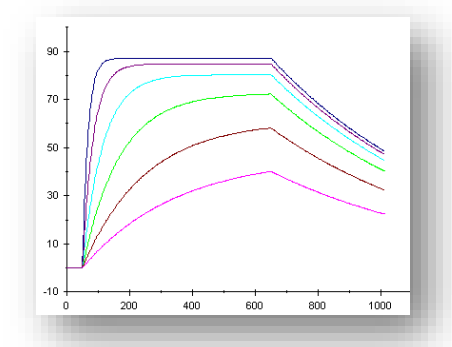


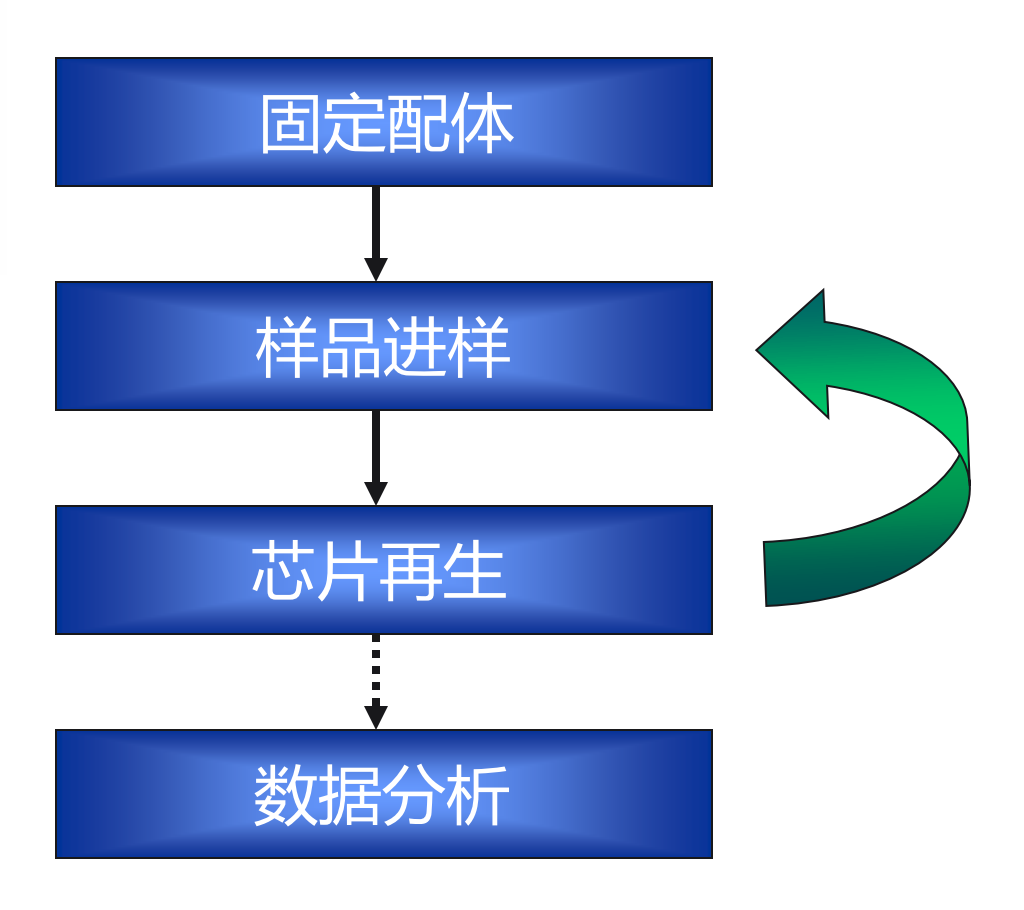
固定配体





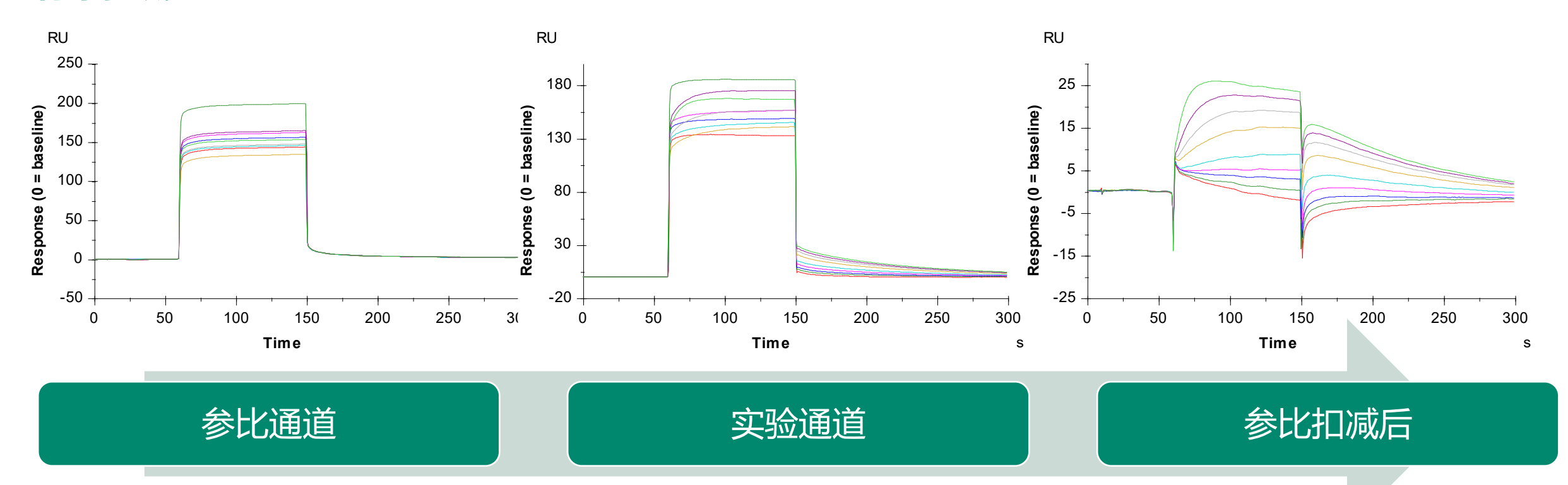






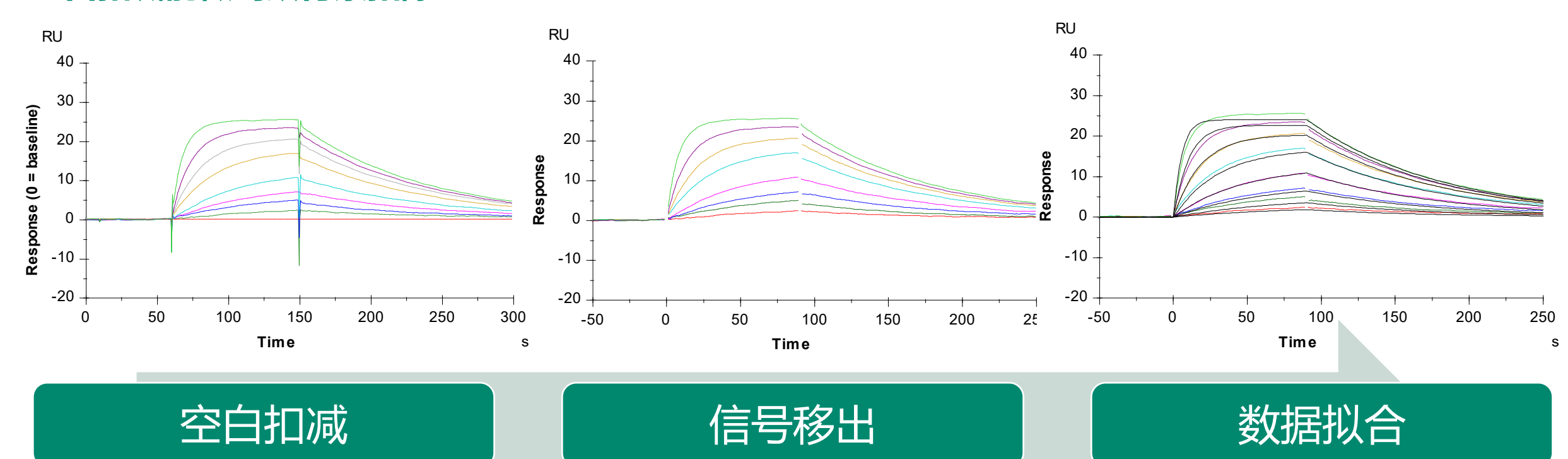
动力学分析: 第一步

背景扣减:

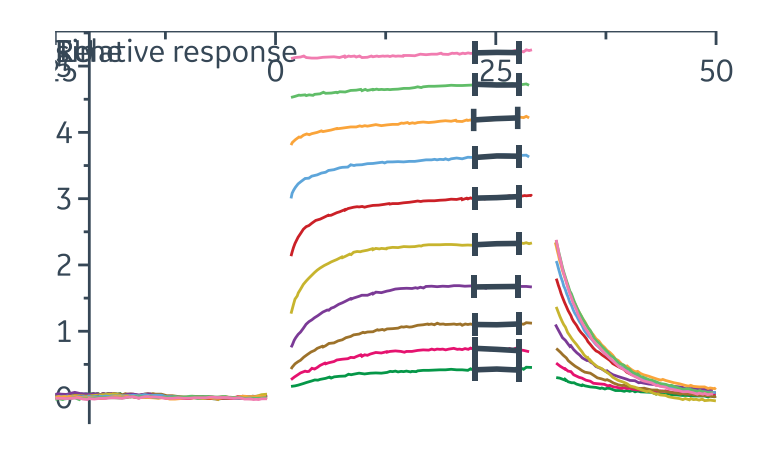


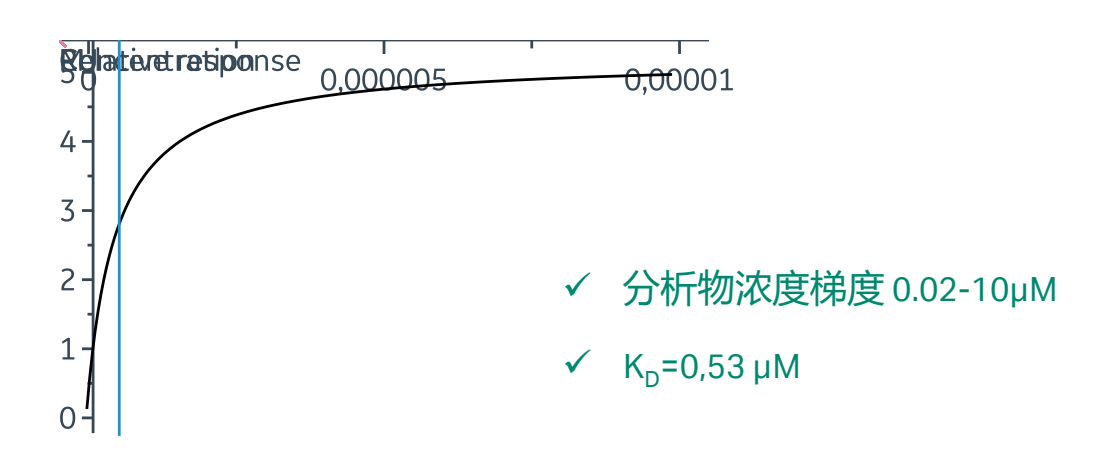
动力学分析: 第二步

空白扣减能做到双背景扣除



稳态分析: 全览





处理数据.

绘制稳态响应值与分析物浓度的关系图.

拟合数据.

确保分析物的最高浓度梯度 大于> 2 × K_D.

直接偶联 (Immobilization)和捕获 (Capture)

什么是偶联配体?

将配体直接或者间接地固定于芯片表面



- · 直接偶联
- 将配体共价偶联于芯片表面
- 常用氨基偶联的方法



捕获分子 Capturing molecule

- 捕获的方式
- 将捕获分子共价偶联于芯片表面
- 捕获分子在每个循环过程中通过亲合作用偶联配体

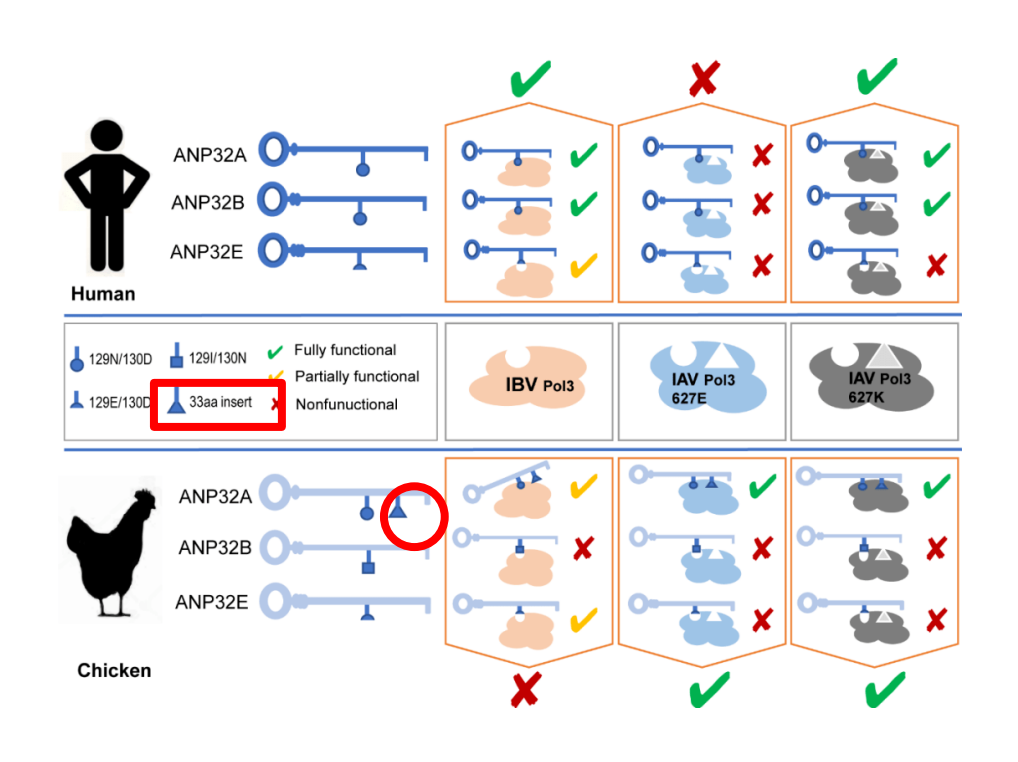


Biacore™在医药/基础研究中的应用

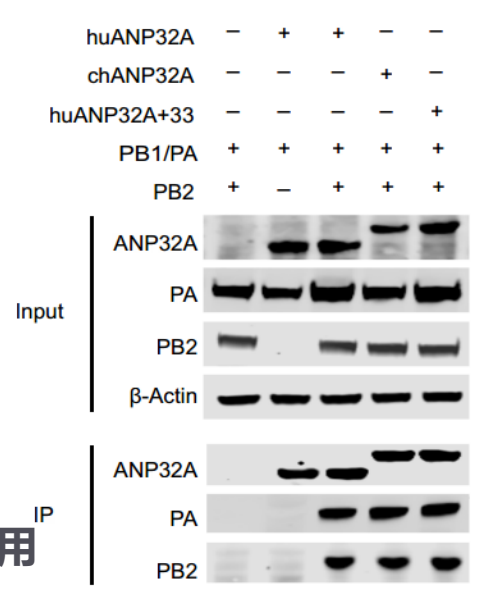
Cytiva

68

B型流感病毒感染种间限制机制



- 病毒RNA聚合酶活性的关键宿主因子——ANP32
- · ANP32的物种差异决定了病毒RNA聚合酶的宿主范围



ANP32A中33个氨基酸的差异 是造成这种物种特异性的原因吗

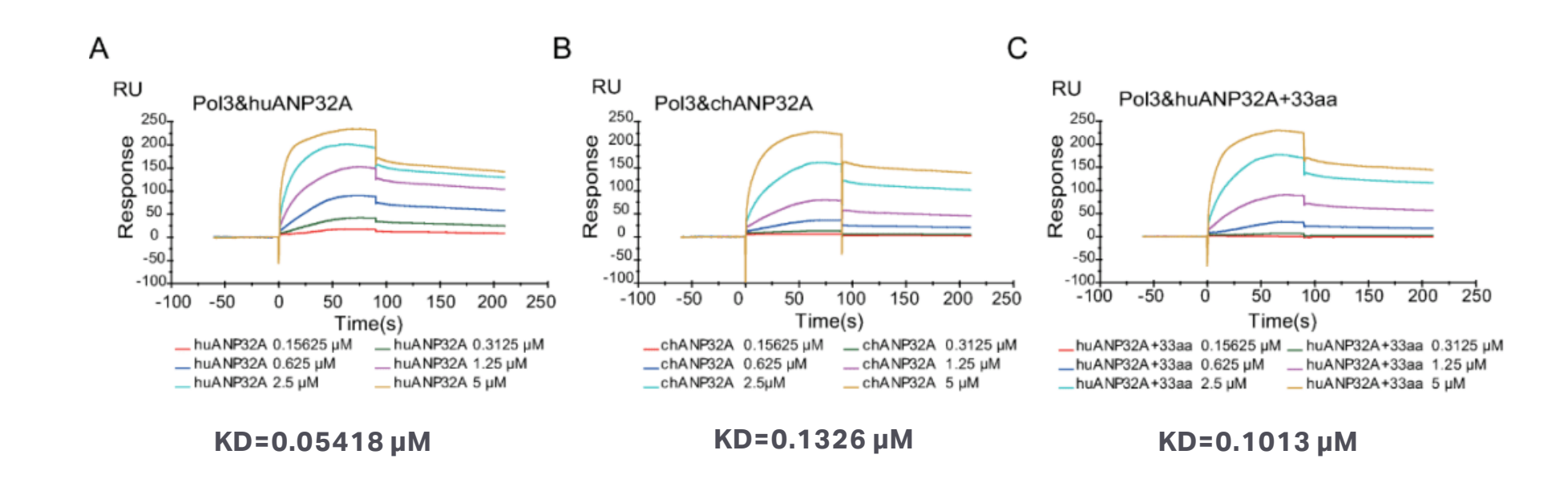
▶ I Co-IP结果显示

chANP32A/huANP32A/huA

NP32A+33均结合IBV聚合酶

酸性核磷蛋白32家族中的ANP32A对于IBV的复制起主要作用

BiacoreTM验证ANP32A与IBVRNA聚合酶的结合



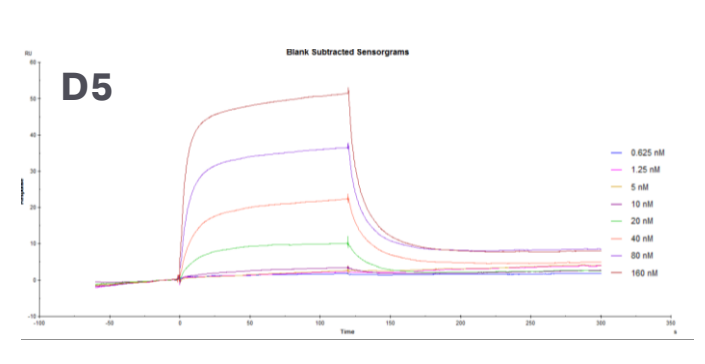
Biacore定量结果准确显示了不同物种ANP32A亲和力的差异

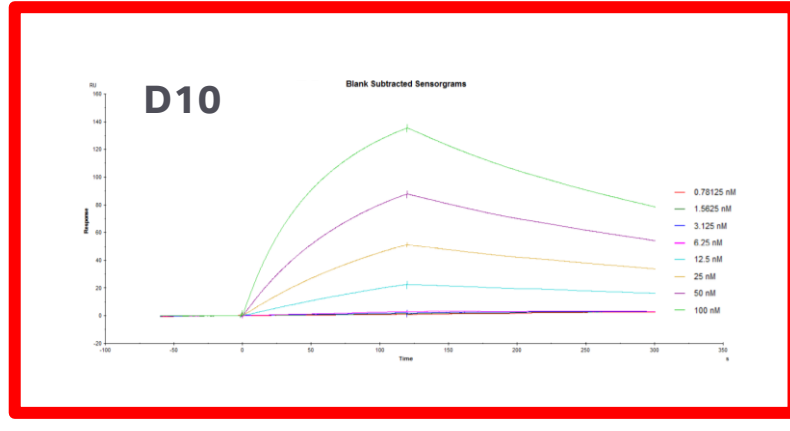
33个氨基酸的插入降低了ANP32A与IBV聚合酶的亲和力

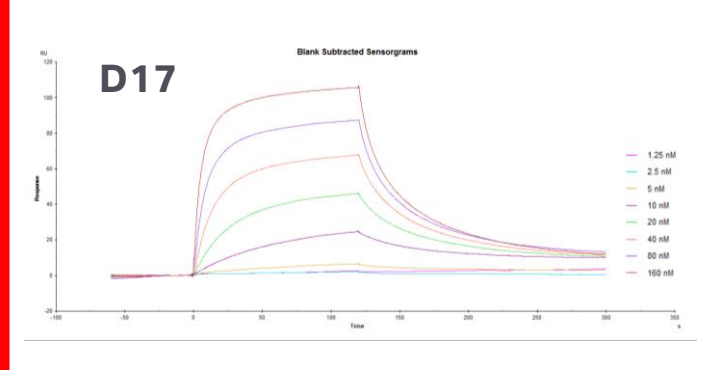
华山医院发现慢解离核酸适配体助力肝癌早筛

k _a (1/Ms)		k _d (1/s)	K _D (nM)
D5	2.349×10 ⁶	0.02878	12.26
D10	1.150×10 ⁵	0.004479	24.85
D17	1.466×10 ⁶	0.03198	21.81

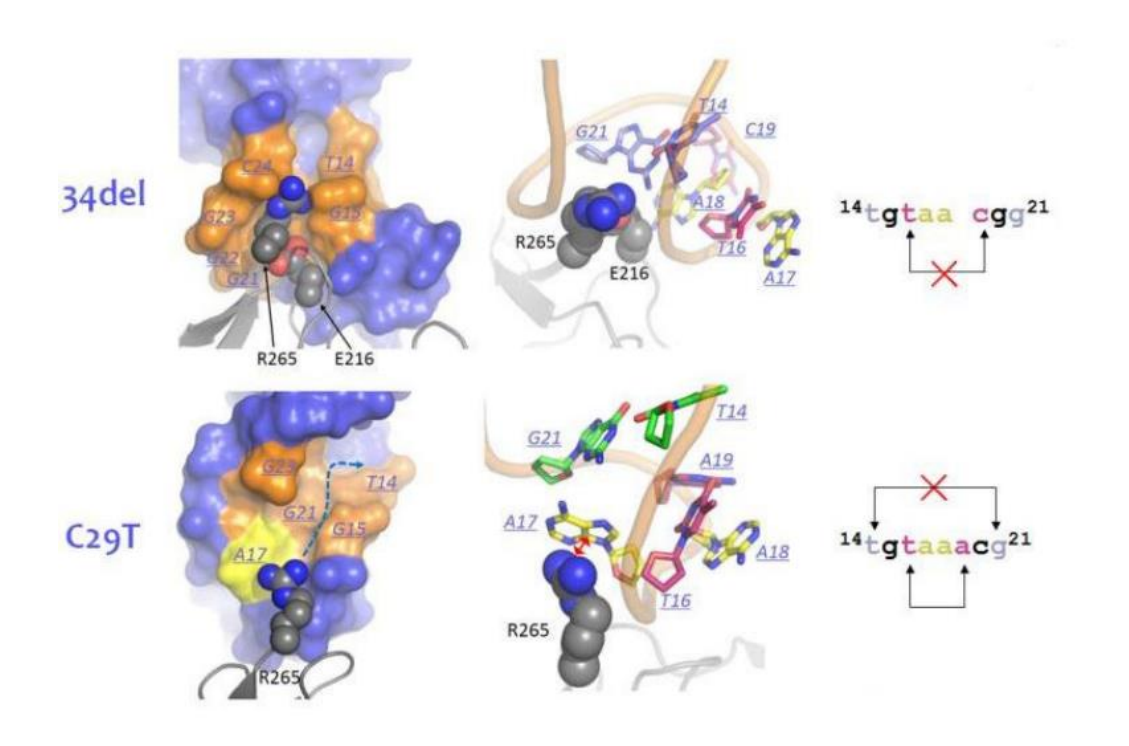
- Dickkopf-1 (DKK-1) 是HCC重要的早期筛查指标
- 针对Dickkopf-1筛选核酸适配体
- 开发核酸适配体-靶标-抗体的HCC早期筛查方法



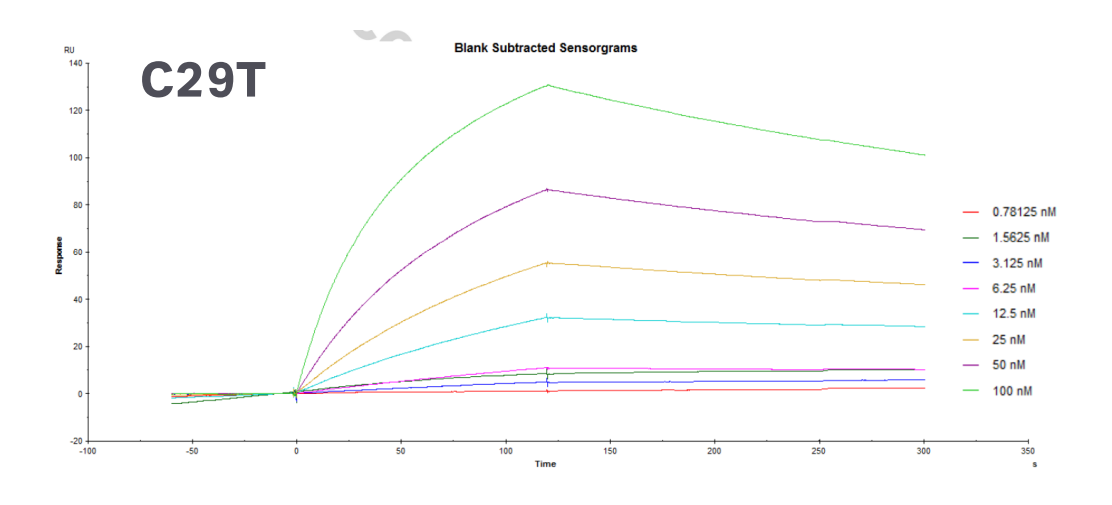


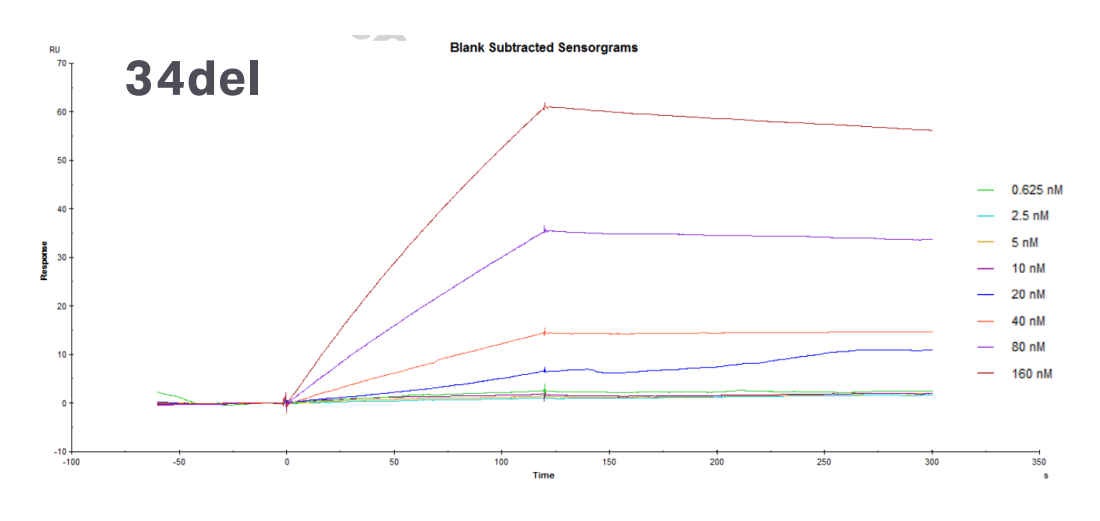


慢解离筛选获得的突变核酸适配体亲和力验证

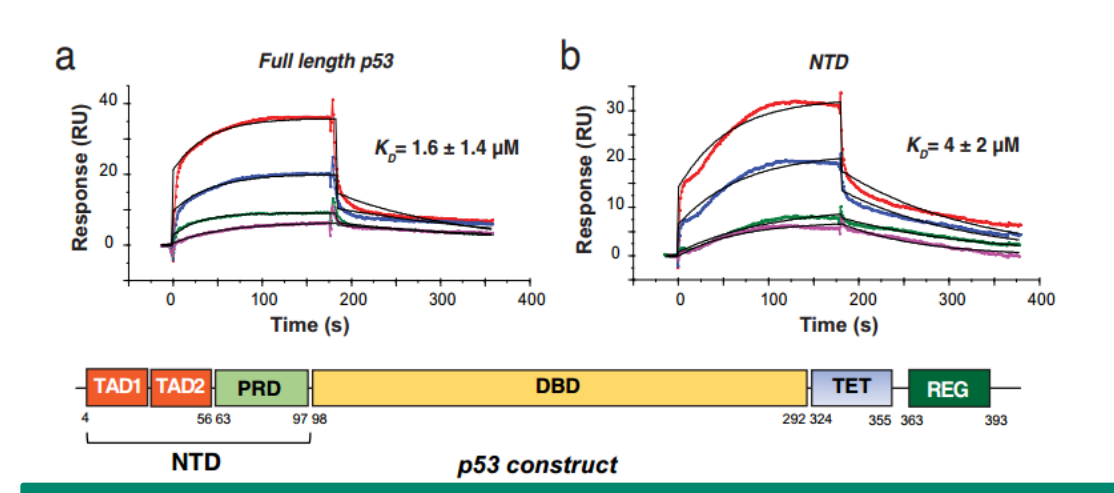


	k _a (1/Ms)	k_d (1/s)	K _D (nM)
D10	1.150×10 ⁵	0.004479	24.85
C29T	1.524×10 ⁵	0.001229	8.062
34del	2.320×10 ⁵	0.00007374	0.3719



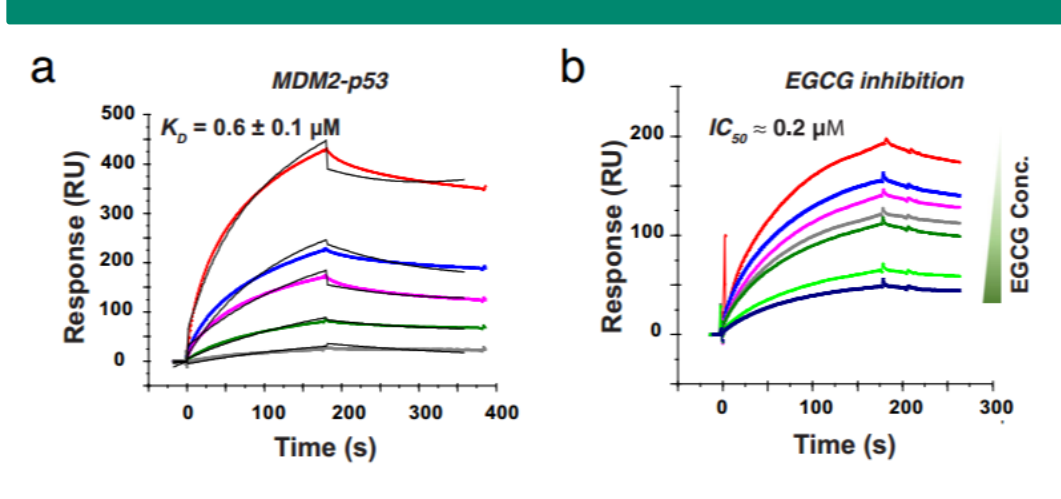


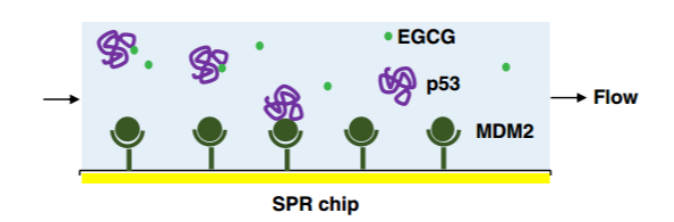
中国农大:绿茶来源的儿茶素EGCG抗癌的分子机制



- · EGCG与抑癌因子p53之间µM的相互作用
- · p53的N端结构域(NTD)被确定为主要的结合位点

NTD也是MDM2的结合位点,EGCG与NTD的结合是否影响了MDM2调节的p53降解?





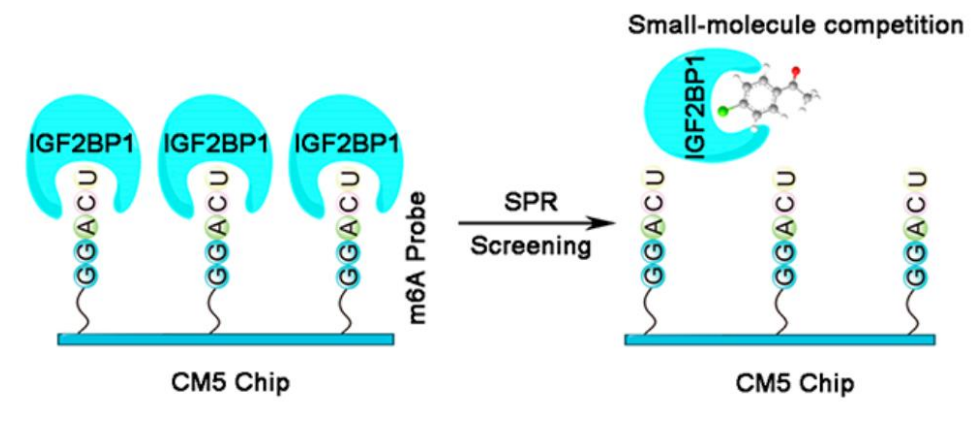
- · EGCG破坏p53与其调节性E3连接酶MDM2的互作
- 抑制MDM2对p53的泛素化,稳定p53的抗肿瘤活性

Nature communications vol. 12,1 986. 12 Feb. 2021

天然产物中抗肿瘤活性分子发现及作用机制阐释

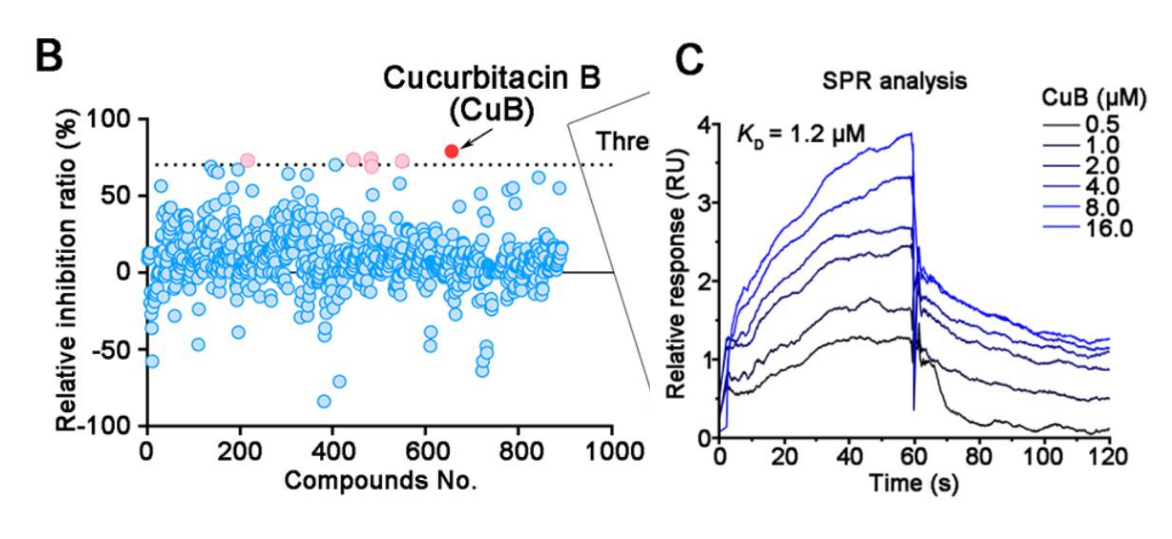
2022中医药十大进展!

SPR screening for IGF2BP1 binding compounds



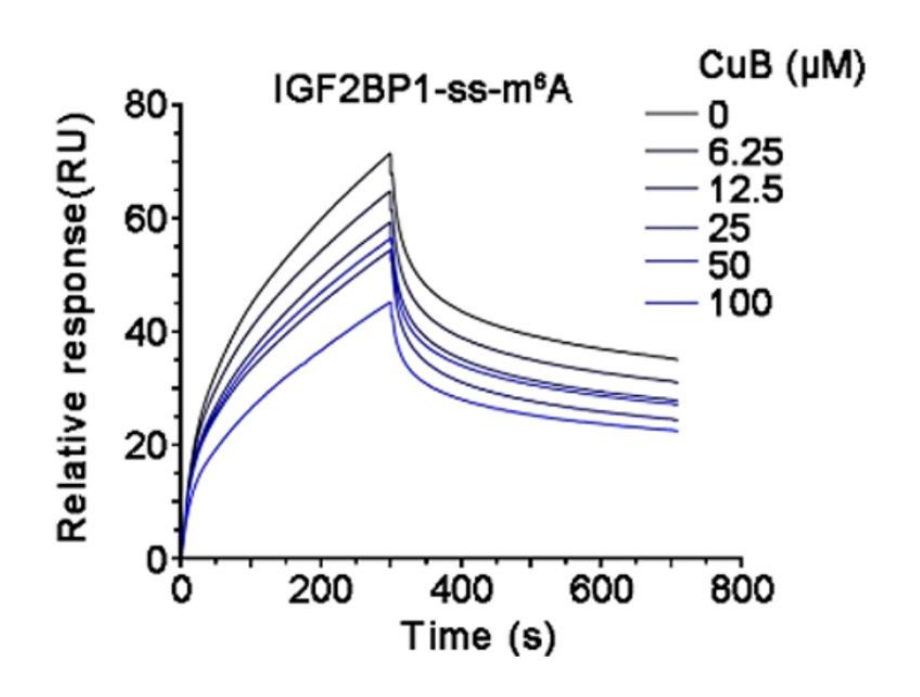
Biacore抑制剂筛选方法示意图

- 1. 固定RNA
- 2. 化合物固定浓度 (20uM) 与IGF2BP1预孵育
- 3. 检测与RNA的结合信号

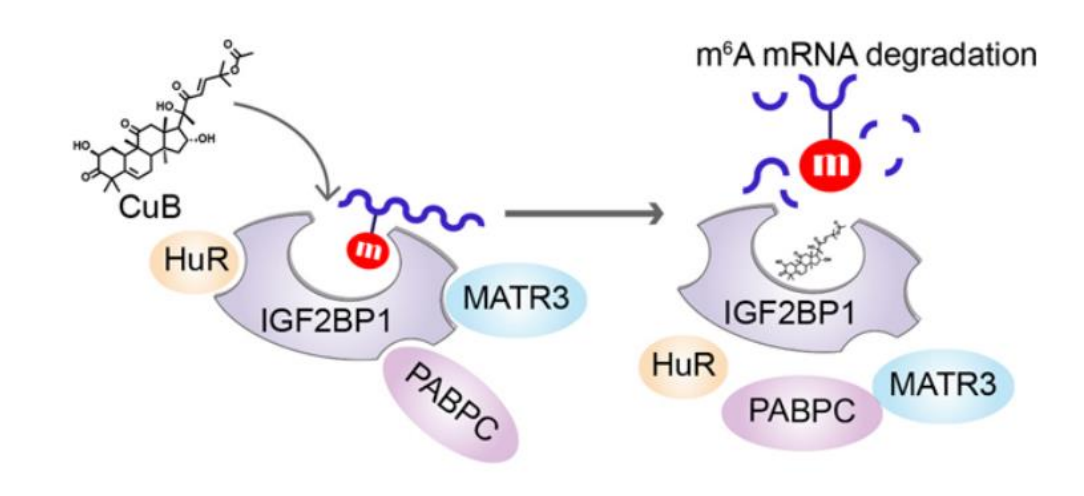


- 肿瘤免疫微环境调控因子IGF2BP1
- 筛选能抑制IGF2BP1与其m6A靶点的活性分子
- 葫芦素B (CuB) 具有最强的抑制效果

天然产物中抗肿瘤活性分子发现及作用机制阐释



Biacore阐释葫芦素B的作用机制

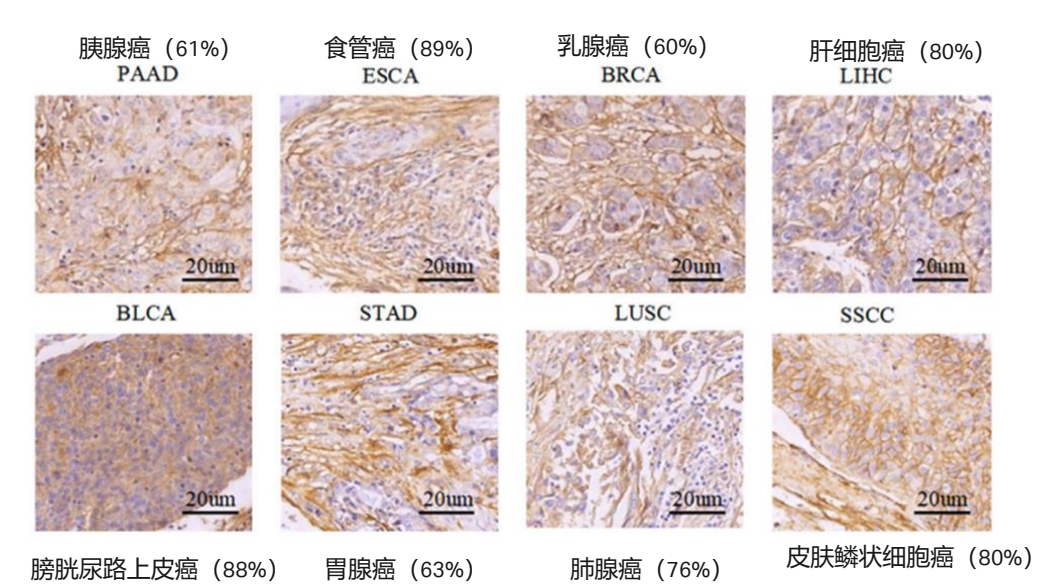


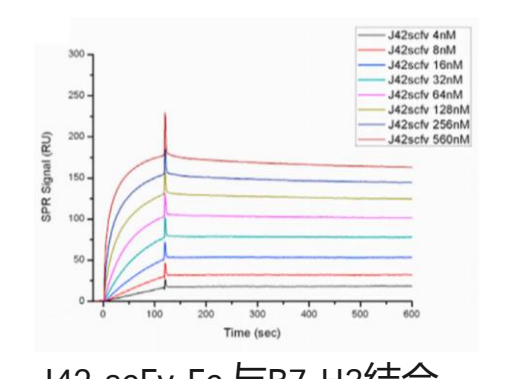
- 芯片表面固定m6A
- IGF2BP1与不同浓度的CuB预混后上样
- · 随着葫芦素B的浓度逐渐提高,IGF2BP1与ss-m6A的 结合信号越来越低

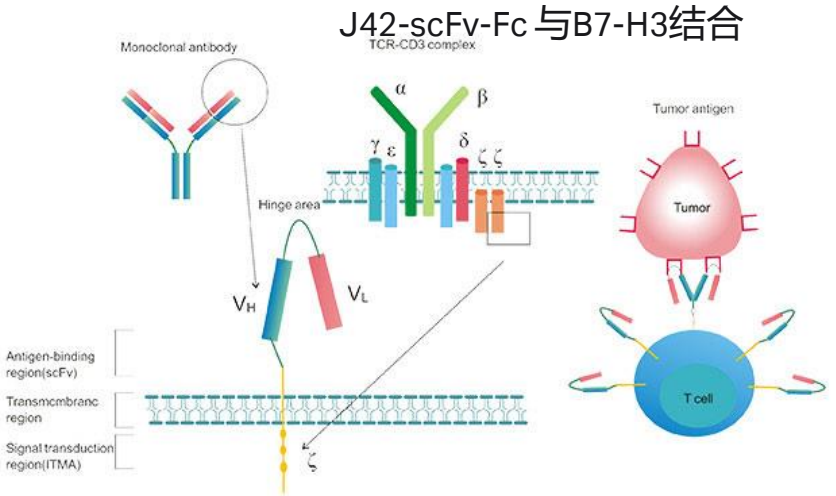
四川大学华西医院探究CAR-T实体瘤疗法

B7-H3-Targeted CAR-T Cells Exhibit Potent Antitumor Effects on Hematologic and Solid Tumors

Zongliang Zhang,^{1,5} Caiying Jiang,^{2,5} Zhiyong Liu,^{3,5} Meijia Yang,¹ Xin Tang,³ Yuelong Wang,³ Meijun Zheng,⁴ Jianhan Huang,³ Kunhong Zhong,¹ Shasha Zhao,¹ Mei Tang,¹ Tingyue Zhou,¹ Hui Yang,⁴ Gang Guo,¹ Liangxue Zhou,³ Jianguo Xu,³ and Aiping Tong¹





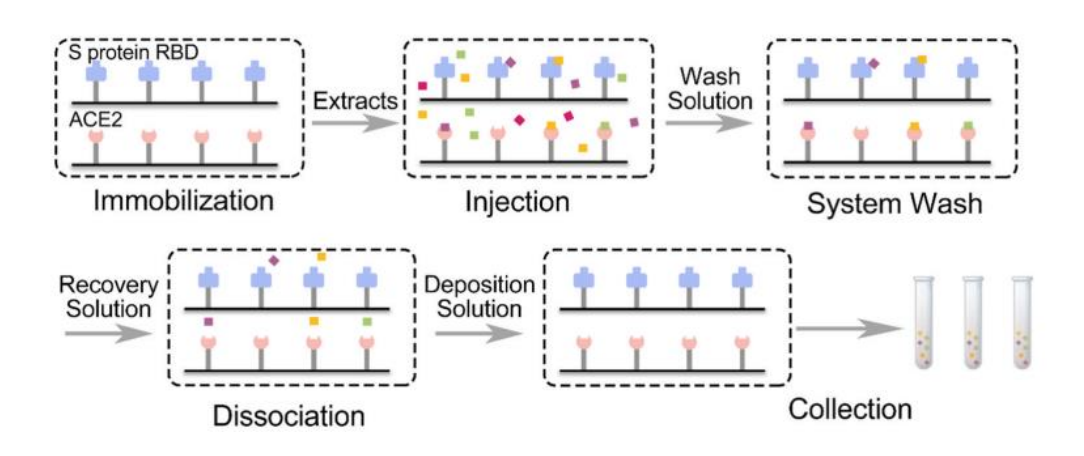


Antibody	k _a (1/MS)	k _d (1/s)	K _D (pM)
mAb-J42	5.619×10 ⁵	3.729×10^{-5}	66.36
J42-scFv-Fc	1.957×10^{5}	2.515×10 ⁻⁵	128.5

Molecular therapy oncolytics vol. 17 180-189. 7 Apr. 2020

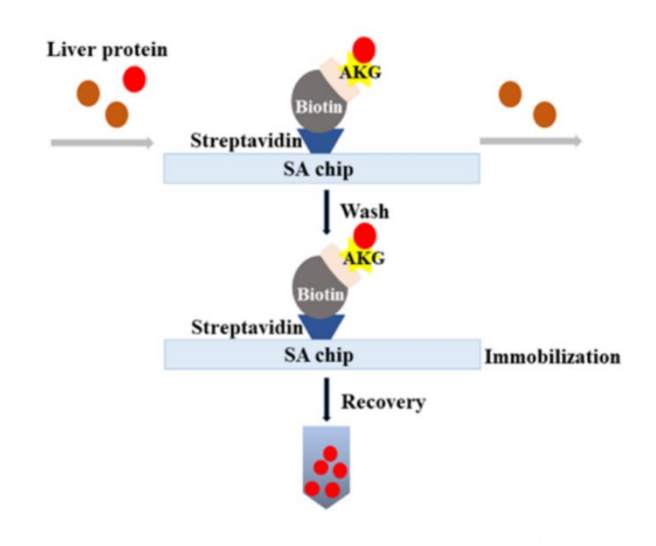
Biacore "垂钓"助力复杂样品研究

第二军医大学, 双靶点药物发现策略



- 1. 分别偶联S蛋白RBD和ACE2在不同通道
- 2. "垂钓"中药提取物中的活性分子
- 3. 质谱鉴定
- 4. Biacore再次验证
- 5. 葛根中的葛根素对两个靶点均具有特异性亲和力

华南农业大学, α-酮戊二酸(AKG)降糖的新机制研究



- 1. AKG修饰生物素, 偶联在SA芯片上
- 2. "垂钓"肝脏提取总蛋白样品
- 3. 质谱鉴定得到P2RX4

Biacore助力基孔肯雅病毒入侵机制的破解

Please cite this article in press as: Song et al., Molecular Basis of Arthritogenic Alphavirus Receptor MXRA8 Binding to Chikungunya Virus Envelope Protein, Cell (2019), https://doi.org/10.1016/j.cell.2019.04.008

Article



Molecular Basis of Arthritogenic Alphavirus Receptor MXRA8 Binding to Chikungunya Virus Envelope Protein

Hao Song,^{1,13} Zhennan Zhao,^{2,3,13} Yan Chai,^{2,13} Xiyue Jin,^{2,4} Changyao Li,⁵ Fei Yuan,² Sheng Liu,^{2,4} Zhengrong Gao,⁶ Haiyuan Wang,⁷ Jian Song,² Leonardo Vazquez,^{2,8} Yanfang Zhang,^{2,3} Shuguang Tan,² Carlos M. Morel,⁸ Jinghua Yan,² Yi Shi,^{2,3,9} Jianxun Qi,^{2,3} Feng Gao,^{10,11,*} and George F. Gao^{1,2,3,4,9,10,12,14,*}

Please cite this article in press as: Basore et al., Cryo-EM Structure of Chikungunya Virus in Complex with the Mxra8 Receptor, Cell (2019), https://doi.org/10.1016/j.cell.2019.04.006

Article

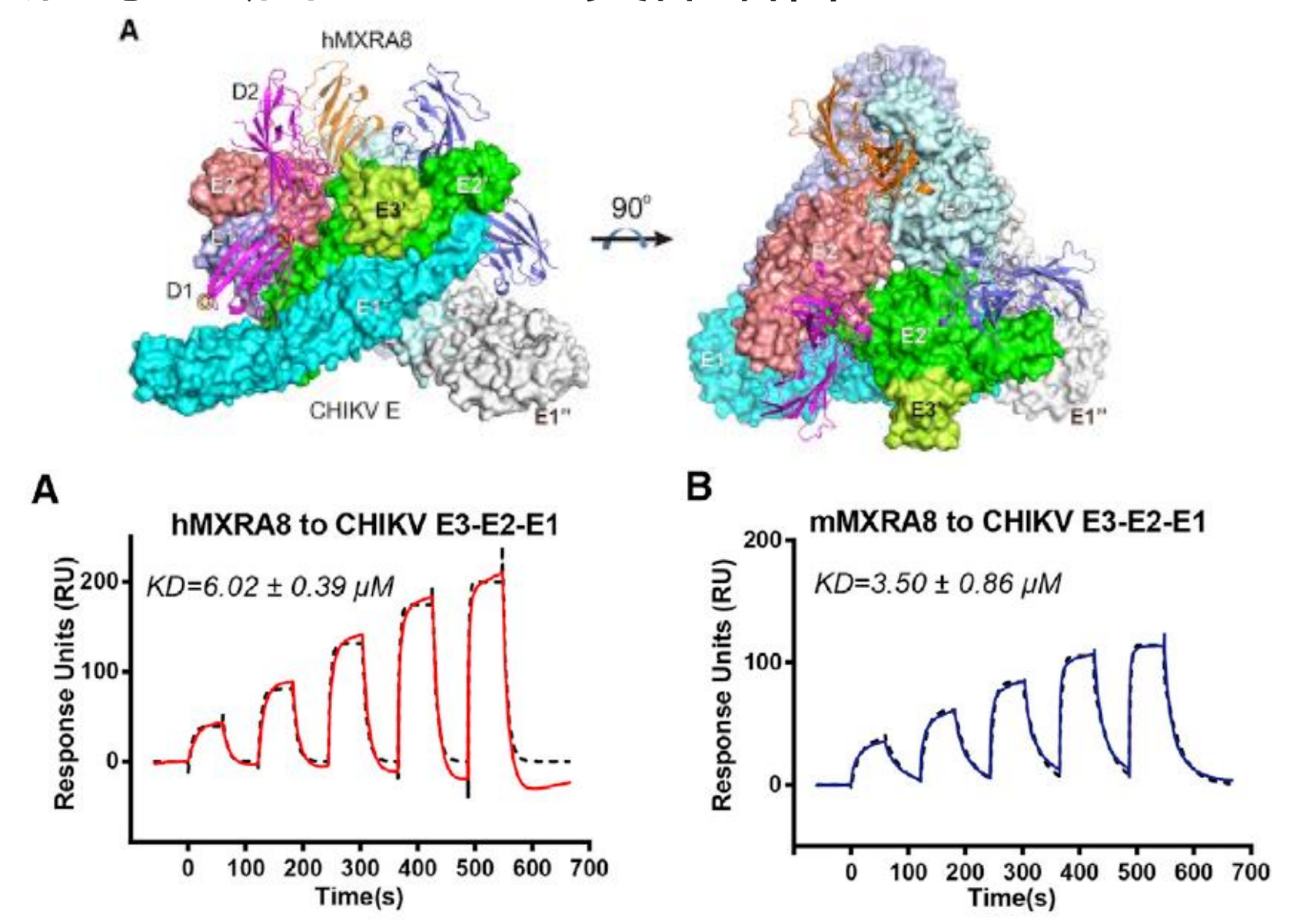


Cryo-EM Structure of Chikungunya Virus in Complex with the Mxra8 Receptor

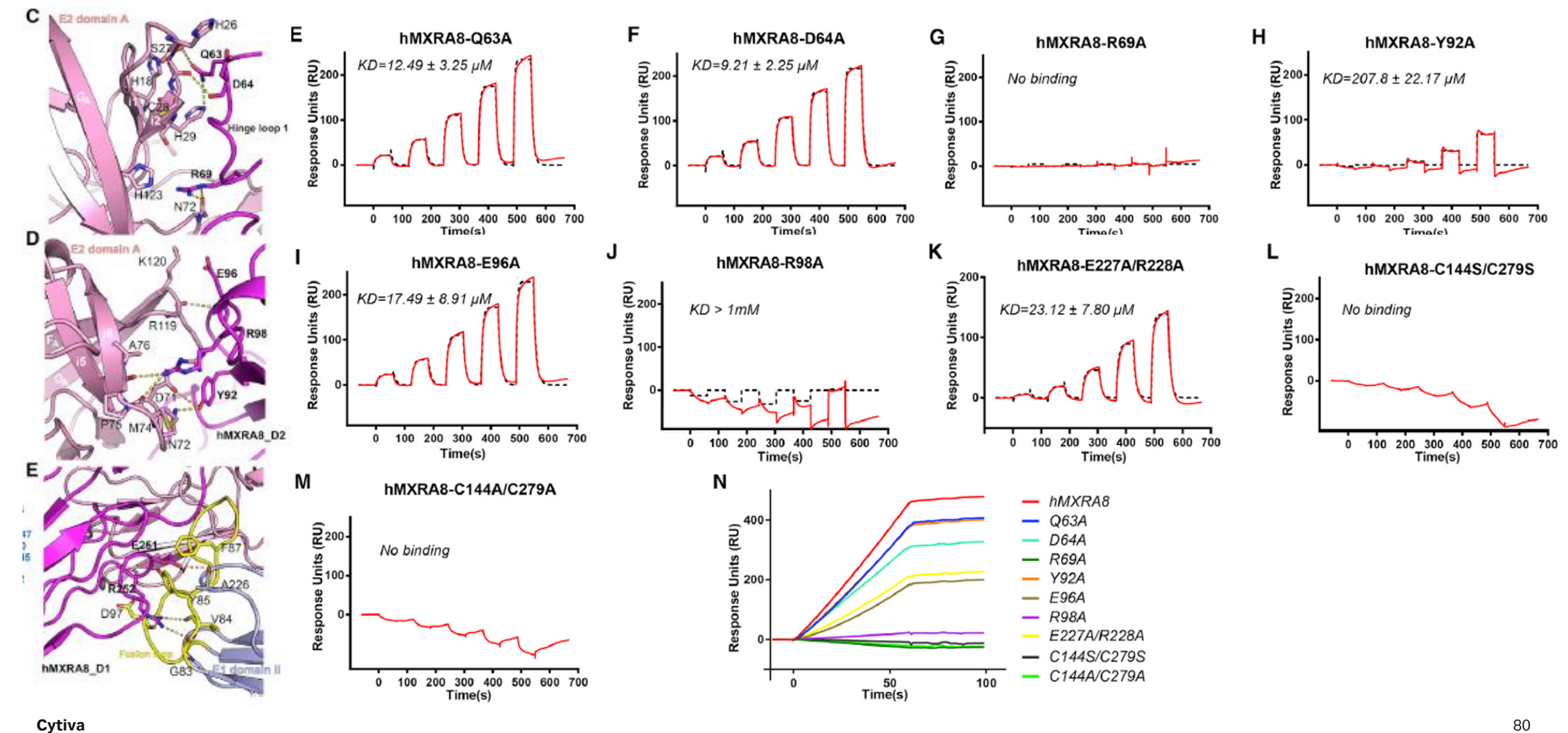
Katherine Basore, Arthur S. Kim, Christopher A. Nelson, Rong Zhang, Brittany K. Smith, Carla Uranga, Lo Vang, Ming Cheng, Michael L. Gross, Jonathan Smith, Michael S. Diamond, And Daved H. Fremont, Arthur S. Kim, Christopher A. Nelson, Rong Zhang, Brittany K. Smith, Carla Uranga, Lo Vang, Ming Cheng, Michael L. Gross, Jonathan Smith, Michael S. Diamond, Arthur S. Kim, Carla Uranga, Lo Vang, Katherine Basore, Arthur S. Kim, Carla Uranga, Lo Vang, Rong Zhang, Brittany K. Smith, Carla Uranga, Lo Vang, Ming Cheng, Michael L. Gross, Jonathan Smith, Michael S. Diamond, Arthur S. Kim, Carla Uranga, Lo Vang, Rong Zhang, Brittany K. Smith, Carla Uranga, Lo Vang, Ming Cheng, Ming

华盛顿大学医学院 Daved H. Fremont和 Michael S. Diamond团队

基孔肯雅病毒E蛋白与MXRA8受体结合



Biacore 验证MXRA8上与基孔肯雅病毒E蛋白结合的关键氨基酸





结果分析

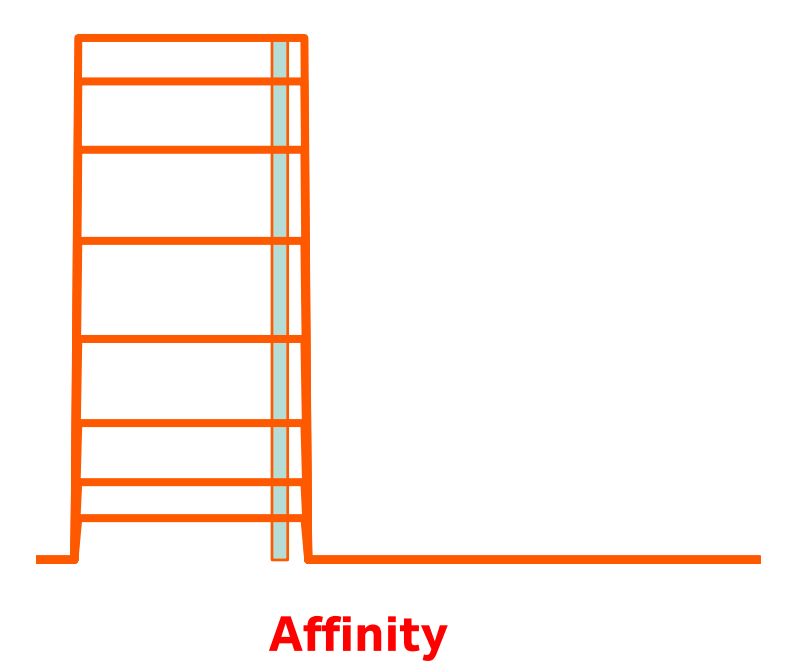
选用什么方法?



只用稳态分析

所有浓度均达到稳态;

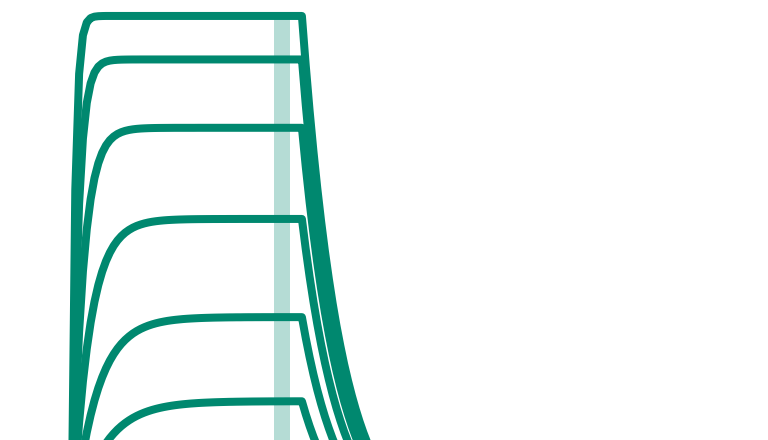
"快上快下"无动力学信息;



稳态+动力学

所有浓度均达到稳态;

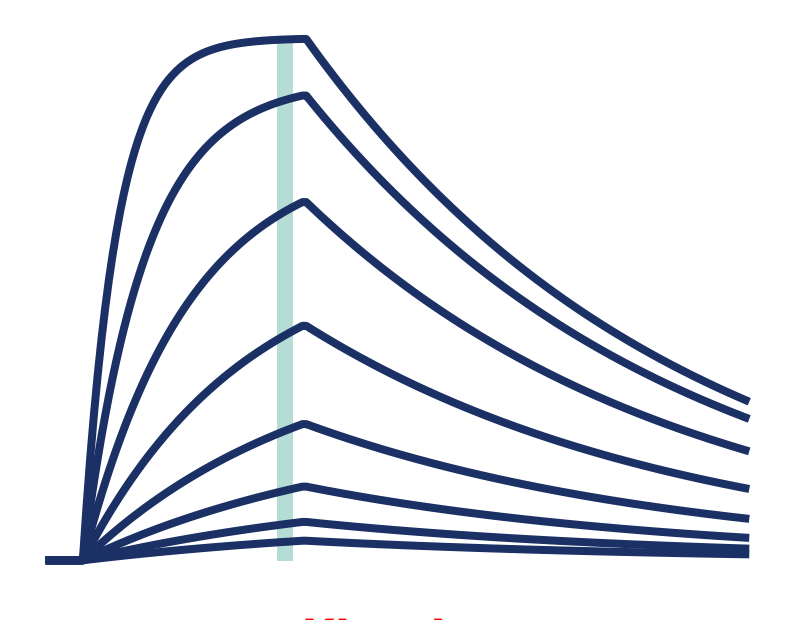
有结合和解离过程的动力学信息;



Both

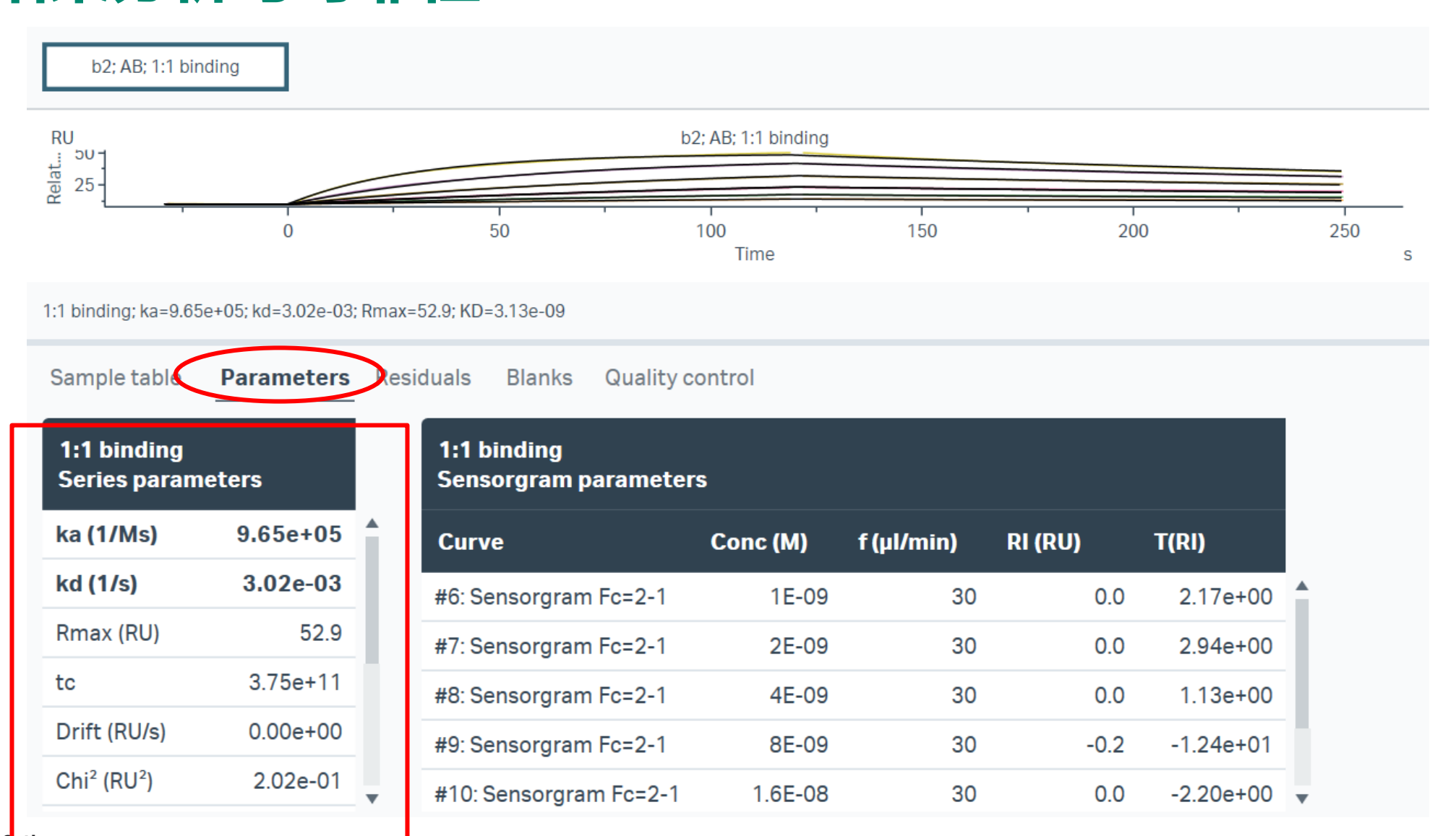
只用动力学

并非所有浓度都达到稳态



Kinetics

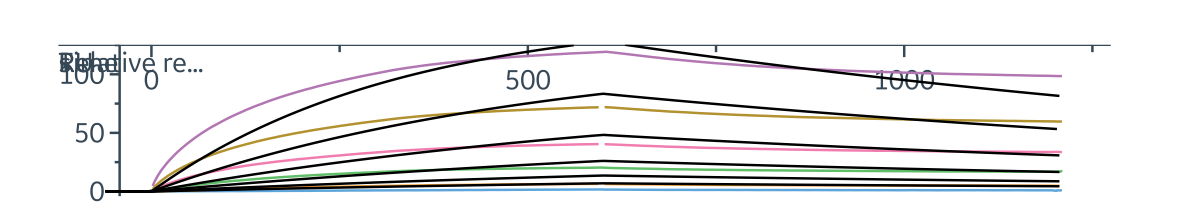


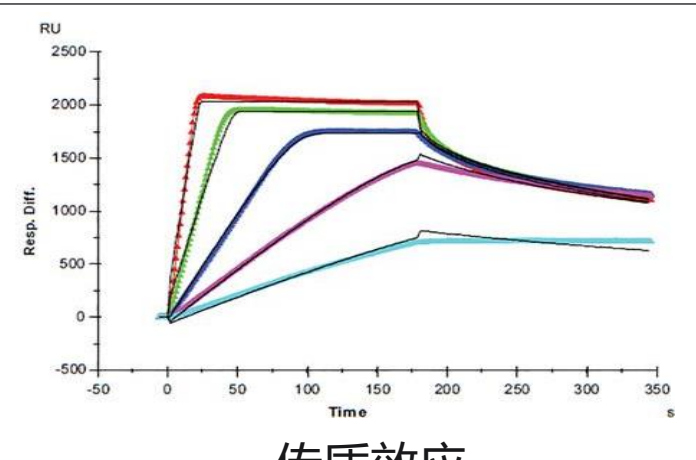


怎么样的统计学参数是好的参数?

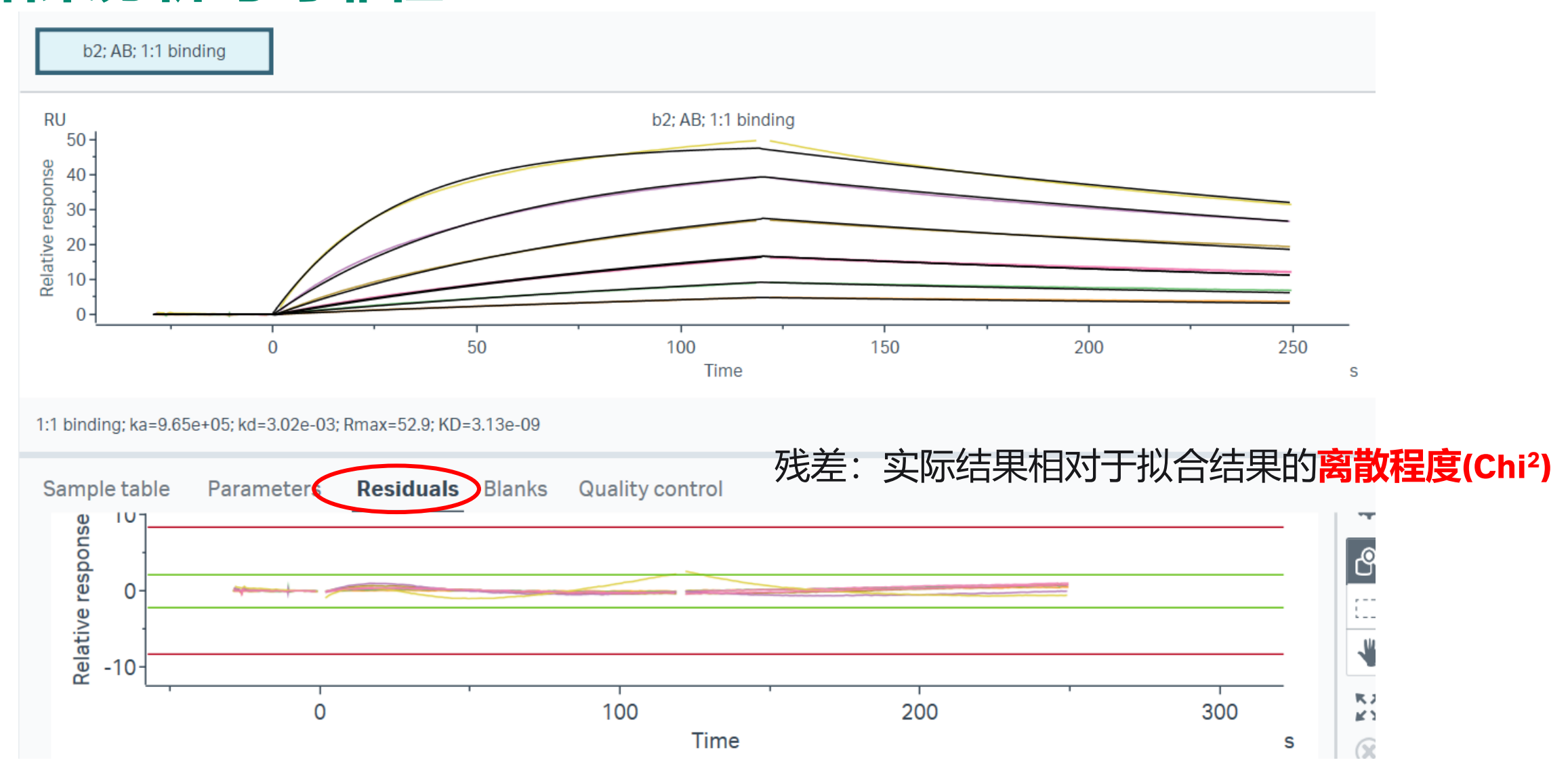


参数	可接受的数值范围
Chi ²	拟合曲线与实际曲线的贴合度, $Chi^2 < 1/10R_{max}$
Standard error(SE)	参数标准差, < 1% 说明了数据的高可信度
T-value	T-value = 拟合值 / SE, > 100 说明数据高可信度
U-value	评估数据的唯一性, < 15
t _c	物质迁移系数,范围在10 ⁶ – 10 ²⁰ , > 100倍 K _a 说明该数据不受物质迁移限制影响







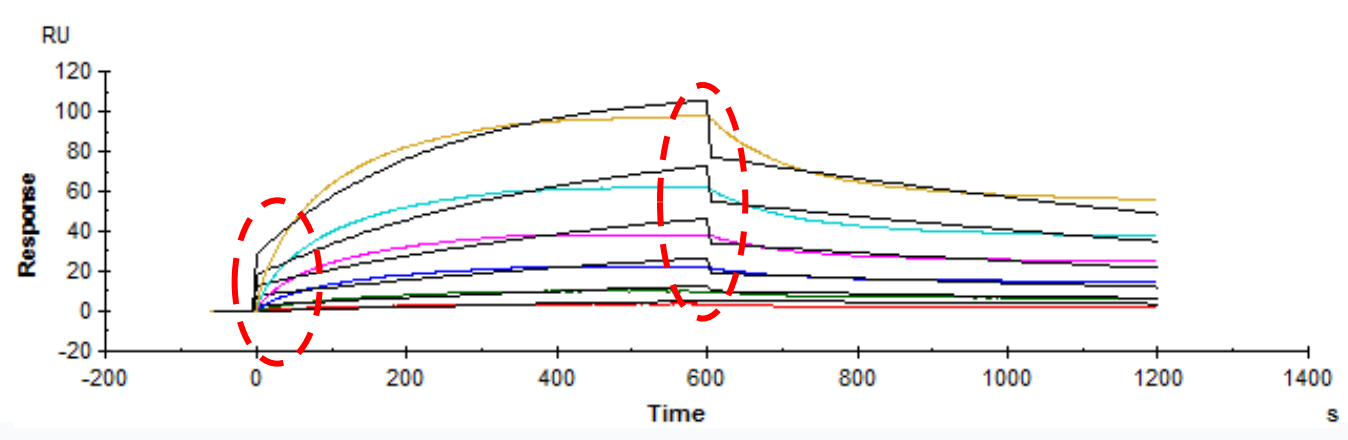








b2; AB; 1:1 binding



1:1 binding; ka=9.58e+05; kd=3.04e-03; Rmax=53.1; KD=3.17e-09

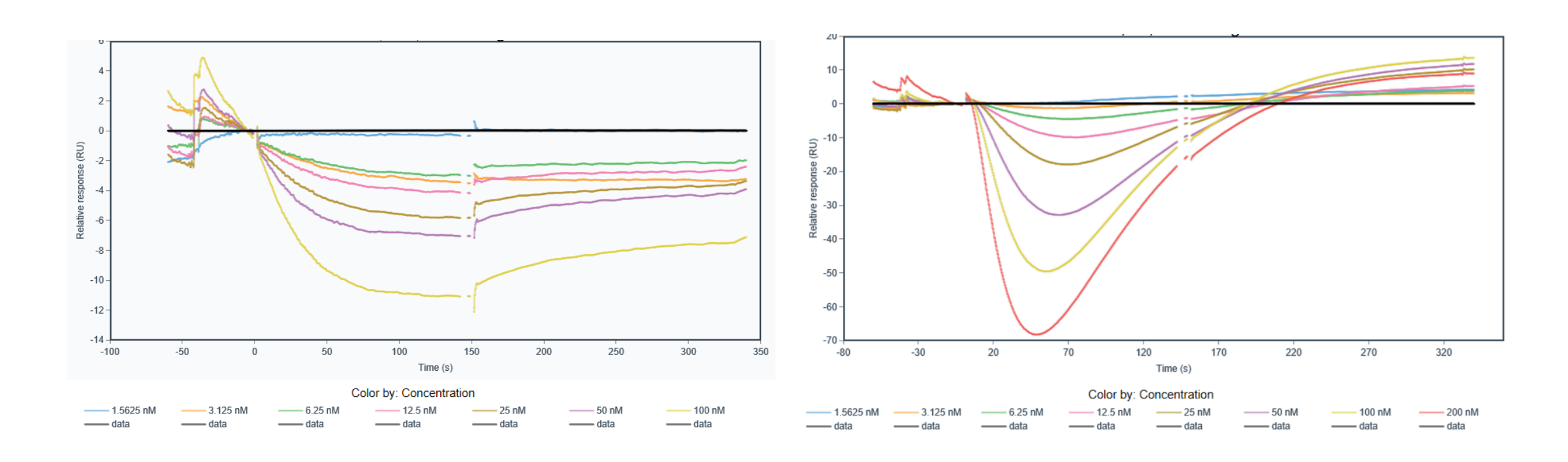
Sample table Parameters Residuals Blanks Quality control

- Kinetic constants are within instrument specifications.
- Kinetic constants appear to be uniquely determined.
- Bulk contributions (RI) were not evaluated. The RI parameter is set to constant.
- Check that sensorgrams have sufficient curvature.
- Examine the residual plot. Pay attention to systematic and non-random deviations.

检测范围K_a: 1e³-1e⁹, K_d: 1e⁻¹-1e⁻⁶ t_c, U-value, 降低分析物量或增加流速 样品缓冲液体系差异, RI fit local

拟合曲线负值





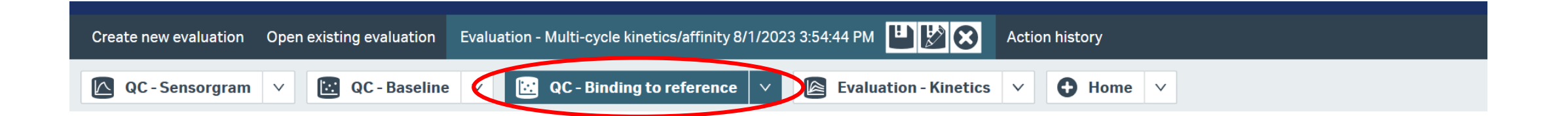
响应值**随着样品浓度的增加变的更负**,有浓度依赖性,证明**有结合**,这个结果可以<mark>翻转</mark>过来吗?

Really??

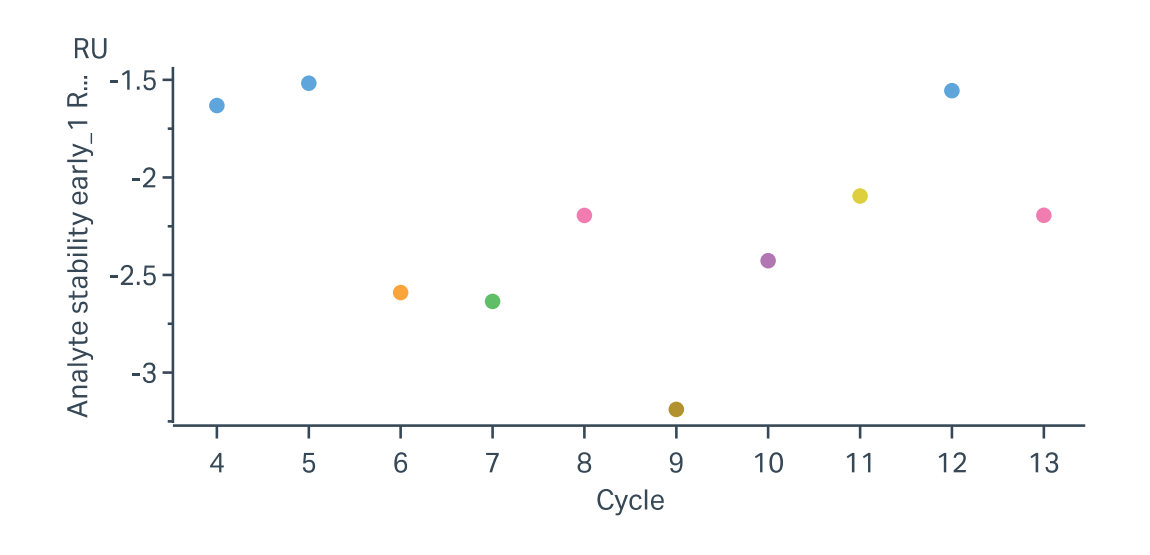
拟合曲线负值——非特异性吸附



89



Binding to reference



有非特异性吸附:

- Binding to reference > 20% Binding level
- 呈现浓度依赖
- · 参比通道上完样Stability不接近于0
- Fc 2-1再生回不到基线

拟合曲线负值——非特异性吸附



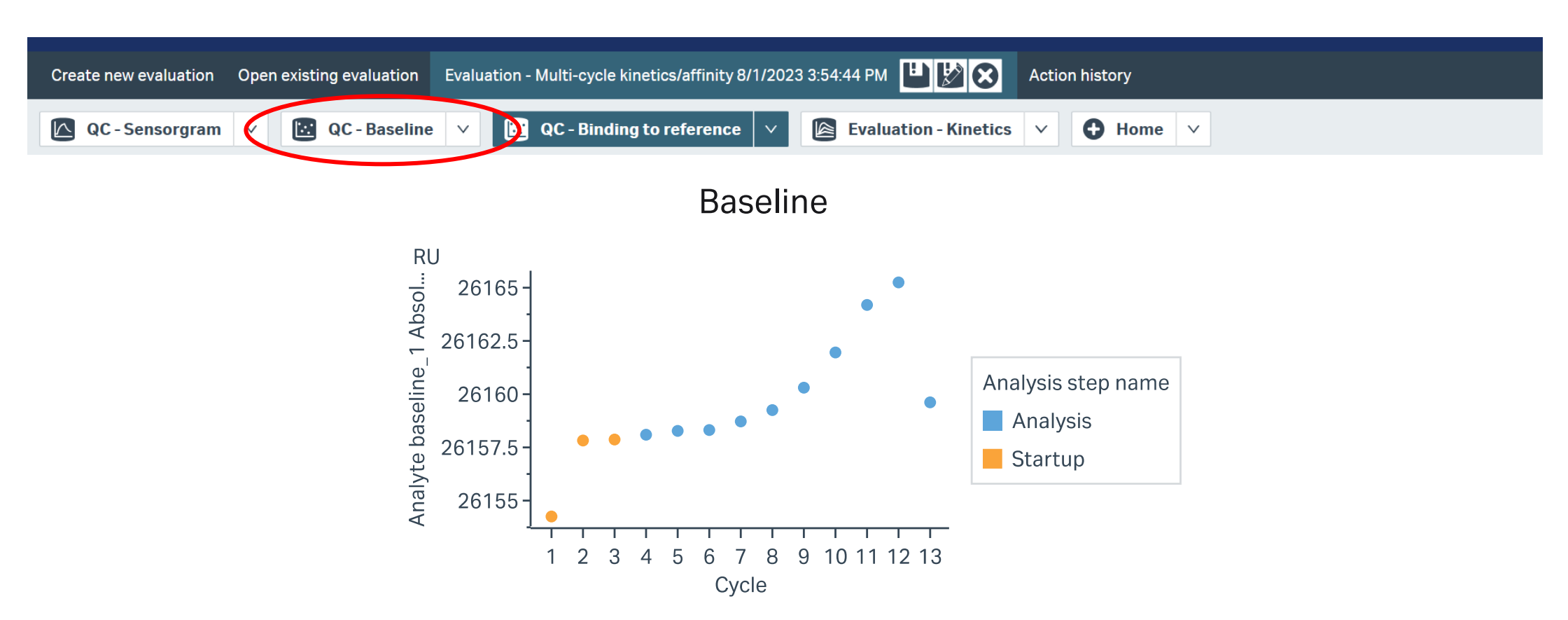
解决方案:

- 改变芯片表面或者分析物的性质
 - (1) 调换配体与分析物的位置
 - (2) 改变参比通道的处理方法: 不作任何处理/进行活化与封闭
 - (3) 提高分析物的纯度
- 改变缓冲液条件抑制吸附的发生
 - (1) 在原运行缓冲液中额外添加盐(至~300 mM甚至500 mM) ,更换buffer体系
 - (2) 添加表面活性剂 (0.05% P20)
- 调整分析物的浓度范围 将非特异性吸附的信号控制在相对不显著的范围之内进行实验

基线的稳定性



91

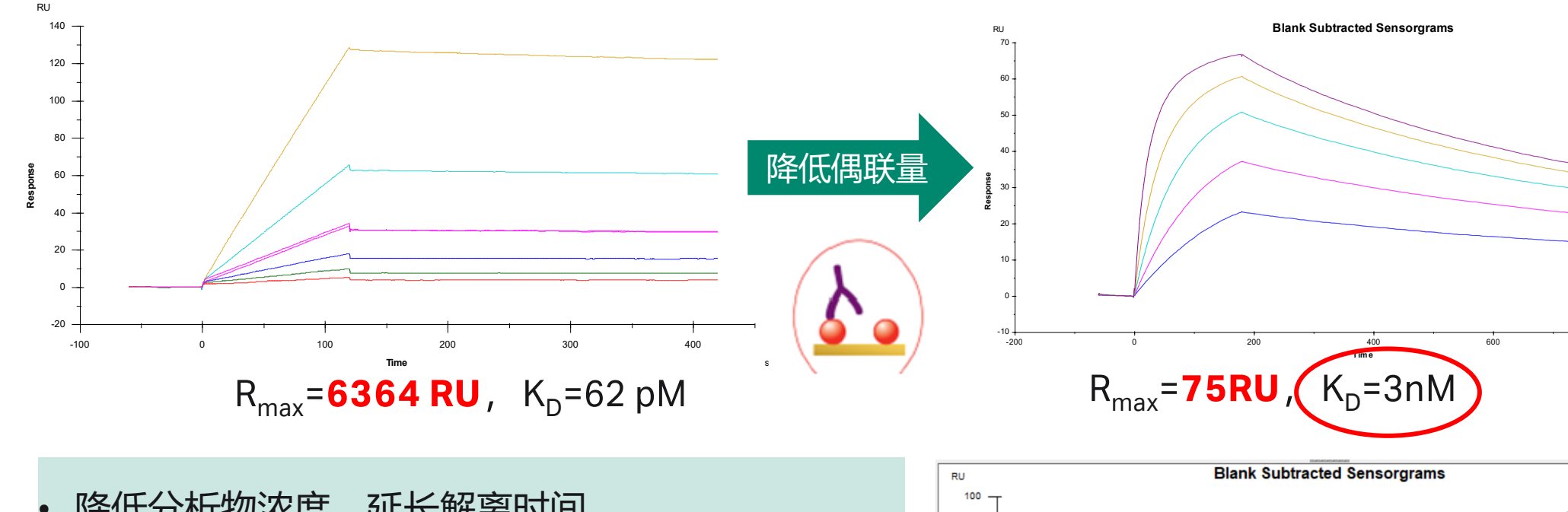


捕获水平差异/再生不好,Rmax: Fit Local, 调整再生条件

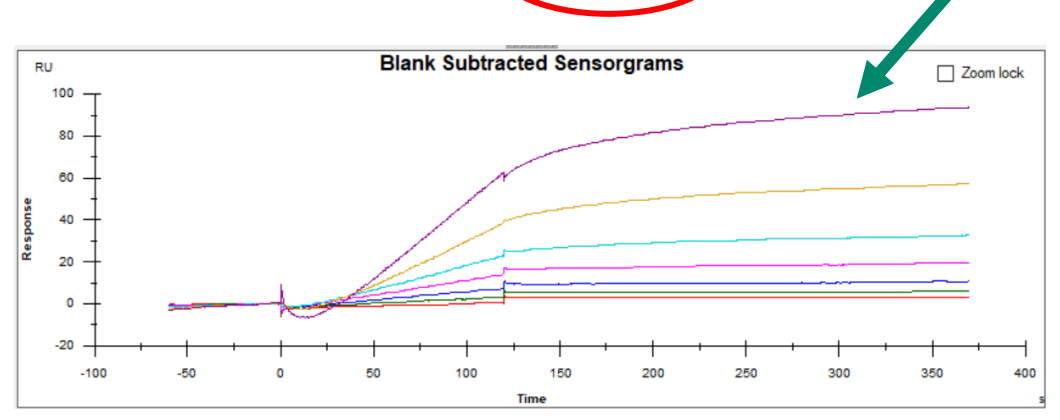
难解离互作



高亲和力互作K_D达到10⁻¹⁰~10⁻¹², Eg: 抗原—抗体、VLP—抗体、小分子共价结合……



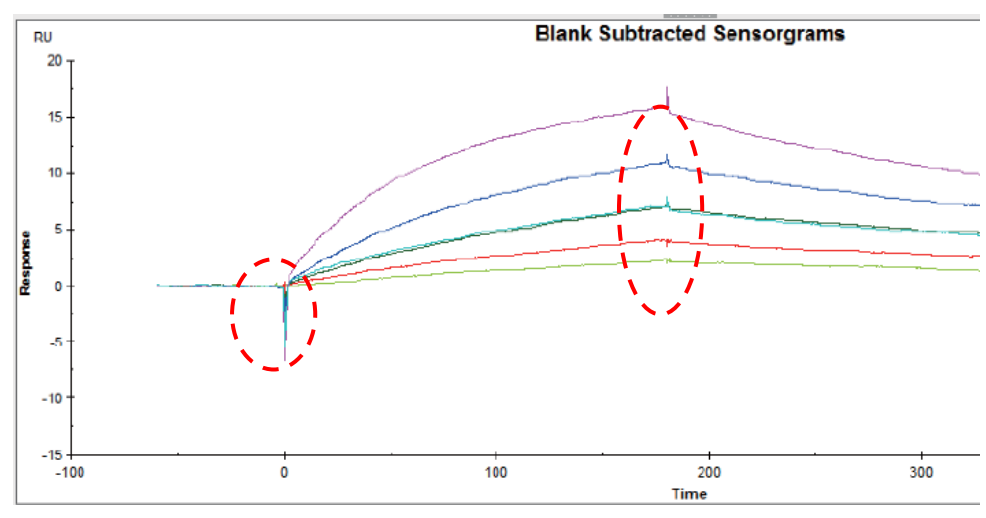
- 降低分析物浓度,延长解离时间
- 降低偶联量, Rmax < 30 RU
- 选择合适的再生条件(酸、碱、高盐、变性剂)
- 换单循环



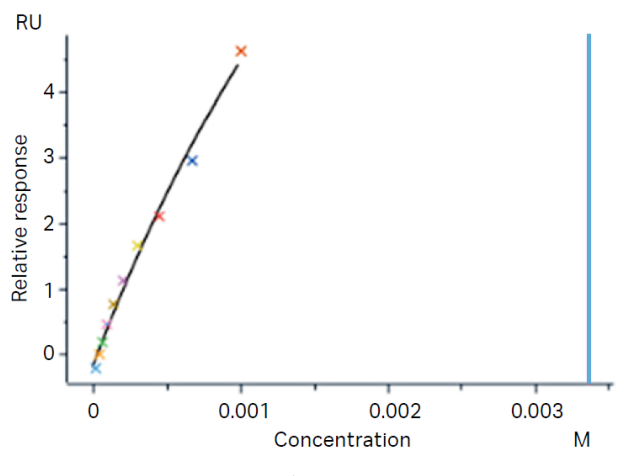
分析物解离速率 < 配体脱落速率

一些结果图

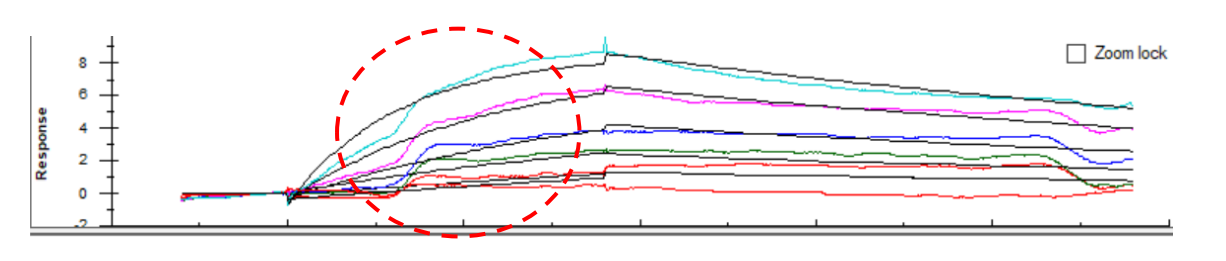




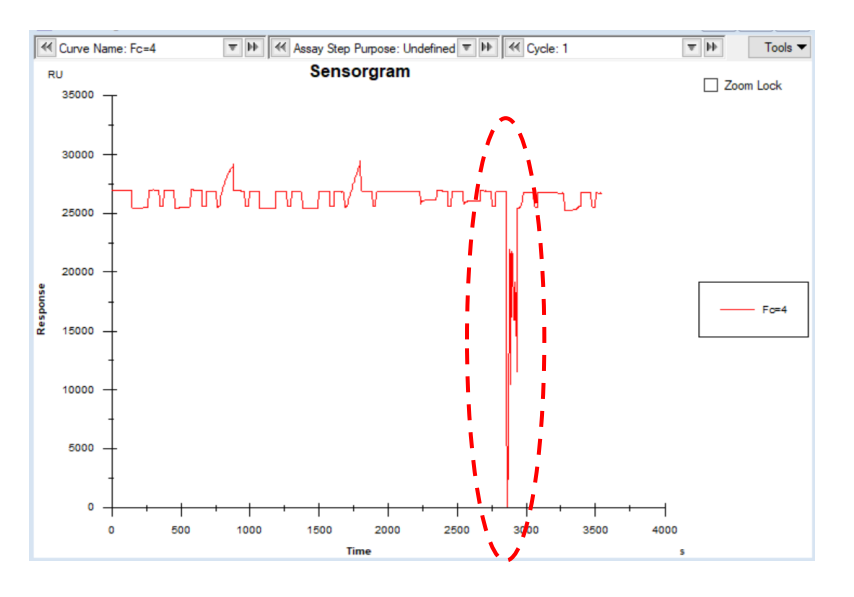
样品和运行缓冲体系差异大, Remove掉



浓度未饱和



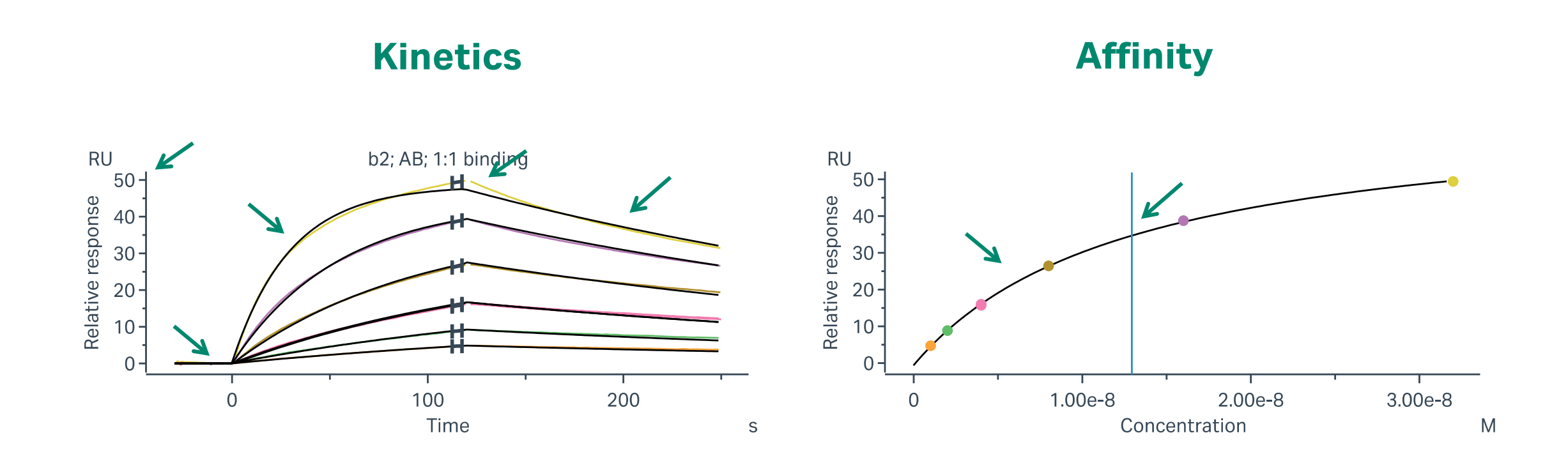
样品溶解度,有聚集



流路进空气, Prime



94



基线稳定、浓度设置合理(浓度依赖性)、有饱和趋势、无Bulk、有明显解离、拟合良好、各项参数合理

Biacore 学习资源

Biacore 微站





应用程序指南

easy biacore 操作视频

纸质档SOP

https://learning.cytivalifesciences.com.cn/biacore/

Biacore视频

Cytiva 95

实验方法下载



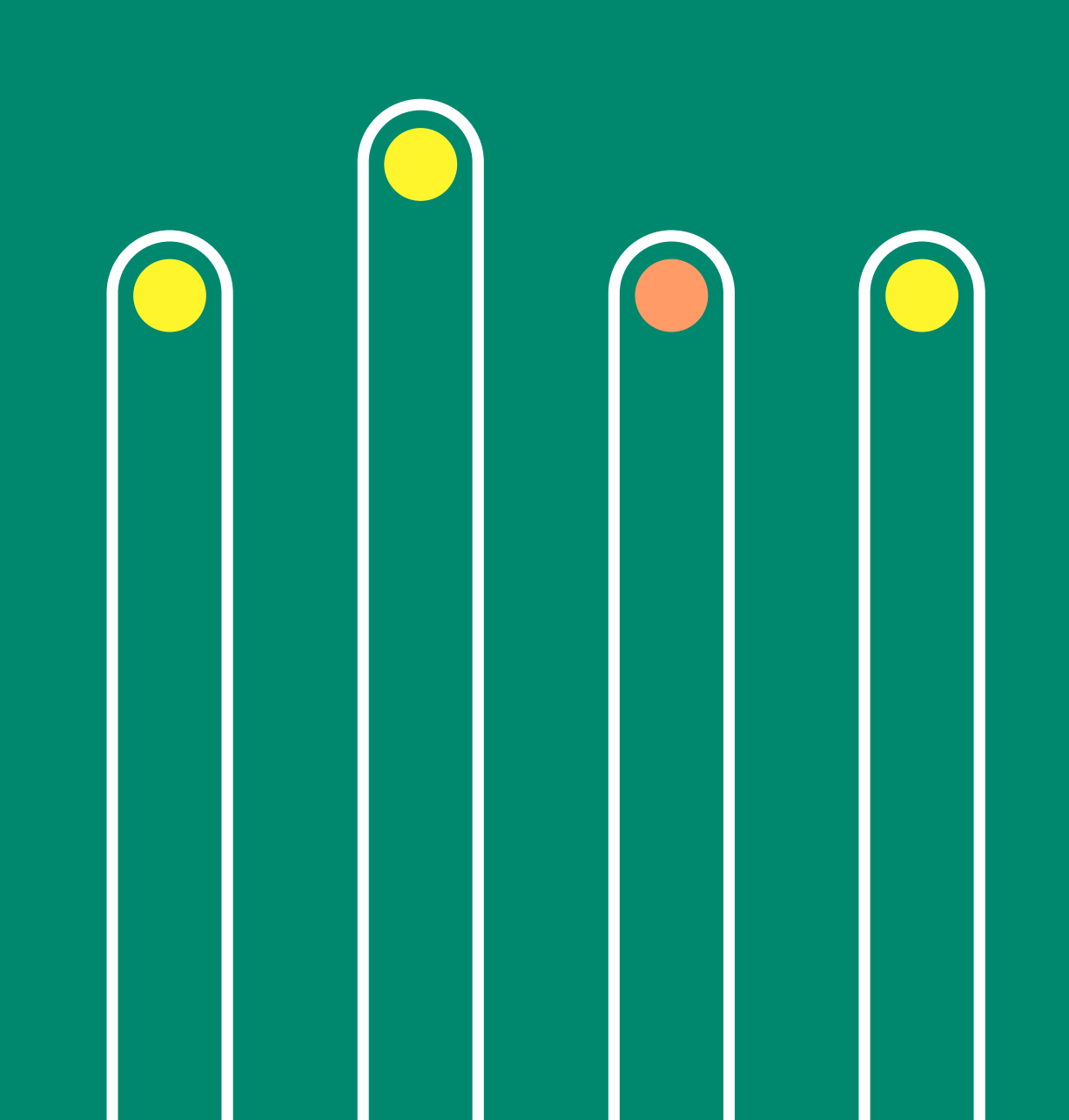
Biacore, For a better life





数据分析

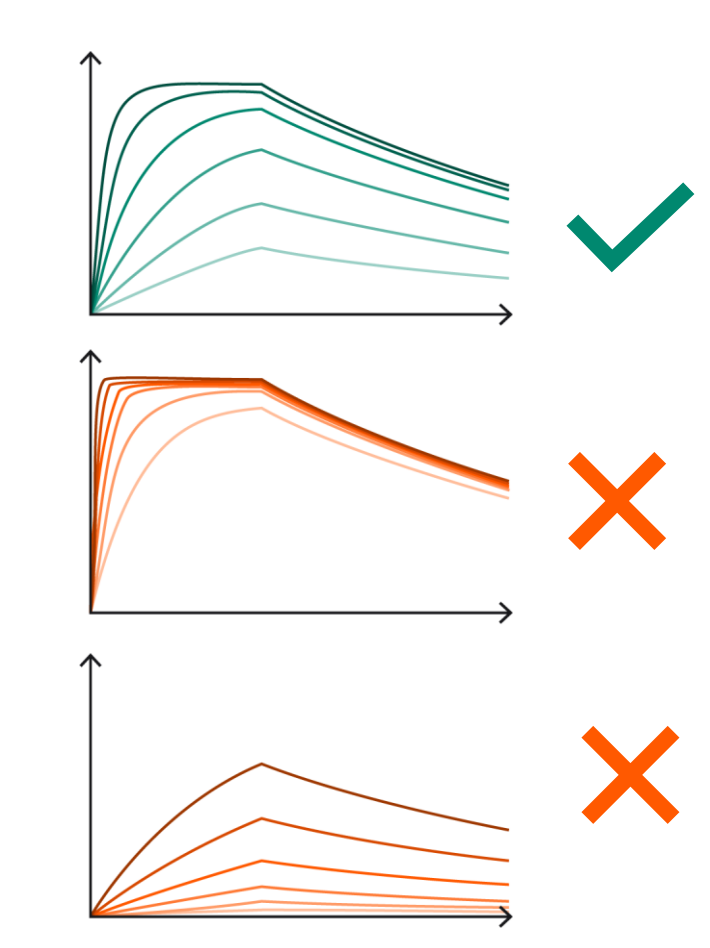
蛋白/CM5 芯片/动力学表征为例



重要的实验参数

分析物浓度范围

- 浓度应覆盖所有饱和度范围的结合曲线,如顶部传感器图所示,如图A
- 动力学分析,建议的浓度范围是0.1-10 × K_D
- 稳态法分析,建议的最大浓度值为2 × Kp
- 理想情况下, 最高浓度应该接近稳定状态的结合
- 至少5个浓度梯度
- 至少包括一个浓度梯度的重复
- 应该包括0浓度,作为空白对照



A)

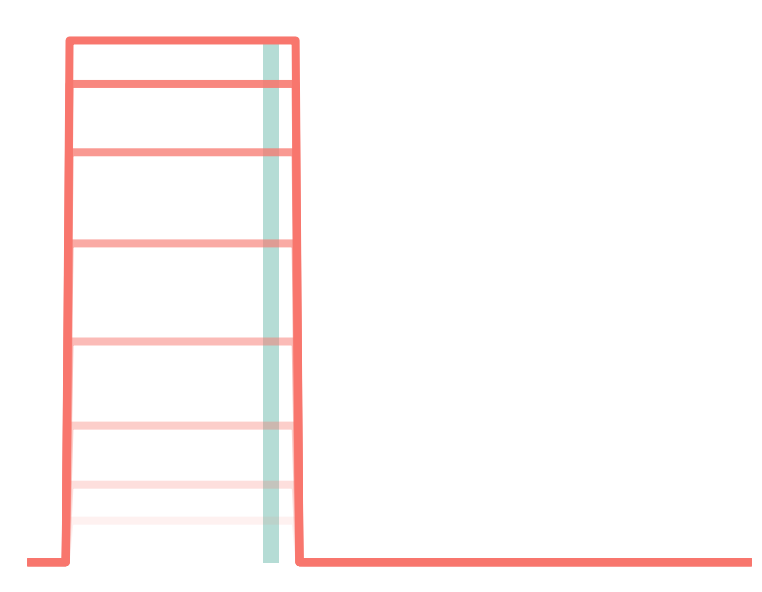
B)

亲和力、动力学分析

仅稳态

快速结合、无动力学信息;

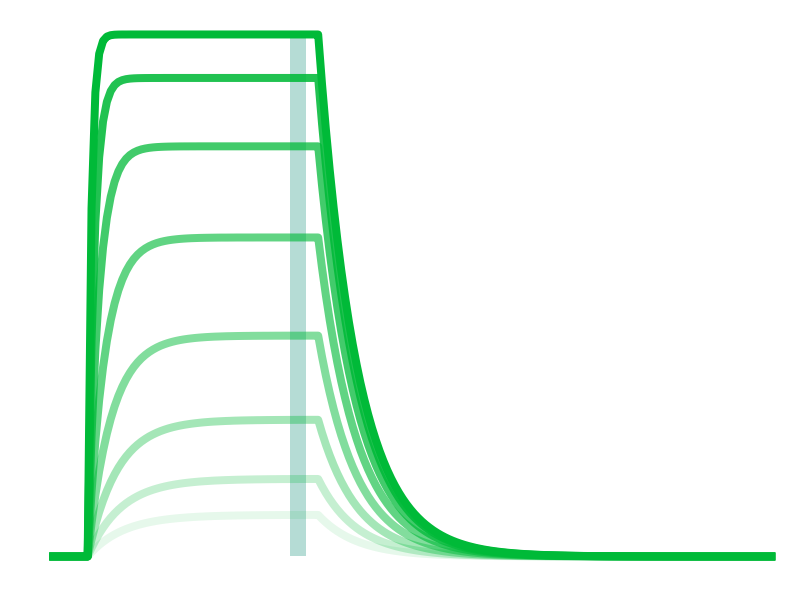
所有浓度均处于稳态;



稳态和动力学并存

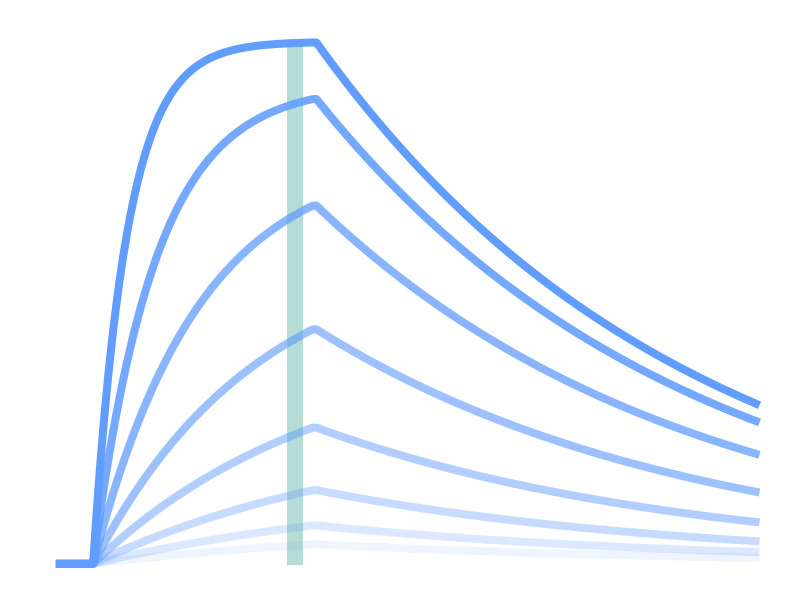
所有浓度均处于稳态;

具有动力学信息;



仅动力学

所有浓度均未达到稳态;



五步评估拟合结果

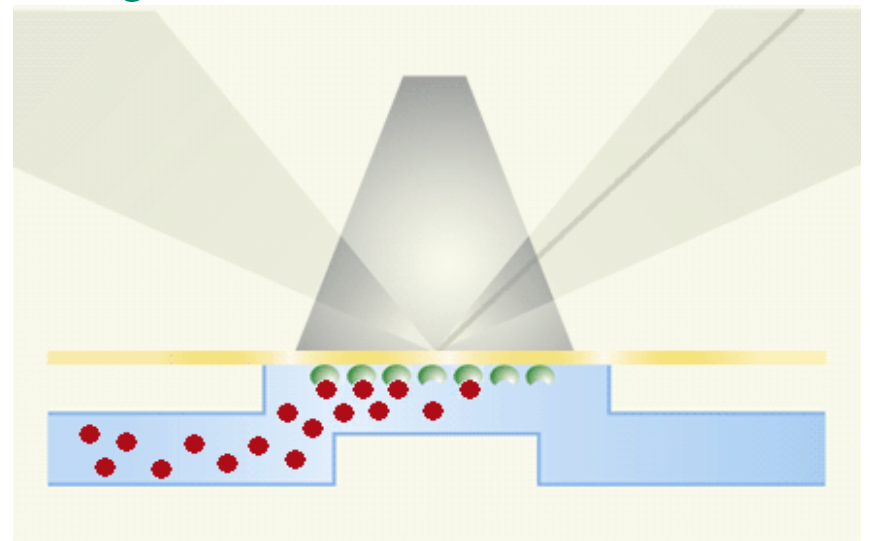
- 1. 特异性结合(针对实验通道而言)
- 2. 剂量依赖现象, 观察到相对应的结合信号
- 3. 拟合曲线与实验曲线吻合:Chi²、residual plot
- 4. 生物学和实验相关的拟合参数
- 5. 良好的统计参数: T-value、U-value、SE

= 对数据保持信心

什么是好的统计学参数?

参数	可接受的数值范围
Chi ²	与结合信号关联来进行评估。 对应信号值来看,Chi ² 值较低是较好的拟合结果
Standard error	参数标准差<1%说明了数据的高可信度
T-value	> 100 说明数据高可信度
U-value	< 15 = 不会被明显关联,数据可信 > 25 = 数据完全是互相关联的,数据不可信
t _c	如果t _c 值比k _a 高100倍,说明该数据不受物质迁移限制影响

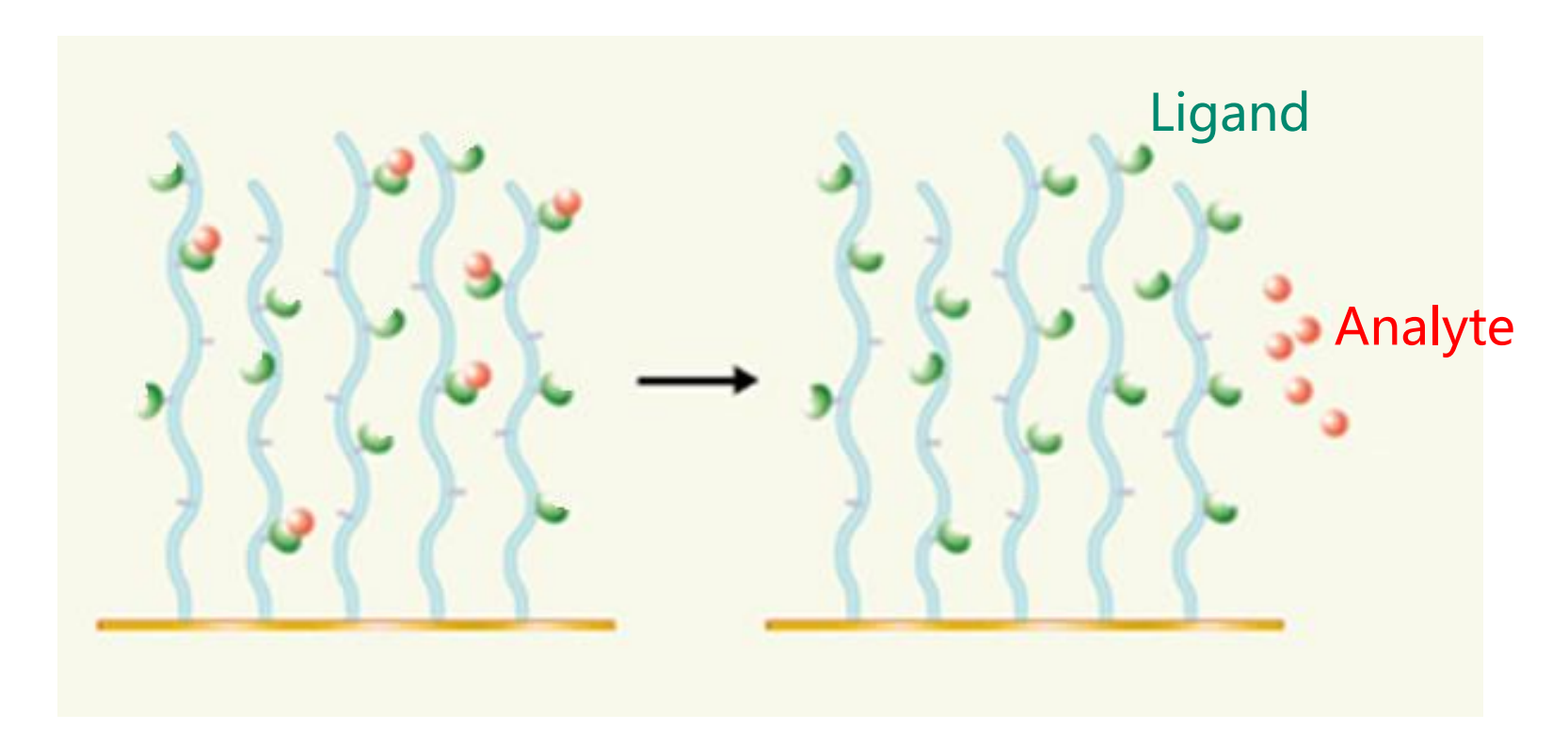
分析物检测 (Injection)



- 分析物 (Analyte)进样后,以恒定的流速和浓度流过芯片表面
- 样品中的待分析物与固定在芯片表面上的配体发生结合,芯片表面物质的质量 发生改变,仪器记录下对应的响应值 (response) 的改变
- 进样结束后,切换缓冲液流过芯片表面,分析物由配体上**自发**解离解离的进程 由响应值实时监控

再生条件的选择

- 将与配体结合的残留的分析物分子从芯片表面彻底除去
- 必须保持芯片上配体分子的活性
- 有效的再生对获得高质量的分析数据至关重要!

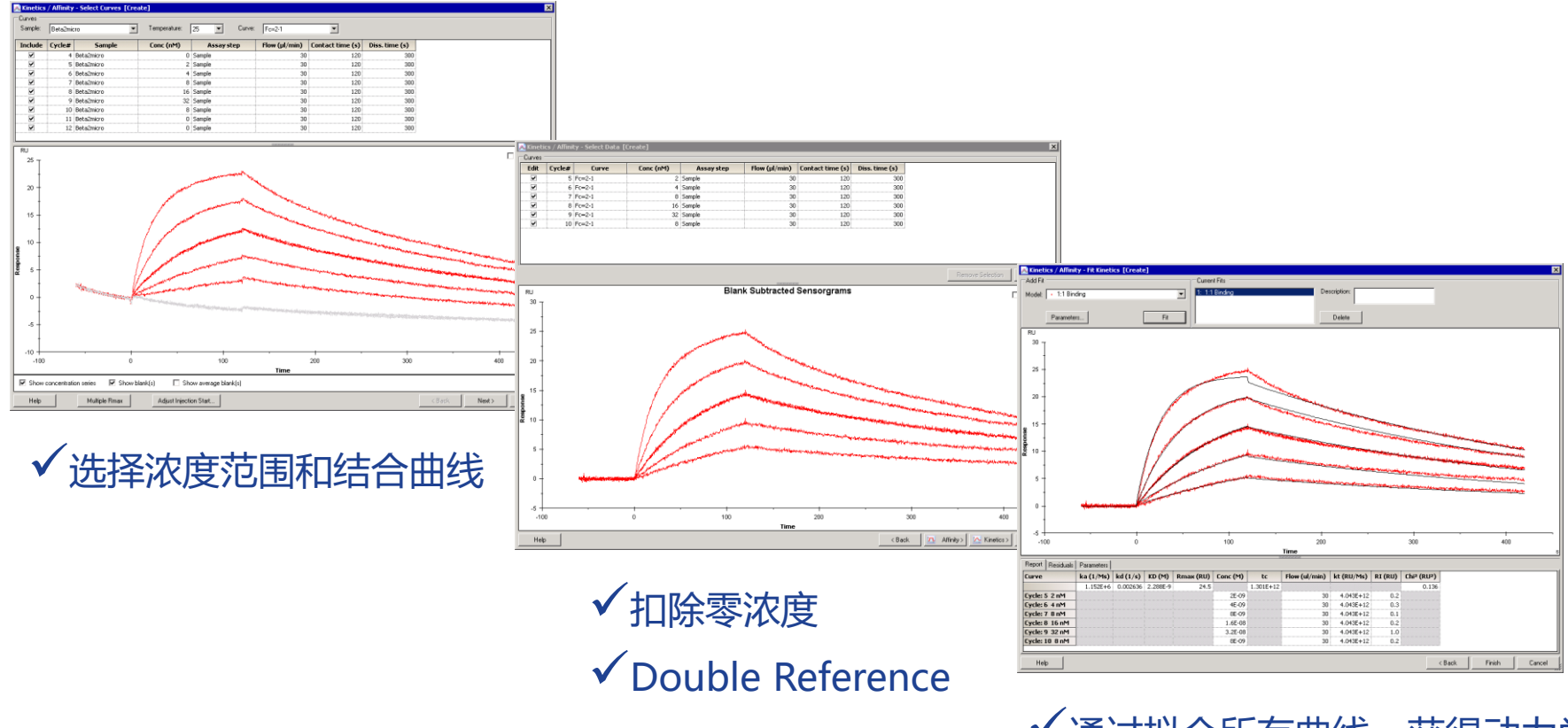




实验设计和程序化进样

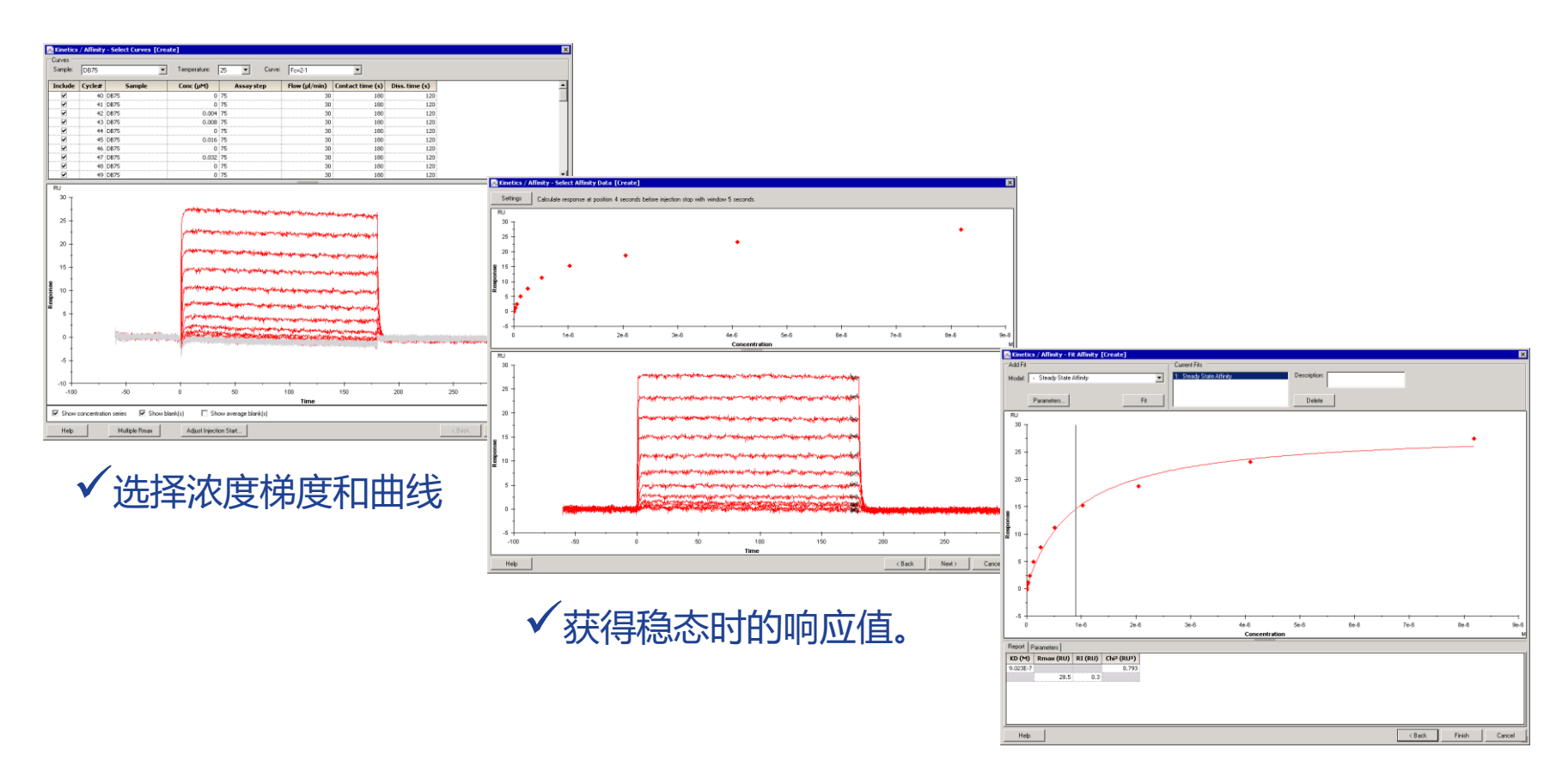
-----以抗体-抗原/CM5芯片/亲和力动力学为例

动力学分析的数据拟合



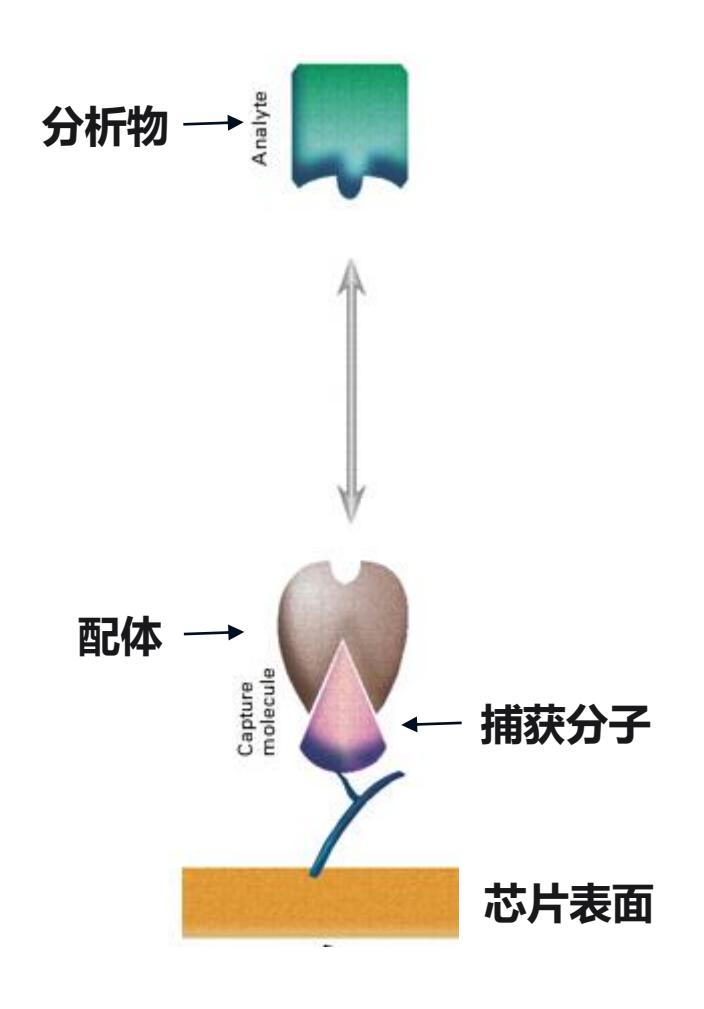
✓ 通过拟合所有曲线,获得动力学 ka, kd和亲和力 K_D 。 K_D = kd/ ka。

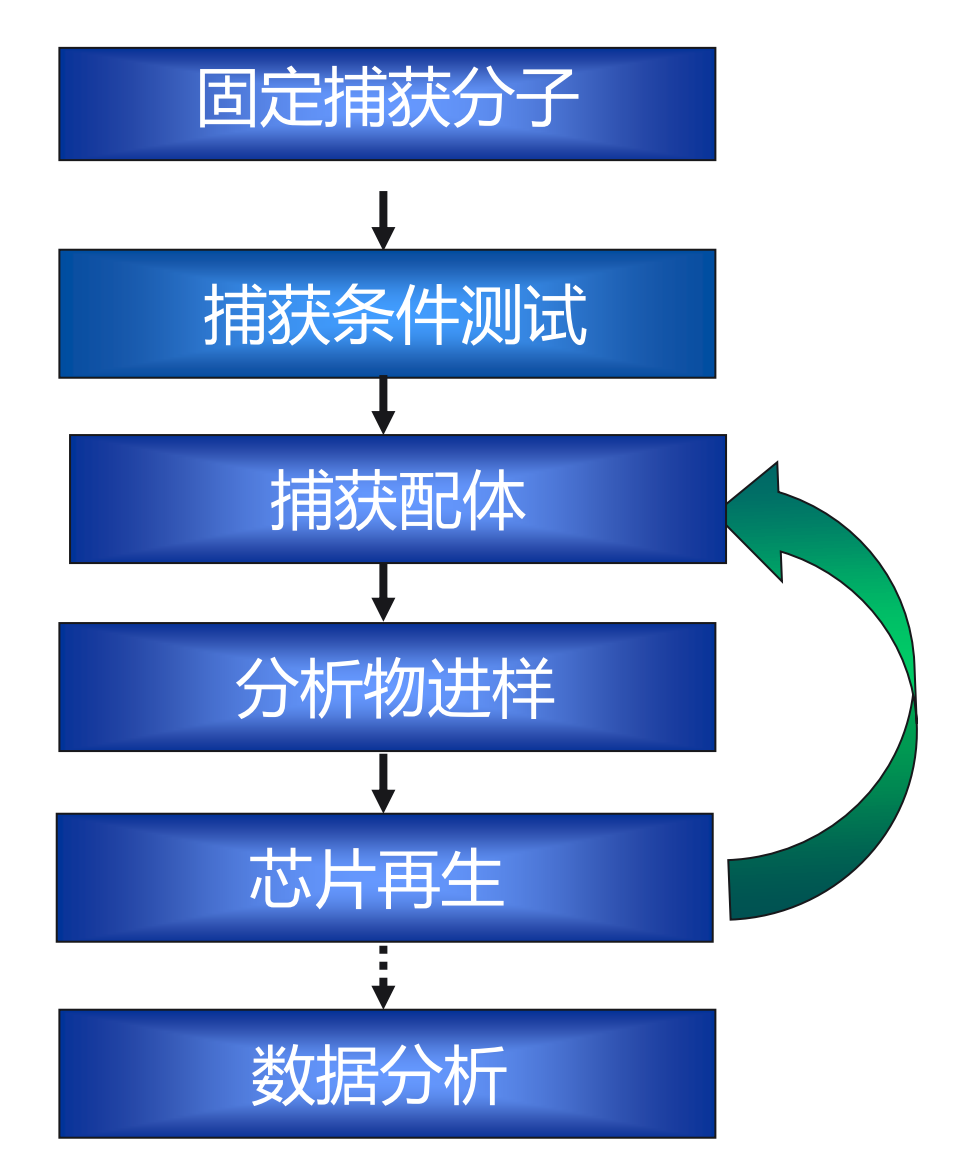
稳态分析的数据拟合



✓以浓度为X坐标,稳态响应值为Y值,通过拟合"饱和曲线"获得亲和力 K_D 。

Biacore捕获方法的基本流程





Biacore 捕获方法的解决方案

捕获芯片

• Protein A/G/L 所有哺乳类动物抗体

• **CAP 芯片** 生物素标记的分子

NTA 芯片 His标签融合蛋白

捕获试剂盒——共价偶联芯片改造为捕获芯片

• **GST 捕获试剂盒** 制备捕获GST标签融合蛋白的芯片

• His 捕获试剂盒 制备捕获His标签融合蛋白的芯片

· 鼠抗 捕获试剂盒: 制备捕获鼠源抗体IgG、IgA和IgM的芯片

· 人抗 捕获试剂盒 制备捕获人源抗体IgG-Fc的芯片

• **人Fab 捕获试剂盒** 制备捕获人抗Fab片段的芯片

确定捕获量

- 为了获得更接近真实的动力学参数,需要将偶联水平控制在较低水平
- 配体偶联水平的计算

$$\mathbf{R}_{max} = \frac{analyte\ MW}{ligand\ MW} \times \mathbf{R}_{L} \times \mathbf{S}_{m}$$

- R_L = 配体偶联水平, 实际偶联量=1.5 R_L
- R_{max} 描述了芯片表面的最大结合容量,对于动力学 R_{max}≤100 RU
- S_m = 化学计量比 (Analyte:Ligand, 未知时选择S_m=1)

芯片再生

优化的再生条件

捕获类型	再生条件
His捕获	Glycine-HCI, 10mM, pH 1.5 Flow rate-5~30µl/min; Contact time-60s
GST捕获	Glycine-HCl pH 2.0 Contact time-60s
鼠抗捕获	Glycine-HCI, 10mM, pH 1.7 Flow rate-20µI/min; Contact time-180s
人抗捕获	3 M MgCl2 Flow rate-20µl/min; Contact time-30s
NTA芯片	350 mM EDTA Flow rate-30µl/min; Contact time-60s
Biotin CAP芯片	6 M guanidine-HCl, 250 mM NaOH Flow rate-5~30 μL/min; Contact time-30s

课程小结

配体偶联

- 最适pH的选择 (预富集)
- 偶联水平的确定

进样测试

- 参比通道的设置
- 结合和解离时间,预估K_D

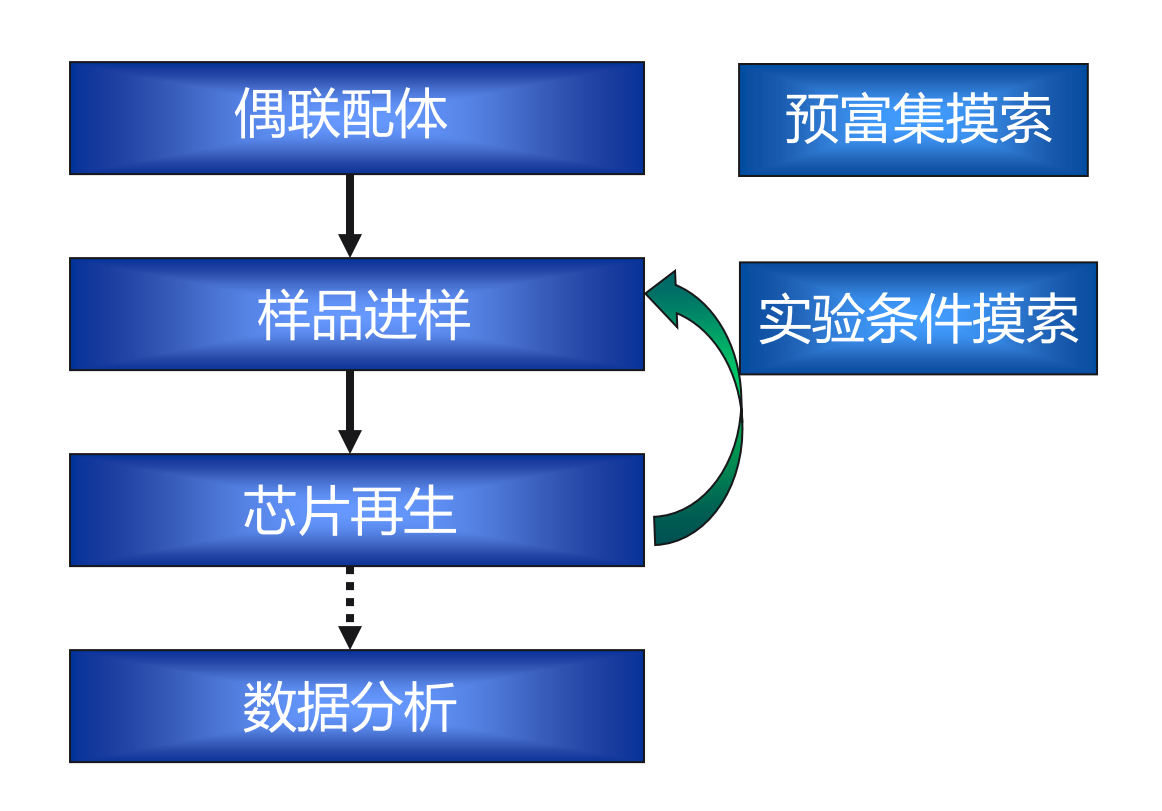
再生条件的选择 (重要)

• 彻底洗净、保持活性

实验设计

- 动力学
- 稳态分析

捕获法





-----以蛋白-小分子/CM5芯片/动力学为例

小分子特点

分子量小 (<1000 Da)

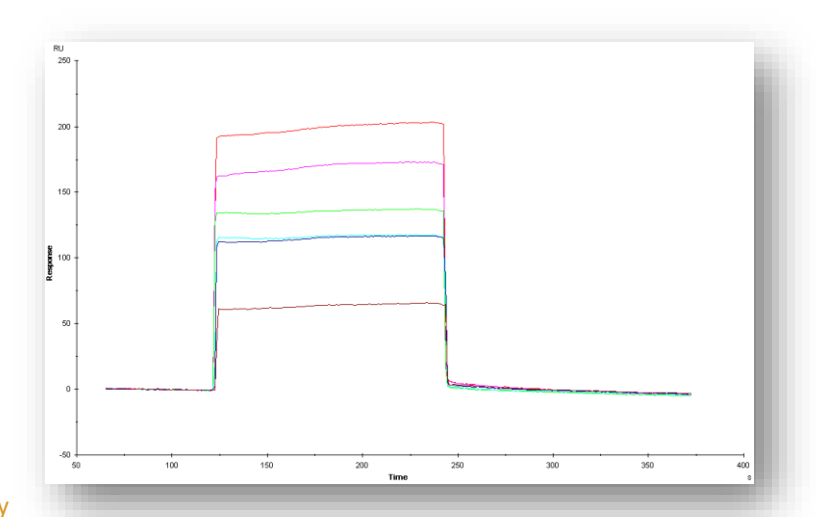
- 响应值极低
- 理论Rmax值极低
- 需要更高的偶联水平
- 需要高灵敏度的检测设备和 技术

结合能力弱 亲和力为μM~mM

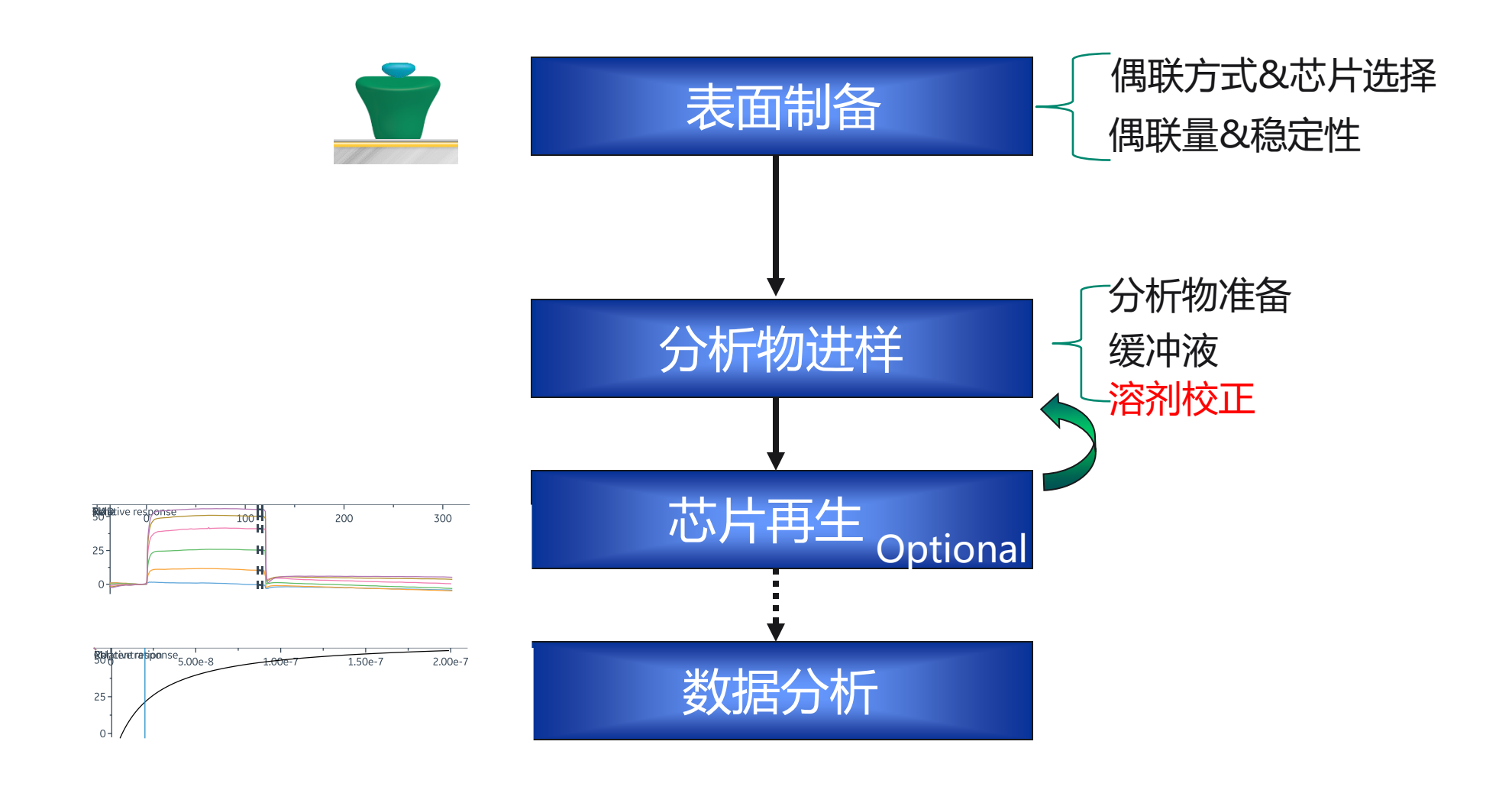
- 传感图大多数呈典型"快上快下"
- 筛选时在进样初期测定,能更真实反映结合特点

水溶液中的溶解性低

- 容易沉淀析出、聚集,需要 有机溶剂助溶 (如DMSO)
- 非特异黏附,易引入假阳性
- 超化学计量比结合: 多位点结合, 难以达到饱和



Biacore实验的基本流程



表面制备

考虑因素

• 通常是把大分子作为配体,小分子作为分析物,需要芯片表面有更高的配体偶联量 (~10000 RU)

$$\frac{R_{\text{max}}}{R_{\text{L}}} = \frac{MW_{\text{A}}}{MW_{\text{L}}} \times S_{\text{m}}$$

R_{max}: 芯片表面的最大结合容量; 假设为100RU

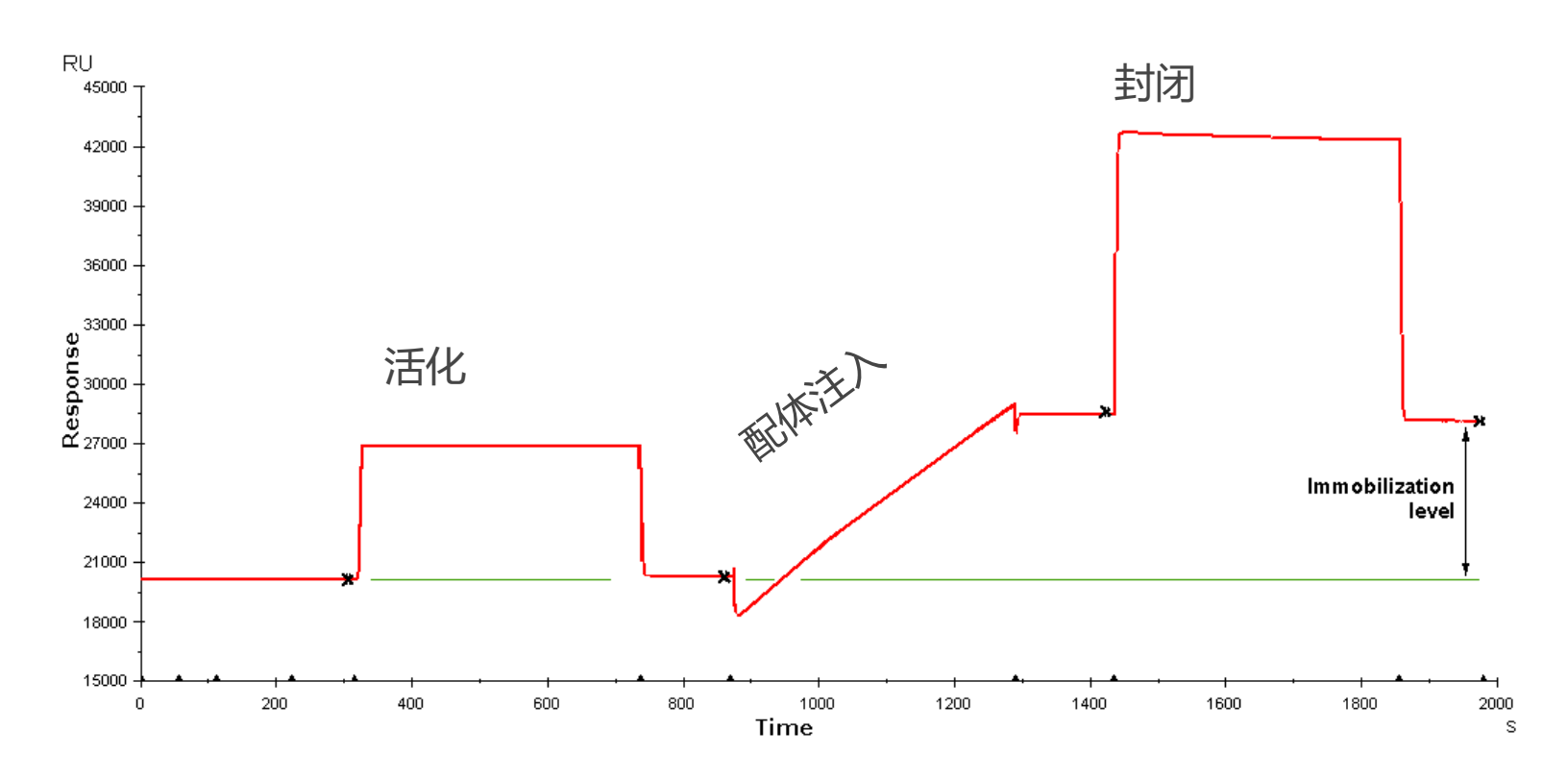
S_m: 化学计量比 (分析物:配体);默认为1

Ligand/Protein: 150 KD; Analyte/Compound: 0.9 KD

R_L ≈ 17000 RU, 实际偶联量需要更高

- 获得高偶联水平的方法
 - 提高配体浓度 (>100 ug/ml)
 - 增加配体的进样时间 (~10分钟)
 - 延长活化时间 (~10分钟)
 - 优化偶联缓冲液 (降低pH, 增强配体富集作用)
 - 选用CM7芯片

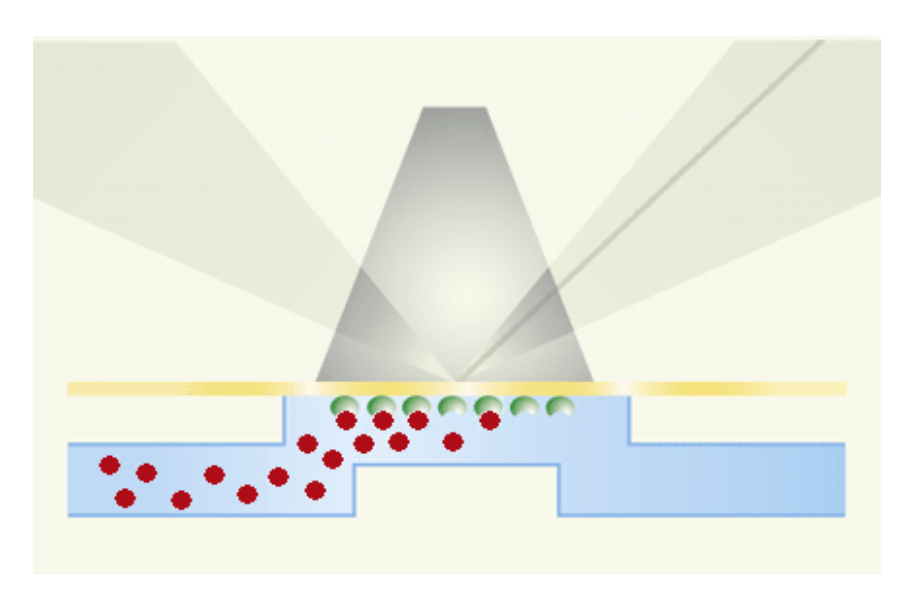
氨基偶联



- Activation 活化 = EDC/NHS 注入, 表面酯化
- Ligand contact 配体注入 = 与配体的氨基发生反应
- Blocking 封闭 = 用乙醇胺封闭芯片上多余的有活性的羧基

小分子

- 小分子的溶解度低
 - 容易沉淀
 - 出现聚集
- 保存在有机溶剂中
 - 有机溶剂起到助溶作用,如二甲基亚砜 (DMSO)



DMSO的特点

- 高折光率 (1200 RU for 1% DMSO)
 - -溶液配制时要求浓度准确,保证每个样品以及Running Buffer的DMSO浓度相同
- DMSO 品质的多样
 - -使用高质量、高纯度的DMSO
 - -缓冲试剂和样品的准备使用同一批次的DMSO
- DMSO 具有吸水性
 - -切勿长时间敞开瓶口
 - -加样完成后尽快封膜、加盖

分析物制备——小分子

- 样品稀释前后,应置于室温,检查样品是否有沉淀现象(或离心后观察)
- 逐步稀释储液,可减少样品沉淀的可能
- 尽量确保样品与缓冲液的DMSO浓度一致
- 确定样品中没有气泡, 充分混匀

缓冲液

推荐:

磷酸盐缓冲液 (PBS-P)

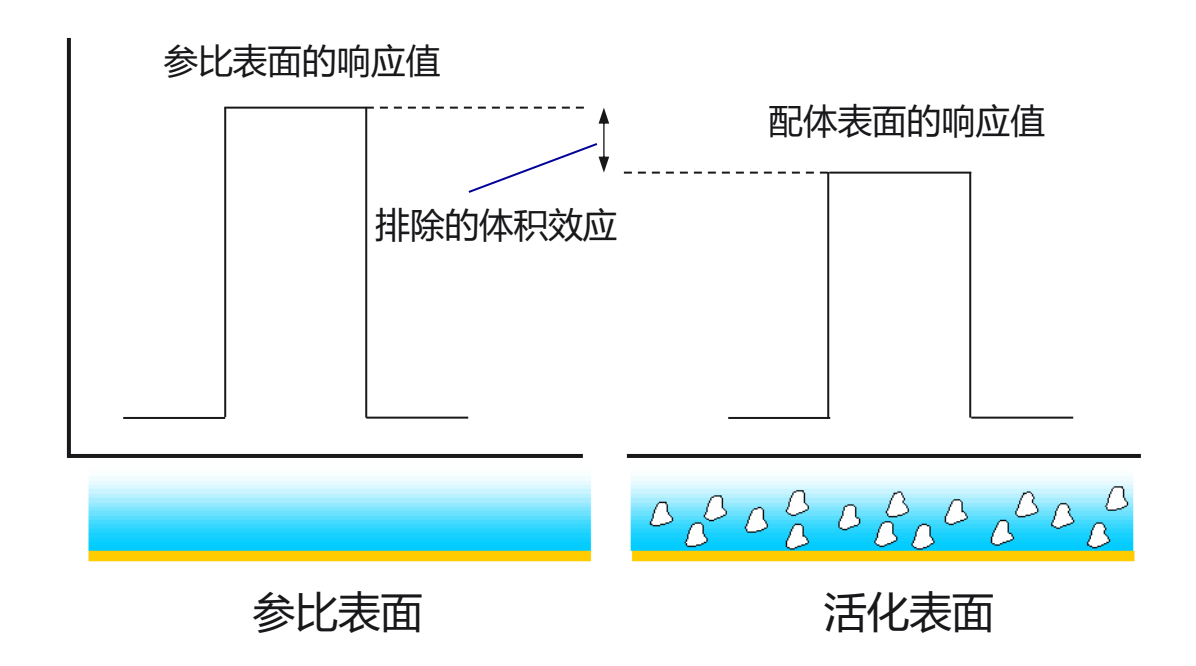
10-50 mM 磷酸盐, 150 mM NaCl, pH 7.4, 0.05 % P20

- 提高离子浓度或表面活性剂浓度,减少非特异吸附
- 可添加DMSO助溶 (1-10%) , 但需与样品溶液一致
- 0.22 μm 滤膜过滤,过滤后再加DMSO

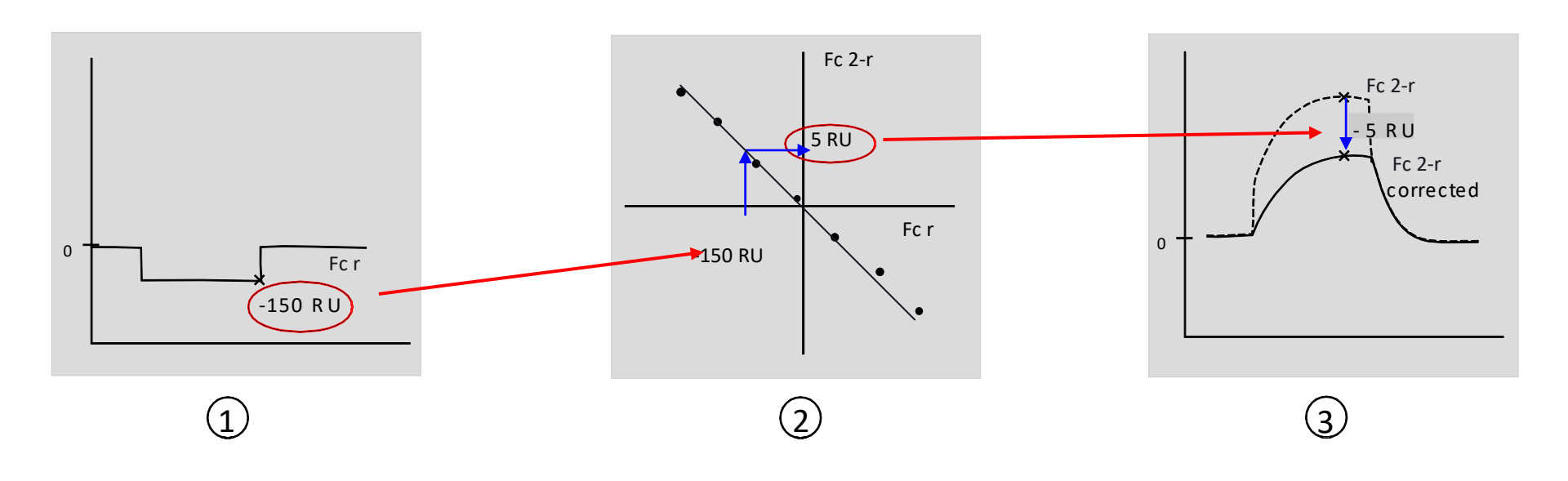
溶剂校正 - 为何要做?

参比通道与配体通道的响应值相差较大

- 参比表面比活化表面有更多空间容纳DMSO分子
- 0.1%的 DMSO 浓度差异都能产生 100 RU 的响应值
- 不同样品中的 DMSO 浓度会略有不同,需要进行不同的参比扣减



溶剂校正步骤

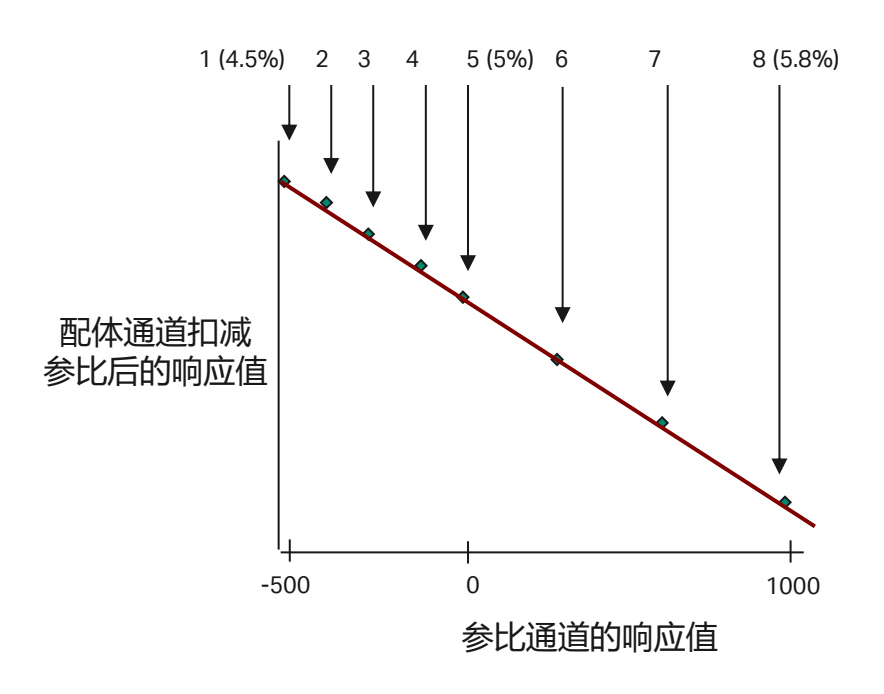


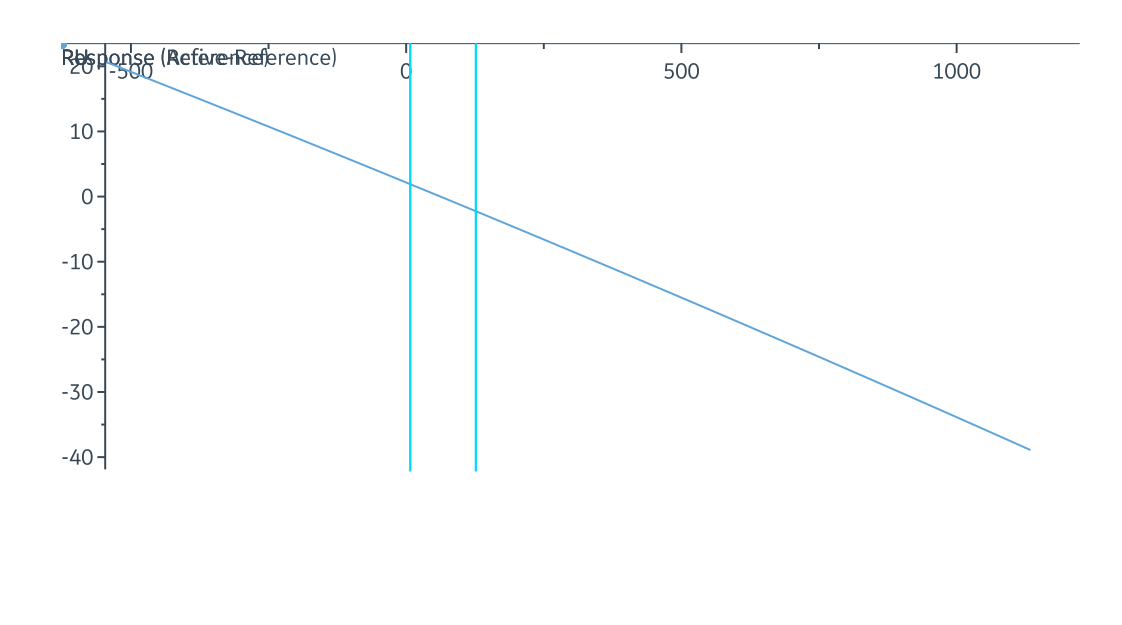
样品和缓冲液中DMSO浓度不一致,导致参比通道中出现150RU的移位

通过溶剂校正曲线,对应 到参比扣减传感图中的 5RU的溶剂偏差 扣减溶剂偏差校正传 感图

溶剂校正曲线

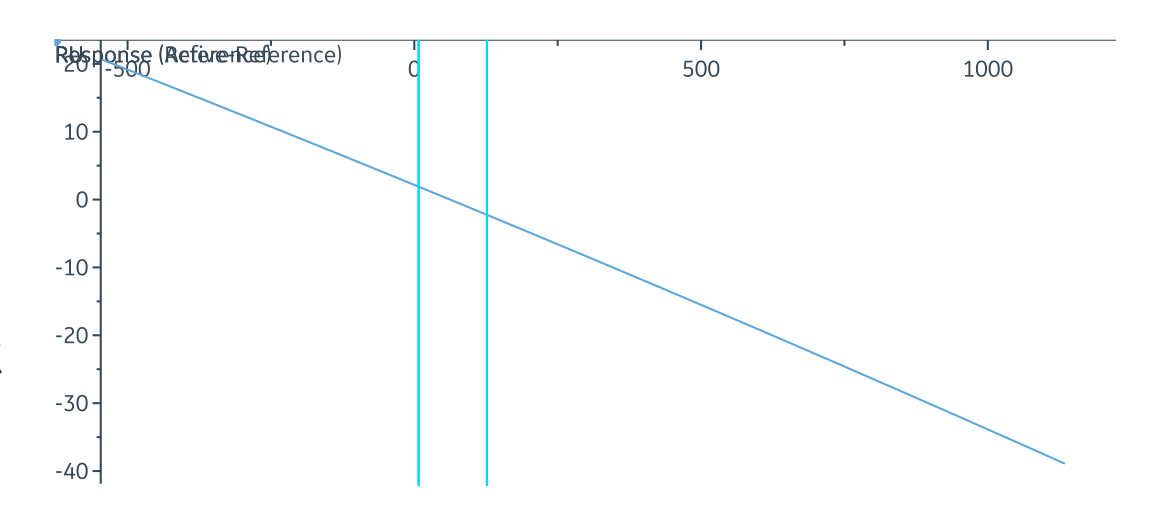
- 溶剂校正溶液:不同浓度的DMSO溶液
- 在参比表面和配体表面进样该校正溶液
- 配体通道扣减参比后的响应值 vs 参比通道的响应值作出溶剂校正曲线





溶剂校正的设置要求

- 溶剂校正点的数量
 - 推荐设置8个,不少于4个
- 溶剂校正的次数
 - 每20~30个样品运行一次校正循环
 - 实验首尾各运行一次校正循环
- 参比通道响应值在校正区间内
 - 如4.5~5.8% DMSO,校正区间为-500至1000 RU
- 相同方法制备样品和溶剂校正溶液
 - 用同一储液制备缓冲液、样品和溶剂校正溶液





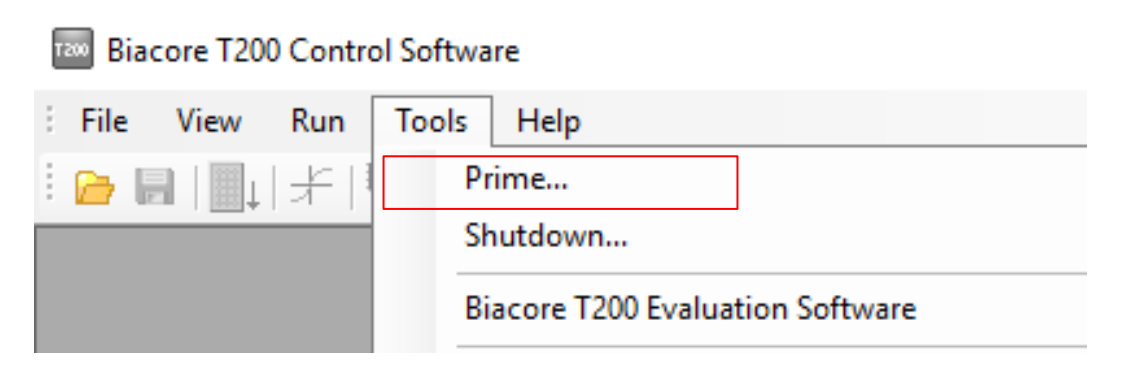
Biacore 设备维护

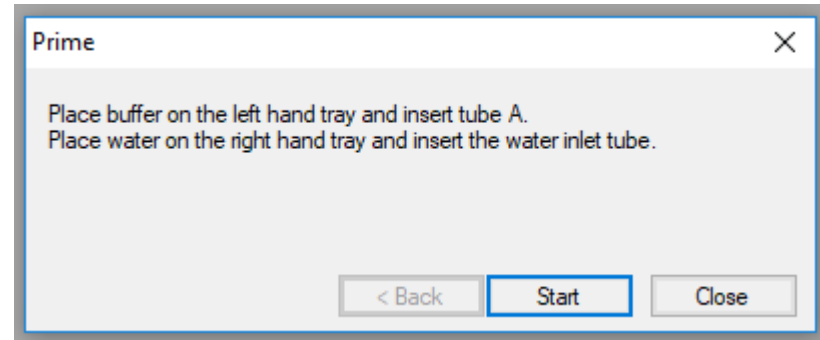
课程目标

- 了解Biacore维护的重要性
- •日常使用
- •每周维护
- •每月维护
- Standby和关机

日常使用

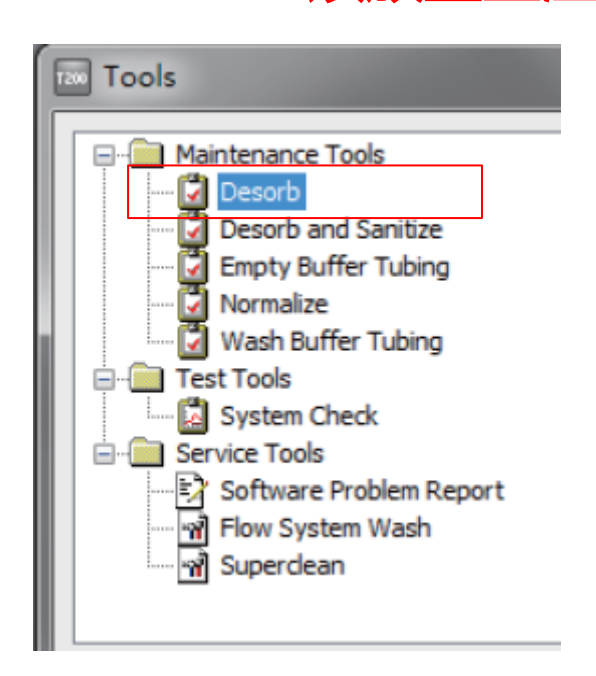
- 对缓冲液进行过滤 (filter) 和脱气 (degas) (T200具有在线脱气功能)
 - 即使是前一天使用的缓冲液也要进行重新过滤和脱气
 - 尽量使用新鲜的缓冲液
- 使用Prime对系统进行冲洗
 - 换芯片后要用原有的buffer或水prime冲洗系统,7分钟





每周维护

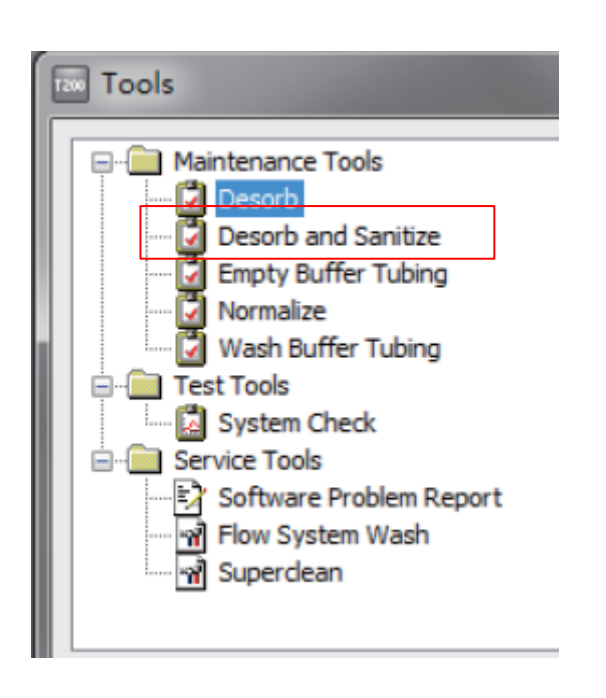
- 除盐
 - 主菜单运行Desorb程序 (SDS/甘氨酸)
 - SDS必须放置室温下



- 1) 将维护芯片放入系统!
- 2) 准备500ml去离子水,放置在左侧托架上。将缓冲液A管放入瓶中。
- 3) 选择工具栏中Tools->More tools。
- 4) 点击Maintenance目录下的Desorb,点击Start。

每月维护

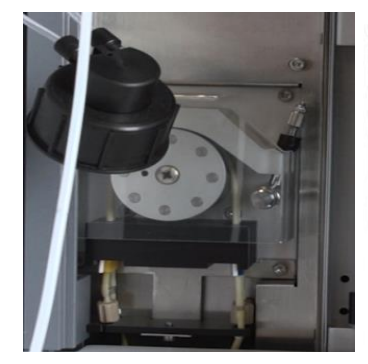
- 除盐和除菌
 - 主菜单Desorb & Sanitize程序 (SDS/甘氨酸,以及稀释的次氯酸钠: 0.6%~1%次氯酸钠)

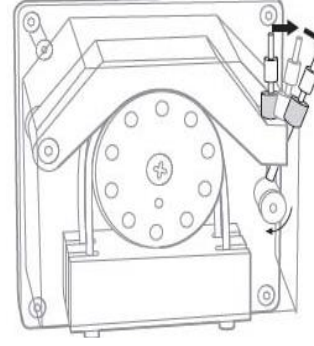


- 1) 将维护芯片放入系统!
- 2) 准备500ml去离子水,放置在左侧托架上。将缓冲液A管放入瓶中。
- 3) 选择工具栏中Tools->More tools。
- 4) 点击Maintenance目录下的Desorb and Santiza, 点击Start。

每次实验结束后,如何设置Biacore?

- 系统闲置如果小于7 天
- 自动Standby模式,使系统内存在稳定的缓冲液流
- 经常更换新鲜的去离子水
- 系统闲置如果超过7 天
- 执行关机程序(Shutdown),按照指令分步使用70%乙醇和水,将4根进样管拔出悬空,排空系统内的残余液体
- 需在关机后将蠕动泵压盖拧松(下次使用前务必复位)
- -关闭系统电源,关闭Biacore 控制软件。
- -打开样品舱盖,擦洗进样针。倒掉废液瓶中的废液。





Biacore 学习资源

Biacore 微站





应用程序指南

easy biacore 操作视频

纸质档SOP

https://learning.cytivalifesciences.com.cn/biacore/

Biacore视频

Cytiva 161

实验方法下载



Biacore, For a better life

